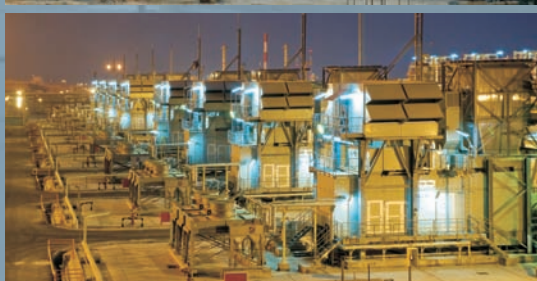


نشریه فنی تخصصی قدس نیرو  
شماره ۳۱ - پاییز ۱۳۸۸



# واحد مدیریت صنایع نفت و گاز



صنعت نفت و گاز در کشور ما نقش بسیار پر اهمیتی را در تأمین و توزیع انرژی ایفا می کند و به همین سبب تأثیر غیرقابل انکار محدوده این صنعت بر کل ساختار صنعتی و اقتصادی کشور بسیار قابل لمس است. شرکت مهندسی قدس نیرو که پیش رو و صاحب تجربه در زمینه نیرو و انرژی است، تصمیم گرفت که با تکیه بر تجارب مهندسی و مدیریتی خود، سهمی در ارتقاء نظام صنعتی و اقتصادی کشور از طریق فعالیت در زمینه نفت و گاز داشته باشد. لذا از سال ۱۳۸۲ فعالیت های خود را در این زمینه آغاز نمود و در حال حاضر و تنها پس از گذشت کمتر از یک دهه این واحد موفق شده است برخی از بزرگ ترین پروژه های نفت و گاز را به انجام رساند.

## شرح مختصری از پروژه ها:

در حال حاضر واحد صنایع نفت و گاز توانسته است با مدیریت طرح بزرگ خط لوله پنجم سراسری و ۵ ایستگاه تقویت فشار گاز، امکان انتقال گاز ترش استحصالی فازهای ۶، ۷ و ۸ پارس جنوبی را طی یک خط لوله ۵۶ اینچ گاز ترش به طول ۵۰۴ کیلومتر به منطقه نفتی آگاجاری فراهم سازد تا با تزریق گاز به چاه های نفتی این منطقه، بالا رفتن ظرفیت تولید نفتی این چاه ها را شاهد باشیم.

با عنایت به اهداف استراتژیک سند چشم انداز بیست ساله کشور و جهت توسعه سهم ایران در بازارهای گاز منطقه و جهان (کشورهای همسایه و اروپائی)، خط لوله نهم سراسری گاز ایران به عنوان یک طرح مهم و استراتژیک با قطر ۵۶ اینچ و حدود ۱۹۰ کیلومتر از منطقه پارس جنوبی در استان بوشهر تا مرز بازركان در استان آذربایجان غربی واقع در مرز کشور ترکیه، در نظر گرفته شده است.

از سوی دیگر فاز دوم طرح توسعه خط لوله ششم سراسری گاز نیز از اهواز تا دهگلان با قطر ۵۶ اینچ و به طول تقریبی ۶۰۰ کیلومتر بعنوان اول اجرایی طرح های شرکت ملی گاز ایران در سال ۸۹ تعریف و انتخاب شده است.

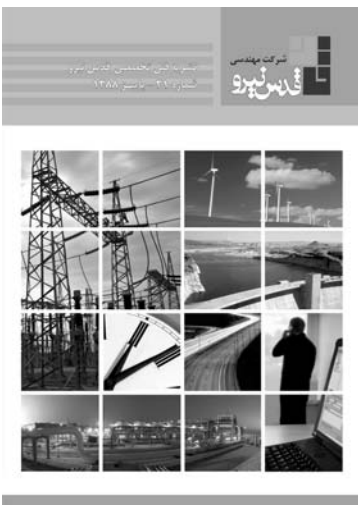
در حال حاضر واحد صنایع نفت و گاز شرکت مهندسی قدس نیرو مفتخر است که بعنوان مدیر طرح در این دو طرح مهم و استراتژیک حضور دارد. از دیگر پروژه های در دست اقدام، پروژه طراحی و نظارت بر احداث مخازن ذخیره نفت وارداتی از روسیه رامی توان نام برد.

با توجه به استانداردهای نهادینه شده و حضور بیش از ۱۲۰ کارشناس متخصص، امکان ارائه خدمات مدیریتی و مهندسی در کلیه زمینه های صنایع نفت، گاز و پتروشیمی در بخش های مهندسی و طراحی (E)، تدارکات کالا (P)، ساخت و نصب و راه اندازی (C) به شکل های مختلف همکاری اعم از MC، EPC، PC، EP و غیره طبق با نظام فنی و اجرائی کشور و وزارت نفت، در این واحد فراهم شده است.

## این واحد دارای گواهینامه و استانداردهای ذیل است:

- دارای گواهینامه رتبه پایه یک خطوط انتقال نفت و گاز از معاونت برنامه ریزی و نظارت راهبردی ریاست جمهوری
- دارای گواهینامه صلاحیت ارائه خدمات مدیریت طرح (MC) از معاونت برنامه ریزی و نظارت راهبردی ریاست جمهوری
- بکارگیری استانداردهای مدیریت پروژه ANSI-PMI

## بسمه تعالی



### فهرست مطالب

- |   |   |
|---|---|
| ۱   | معرفی                                     |
| • نقش راهبردی شبکه‌های برق در اجرای سیاست اروپایی       |   |
| ۲   | انرژی- مهندس ایرج کاوه                    |
| • تأثیر مدار مغناطیسی بر کارکرد ترانسفورمر- دکتر کاوس   |   |
| ۵   | قصبه                                      |
| • تخلیه الکتریکی جزئی بر روی شینه‌های ژنراتور-          |   |
| ۹   | مهندس محمدرضا صادقی                       |
| • بررسی پارامترهای مؤثر بر کیفیت نهایی جوش در روش       |   |
| ۲۰  | ۲۰- مهندس جعفر رضازاده Flash Butt Welding |
| • رفتار سازه‌ای قاب‌های مهاربندی شده کمانش محدود-       |   |
| ۲۵  | دکتر جعفر عسگری مارنانی                   |
| • ارائه الگوریتم برنامه‌ریزی استراتژیک با رویکرد مهندسی |   |
| ۳۰  | مجدد فرایندها- مهندس راحله نعمتی          |
| • جلوگیری از فروپاشی مخازن ذخیره اتمسفری آب دمین-       |   |
| ۳۹  | مهندس حسین حق پرست                        |

نشریه فنی تخصصی قدس نیرو  
شماره ۱۴۰ - پاییز ۱۴۰۰



نشریه فنی تخصصی قدس نیرو  
شماره ۳۱- پاییز ۱۴۰۰

مدیر مسئول: مهندس احمد شکوری‌راد  
سر دبیر: مهندس فتانه دوستدار

با تشکر از همکاری آقایان:

- مهندس احمد اهرابی
- مهندس حسین بختیاری‌زاده
- مهندس احمد فریدون درافشان
- مهندس میر داود حسینی میلانی
- دکتر همایون صحیحی
- مهندس منصور قزوینی
- مسعود نجمی

از مدیر و همکاران محترم امور پشتیبانی سپاسگزاریم.

هیأت داوران:

مهندس پورنگ پاینده، مهندس مسعود حبیب‌زاده،  
مهندس فتانه دوستدار، مهندس رضا رضوی،  
مهندس محمدحسن زرگرشوشتی، مهندس فرهاد  
شاهمنصوريان، مهرداد صارمی، دکتر همایون صحیحی،  
مهندس غلامرضا صفarpور، دکتر جعفر عسگری،  
مهندس امیرهمایون فتحی، مهندس بهرام کرمانی،  
مهندس علی‌اصغر کسائیان، مهندس محسن کمالی‌زاده،  
مهندیس وحید مرتضوی، مهندس الهام ملکی،  
مهندیس رضا میرمحمدی، مهندس محمدرضا نصراللهی،  
مهندیس بهروز هنری.

این نشریه از طریق اینترنت قدس نیرو در دسترس همکاران می‌باشد. ارتباط مستقیم با مقاله‌دهندگان از طریق Email یا فاکس آنان در انتهای هر مقاله و همچنین ارائه نظرات، پیشنهادات و سوالات احتمالی خوانندگان گرامی از طریق اینترنت قدس نیرو و با شماره تلفن نشریه ۸۸۴۴۲۴۸۲ امکان‌بذیر می‌باشد.

# نقش راهبردی شبکه‌های برق در اجرای سیاست اروپایی انرژی

نوشته: آندره مولن، رئیس سیگره، مجله الکترا، اکتبر ۲۰۰۹

## ترجمه: ایرج کاوه، مدیر عامل اسبق قدس نیرو

در مجموع، وقتی پیش‌بینی‌های تقاضای انرژی برای سال ۲۰۲۰ در ۲۷ کشور اروپا نشان‌دهنده افت قابل توجه تقاضا در مقابله با ارقام امروز است، مصرف برق بایستی افزایش یابد، البته با گام‌هایی آهسته‌تر از گذشته، اما بدون شک با رشدی بیشتر از یک درصد در سال. در نتیجه سهم برق در ترکیب انرژی اروپا حتی بزرگ‌تر خواهد شد.

در طرف تولید نیز مزیت‌هایی به چشم می‌خورد. تولید برق بهره‌گیری از همه انواع انرژی‌های نشرکننده کم کردن را اعم از انواع تجدیدپذیر (آبی، بادی، زمین‌گرمائی، خورشیدی و ...) یا انرژی هسته‌ای، میسر می‌سازد. در آینده، یعنی احتمالاً پس از سال ۲۰۲۰، وقتی روش‌های دریافت و ذخیره‌سازی CO<sub>2</sub> در سطح صنعتی اجرای شود، می‌توان بصورت منطقی سیستم برق اروپایی را سیستمی فاقد نشر اکسیدکردن تصویر کرد. در واقع این موضوع چشم‌اندازی است که سازمان برق اروپا (یورو الکتریک) پیشنهاد کرده است. در سال ۲۰۰۵ ۵۴/۶٪ از کل برق تولید شده توسط ۲۷ کشور عضو در اروپا، از سوخت‌های فسیلی بوده است (عمدتاً ذغال‌سنگ معادل ۲۸٪ و گاز ۲۱٪)، فقط ۴۵/۴٪ حاصل از انرژی‌های با انتشار کم کردن بوده (انرژی هسته‌ای ۳۰٪ و برق آبی ۱۰٪). انرژی‌های تجدیدپذیر (بدون انرژی آبی) کلاً فقط ۴/۸٪ از ترکیب برق بوده است.

با نگاه به سال ۲۰۲۰ و با توجه به جد و جهد عظیمی که در جهت انرژی‌های تجدیدپذیر بکار رفته (۲۰٪ از ترکیب انرژی تا آن تاریخ) احتمال می‌رود که دو سوم برق تولیدی در اروپا از منابع تولید برق با انتشار کم کردن باشد، یعنی یک سوم از منابع انرژی‌های تجدیدپذیر (با برق آبی) و یک سوم دیگر از انرژی هسته‌ای.

در بخش انرژی‌های تجدیدپذیر در حدود ۱۳٪ از ترکیب برق اروپا از انرژی بادی خواهد بود، در حالی که این منبع انرژی در سال ۲۰۰۵ حدود ۱/۹٪ محسوب شده. این ۱۳٪ معادل ۵۰۰ تراوات ساعت (TWH) از کل تولید سالیانه حدود ۴۰۰۰ تراوات ساعت انرژی برق در سال ۲۰۲۰ است (۳۳۰۰ در سال ۲۰۰۵)، با توجه به مشخصه منقطع بودن این نوع انرژی و دوره بهره‌برداری از تولید این نوع انرژی که ۲۰۰۰ تا ۲۵۰۰ ساعت در سال است، برای تولید این مقدار انرژی برق ظرفیتی معادل ۲۵۰-۲۰۰ گیگاوات قدرت نصب شده بادی لازم است که به سیستم برق اروپا وصل شود و جمعاً ظرفیت نصب شده‌ای حدود ۱۰۰۰ گیگاوات را تشکیل دهند.

### ۱- مقدمه

جهان اکنون بسوی سومین انقلاب انرژی می‌رود. انقلاب اول استفاده وسیع از ذغال‌سنگ و کاربرد ماشین‌های بخار در قرن نوزدهم بود و انقلاب دوم کاربرد وسیع برق و مصرف نفت در قرن بیستم. اکنون در آغاز قرن بیست و یکم به مرحله مصرف انرژی کم کردن و توسعه پایدار وارد می‌شویم.

اتحادیه اروپا یک سیاست بلند پروازانه انرژی را با سه هدف در این زمینه جدید اختیار کرده است:

- کاهش انتشار دی‌اکسیدکربن در جو زمین برای مقابله با خطر تغییرات آب و هوایی جهان.
- ایمن‌سازی منابع انرژی از طریق محدود کردن وابستگی به سوخت‌های فسیلی (نفت، گاز...) و تحکیم اتحاد بین کشورهای عضو در یک وضعیت بحرانی.
- تکمیل ساختار بازارهای داخلی برق و گاز و توسعه بیشتر یک پارچه‌سازی این ساختار در مقیاس اروپایی و با مناطق همسایه (کشورهای اطراف مدیترانه و روسیه)

برای اجرای مؤثر چنین سیاستی، برق نقش عمده‌ای در ترکیب انرژی اروپا خواهد داشت و شبکه‌های انتقال که استخوان‌بندي سیستم‌های برق را تشکیل می‌دهند، نقشی راهبردی را بازی خواهند کرد. منظور از مقاله حاضر دقیقاً تبیین چنین امری است.

### ۲- نقش غالب برق در زمینه جدید انرژی

برای دستیابی به سه هدف اصلی سیاست انرژی اروپا، بطوریکه فوقاً بیان شد، برق بدون شک یکی از مؤلفه‌های منحصر بفرد است.

در صنعت، فرایندهای مبتنی بر استفاده از برق به طور معمول از نظر مصرف انرژی معتمد تر از فرایندهایی هستند که بر اساس استفاده مستقیم از حرارت (مثل تولید کاغذ) کار می‌کنند. در محدوده گرمایش و تهویه هوای ساختمان‌ها، استفاده از پمپ‌های حرارتی بر قی امکان صرفه‌جویی متنابه‌ی را در مقایسه با سیستم‌های متعارف گرمایشی فراهم می‌کند.

نهایتاً در محدوده حمل و نقل جاده‌ای، توسعه وسایل نقلیه هیبریدی یا خودروهای برقی کاهش مصرف نفت و رشد تقاضای برق را میسر می‌سازند.



منظر توسعه ترکیب تولید برق غیر متمرکز و منقطع، پیچیده‌تر می‌شوند، لازم است که بهره‌برداری شبکه برق اروپا به راندمان بالاتری دست یابد.

چه نوع توسعه تکنولوژی برای سیستم‌های برق لازم است تا بتواند با چالش‌های این زمینه مقابله نمایند؟

این توسعه‌ها خاص اروپا نیستند و احتمالاً می‌توانند به شکل‌های مختلفی، بسته به مناطق جهان و سیاست‌های اجرایی، به مورد اجرا گذاشته شوند.

با وجود این، دو جهت اصلی می‌تواند برجسته‌تر شود.

- توسعه و تقویت سیستم‌های اصلی بهم پیوسته در سطح قاره و احتمالاً مرحله آغازین شبکه بین قاره‌ای (اروپا - آسیا یا اروپا - آفریقا).

• توسعه شبکه‌های هوشمندتر (شبکه‌های قدرت باهوشمندی بیشتر). برای تقویت و توسعه شبکه‌های بهم پیوسته در سطح قاره‌ای، احتمالاً سیستم‌های انتقال نیروی دوگانه هرچه بیشتر توسعه خواهند یافت. این توسعه شامل خطوط انتقال نیروی جریان متناوب (AC) به عنوان استخوان‌بندي سیستم قدرت و خطوط ولتاژ بالای جریان مستقیم (DC) بصورت اتصالات نقطه به نقطه، در موقع خاص که عبور از موانع طبیعی زیرزمینی، زیردریایی یا کوهستانی لازم باشد، خواهد بود.

آیا ما همان جهتی را که چین یا هندوستان در توسعه سیستم فوق فشار قوی (بیشتر از یک میلیون ولت AC یا هشت‌صد هزار ولت DC) طی کرداند، خواهیم رفت؟ نیازها و فواصل در اروپا کمتر است و حساسیت نسبت به امور زیستمحیطی مربوط به سازه‌های هوایی اگر مانع تلقی نشود عامل بازدارنده‌ای برای چنین افزایش سطح ولتاژ خواهد بود. توسعه فن‌آوری خطوط انتقال با عایق گار، که انتقال نیروی برق فوق فشار قوی AC را در خطوط بلند انتقال نیرو (بیش از ۵۰ کیلومتر) ممکن می‌سازد، می‌تواند در دهه آینده برای مقابله با افزایش فشارهای زیستمحیطی، به سطح صنعتی گسترش یابد.

دومین جهت‌گیری اساسی از توسعه شبکه‌های هوشمندتر حاصل می‌شود. این امر از سهم فراینده انرژی‌های غیر متمرکز در ترکیب انرژی و رقابت مستمر برای بازدهی بهتر در مدیریت مصرف برق مشترک نهائی، ایجاد می‌شود.

این هوشمندی که پیاده‌سازی آن در شبکه از دهه ۱۹۶۰ آغاز شد، با سرعت بسیار زیاد پیشرفت فن‌آوری اطلاعات و ارتباطات، ابتدا با توسعه سیستم‌های کنترل و اتوماسیون و حفاظت که امروزه بیشتر و کاملاً دیجیتال شده‌اند روی بخش‌های اصلی شبکه‌ها تأثیر گذاشت.

توسعه گسترده تولید غیر متمرکز، در شبکه‌های توزیع، طبیعت و وظیفه این شبکه‌ها را تغییر خواهد داد. در حالی که تابحال نقش این شبکه‌ها بهطور ساده، ایجاد مسیر برق رسانی به مشترک نهائی بوده است، حالا باید به صورت فراینده فعلی شوند، یعنی در شرایط معینی از بار و

چنین تحول شدیدی در ترکیب تولید برق، سیستم برق اروپا را بسوی تغییر بسیار مهمی سوق می‌دهد، تغییری که باید پذیرفته شود اما در محافل سیاسی اروپایی متحد و کشورهای عضو تاکید کافی بر آن نشده است.

### ۳- نقش راهبردی شبکه‌های برق

چرا شبکه‌های برق در زمینه‌های جدید انرژی چنان تغییری را انجام می‌کنند؟ عمدتاً به سه دلیل که سیاست‌گذاری اروپایی انرژی را پوشش می‌دهد:

- توانایی یک پارچه‌سازی مقادیر زیادی از انرژی‌های تجدیدپذیر، با مشخصه منقطع بودن، برای ورود به سیستم بهم پیوسته برق اروپا.
- افزایش هم‌آهنگی [سیاست‌های] انرژی بین کشورهای اتحادیه اروپا از طریق خدمات پشتیبانی متقابل سیستم‌های برق بین کشورهای اروپایی عضو، و مناطق همسایه.
- تکمیل یکپارچگی بازار داخلی برق در سطح اروپا. بنابراین، بهره‌برداران سیستم‌های انتقال نیرو در اروپا با اولویت جلوتری مواجه هستند: که شبکه بهم پیوسته اروپایی را مقتدرانه گسترش دهند، نه تنها به این دلیل که کمیسیون اروپا مرتبأ برای ایجاد رقابت بیشتر بین بازیگران بازار بر آن تأکید می‌کند، بلکه همانگونه که تلاطم‌های وسیع تجربه شده سیستم‌های برق اروپا در سال ۲۰۰۶ نشان داد، برای کاهش خطر خاموشی‌های گستردۀ همانند آنچه که در ایتالیا و شمال شرق ایالات متحده و کانادا در سال ۲۰۰۳ اتفاق افتاد.

تقویت سیستم‌های بهم پیوسته نیز اساسی و اولویت‌دار است. این اولویت بمنظور متعادل کردن عرضه و تقاضا در وضعیتی که مستمرة تولیدات انرژی بادی به شبکه افزوده می‌شود و ضرورت پشتیبانی تمام مدت از آن به وسیله انواع تولیدات دیگر، به دلیل مشخصه منقطع انرژی بادی در حالت باد ضعیف یا باد خیلی تند، وجود دارد. برخلاف عقیده بعض‌اً متبادل که انرژی غیر متمرکز می‌تواند صرف‌جویی در توسعه سیستم انتقال نیرو داشته باشد، طبیعت متناوب انرژی بادی و عدم اتكای آن به ظرفیت ذخیره، ایجاب می‌نماید که یک توسعه قوی در سیستم بهم پیوسته، متناسب با مقادیر انرژی منقطعی که به شبکه برق اروپا تزریق می‌شود، داده شود.

این شبکه بهم پیوسته به ماورای مرزهای موجود سیستم برق اروپا توسعه داده خواهد شد. در مرحله اول در دو جهت، یکی در اطراف حوضه مدیترانه برای پشتیبانی بروزهای انرژی اتحادیه اروپا در مدیترانه و بعد از آن بطرف شرق برای وصل به شبکه برق روسیه، بطوریکه مبالغه انرژی بین کشورهای حوضه بالتیک و لهستان و همسایگان اسکاندیناوی آن امکان‌پذیر باشد.

درنهایت، برای اداره کردن سیستم‌های قدرتی که بهطور فرایندهای، هم از نظر گسترش تاسیسات موجود به ماورای حدود فعلی و هم از



۱۳۵۹ معاونت نوسازی توانیه، از ۱۳۵۹ تا ۱۳۶۱ مدیرعامل آب و برق خوزستان، از ۱۳۶۱ تا ۱۳۶۳ در حوزه ستادی وزارت نیرو بوده و از ۱۳۶۳ تا سال ۱۳۷۰ که به افتخار بازنشستگی نائل گردیدند مدیرعامل شرکت قدس نیرو بوده‌اند. پس از بازنشستگی از ۱۳۷۰ تا ۱۳۸۵ در شرکت منن به فعالیت پرداختند و از آن سال تاکنون نیز به فعالیت‌های علمی و مهندسی خویش همچنان ادامه می‌دهند.



قابلیت دسترسی، بخشی از قدرت تولید وصل شده به این شبکه‌ها باید به شبکه‌هایی با سطح ولتاژ بالاتر تزریق شود که اغلب به مرتبه بهتر از مصرف سوخت برای تأمین انرژی مصارف محلی است. چنین توسعه‌ای، نیاز به تجمعی اطلاعات بیشتری همانند آنچه در گذشته در سیستم‌های انتقال وجود داشته، در سیستم‌های توزیع نیرو دارد، تا این اطلاعات به اطلاعات موجود که در ولتاژ سطوح بالاتر پیاده‌شده اضافه شود. به علاوه، گشايش کامل بازار برق به روی همه مشترکین منجر به عمومیت یافتن دستگاه‌های اندازه‌گیری هوشمند مخصوصاً برای مشترکین محلی می‌شود و به این ترتیب، استفاده از این هوشمندی در راه کسب بازدهی بیشتر انرژی برای مشترک نهائی بکار می‌رود.

نهایتاً، افزایش مبادله انرژی برق در سطح اروپا که نتیجه دو عامل؛ یک پارچه شدن بازارها و توسعه گستردگی منابع انرژی‌های تجدیدپذیر و نیز جستجو برای اتحاد بیشتر بین کشورهای عضو بخصوص در موقعیت‌های بحرانی است، نیاز به تقویت هماهنگی در بهره‌برداری سیستم برق اروپایی دارد. ما معتقدیم که هماهنگی باید از طریق تجمعی بزرگتری از اطلاعات سیستم انتقال نیرو و حداقل در قاره اروپا با استقرار مرکز هماهنگی اروپائی برای انتقال برق جامه عمل پیوشد. این مرکز نباید به عنوان جانشین مراکز ملی کنترل کشورها تلقی شود، بلکه در عوض به آنها در اصلاح هماهنگی در مدیریت سیلان انرژی بین این سیستم‌ها، کمک می‌کند.

#### ۴- جمع‌بندی

سیاست بلندپروازانه انرژی اتحادیه اروپا معطوف به اطمینان بخشی در امنیت عرضه انرژی و مقابله با خطرات تغییرات آب و هوایی است. در این زمینه جدید، برق نقشی با اهمیت فزاینده در ترکیب انرژی اروپایی، با به کارگیری همه انرژی‌های کم‌کردن و تأمین بازدهی بیشتر انرژی برای مصرف‌کننده نهایی، ایفا خواهد کرد. چنین توسعه‌ای نیاز به یک تغییر اساسی در نقش شبکه‌های برق دارد، تغییری که باید از طریق پیاده‌سازی توامان؛ توسعه شبکه‌های بهم پیوسته بزرگ<sup>۱</sup> و سیستم‌های برق هوشمند<sup>۲</sup> بخصوص در ولتاژهای پائین‌تر (شبکه‌های توزیع) به انجام رسد. شورای جهانی شبکه‌های بزرگ برق (CIGRE) که من افتخار ریاست آنرا دارم، نقشی اساسی در اروپا و سایر نقاط جهان بر عهده دارد، این نقش برانگیختن نوآوری‌هایی است که اجازه چنین تغییراتی را می‌دهند.

1- Super Grids  
2- Smart Grids

آفای مهندس ایرج کاوه در سال ۱۳۳۱ با درجه فوق لیسانس مهندسی برق از دانشکده فنی دانشگاه تهران فارغ‌التحصیل گردیده‌اند و از سال ۱۳۵۳ تا ۱۳۵۶ در مشاغل گوناگون در سازمان آب و برق خوزستان به کار اشتغال داشته‌اند. مشاغل دیگر ایشان از سال ۱۳۵۳ تا ۱۳۵۸ مدیرعامل برق منطقه‌ای خراسان، از ۱۳۵۸ تا

# تأثیر مدار مغناطیسی بر کار کرد ترانسفورمر

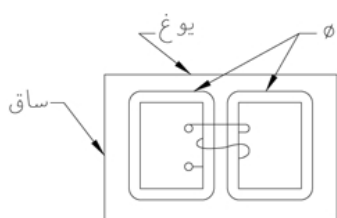
## کاؤس قصبه

سرپرست گروه تخصصی برق - SBU نیروگاه

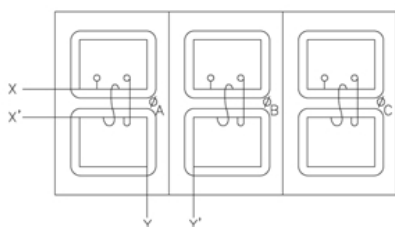
### چکیده

مدار مغناطیسی ترانسفورمر، مسیری با مقاومت مغناطیسی کم برای عبور شار مغناطیسی فراهم می‌سازد. با توجه به مسیر بسته شدن شار، این مدار می‌تواند به دو دسته مستقل و غیرمستقل تقسیم گردد که در این مقاله تأثیر آنها بر کار کرد ترانسفورمر سه فاز مورد بررسی قرار می‌گیرد.

می‌توان نشان داد که در شکل (۲-۱) شار عبوری از سطح  $YY'$  نصف شار عبوری از سطح  $XX'$  است ولذا می‌توان سطح  $YY'$  را نصف سطح  $XX'$  اختیار نمود. این نکته یکی از جنبه‌های اقتصادی ترانسفورمر سه فاز زرهی نسبت به سه ترانسفورمر تکفاز زرهی می‌باشد.



شکل (۱-۱) : ترانسفورمر تک فاز زرهی



شکل (۲-۱): ترانسفورمر سه فاز زرهی

شکل (۱): مدار مغناطیسی مستقل ترانسفورمر

### ۱- مقدمه

در ساختهای ترانسفورمر، مدار مغناطیسی و به عبارت دیگر هسته، بخش عمده‌ای را تشکیل می‌دهد که وظیفه آن ایجاد مسیری با مقاومت مغناطیسی کم جهت عبور شار  $\emptyset$  می‌باشد. برای ایجاد شار کافی توسط نیروی محرک مغناطیسی کم، لازم است مقاومت مغناطیسی مسیر شار کم باشد (قانون اهم مغناطیسی). برای این منظور از هسته آهنی استفاده می‌شود که جهت کاهش جریان‌های گردابی و نتیجتاً کاهش تلف فوکو، از کنار هم قرار دادن ورقه‌های آهنی نازک به ضخامت حدود  $0.2\text{ mm}$  الی  $0.3\text{ mm}$  که نسبت به یکدیگر ایزوله هستند ساخته می‌شود. هسته ترانسفورمر از دو بخش ساق<sup>۱</sup> و یوغ<sup>۲</sup> تشکیل می‌گردد (شکل ۱) و سیم‌پیچ‌های اولیه و ثانویه هر فاز روی یکی از ساق‌ها قرار می‌گیرند. از نظر مسیر عبور شار، هسته در دو نوع مستقل و غیرمستقل ساخته می‌شود. این تقسیم‌بندی برای ترانسفورمهای سه فاز صادق است و ترانسفورمهای تکنماز از نوع مستقل می‌باشند.

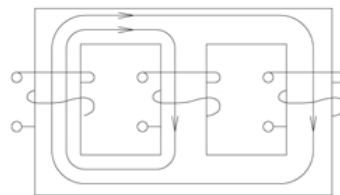
### ۱- هسته مستقل

در هسته مستقل، مسیر بسته شدن شار هر فاز مستقل بوده و تداخلی با مسیرهای دو فاز دیگر ندارد. در شکل (۱-۱) مدار مغناطیسی ترانسفورمر تکفاز و در شکل (۲-۱) ترانسفورمر سه فاز رسم شده است که در واقع از کنار هم قرار گرفتن سه ترانسفورمر تکفاز تشکیل شده است. ساختار شکل (۱) را هسته نوع زرهی<sup>۳</sup> می‌نامند و همانطور که از شکل (۲-۱) مشاهده می‌گردد شار هر فاز مسیر مستقل خود را دارد. از آجا که شار فازها نسبت به هم  $120^\circ$  درجه اختلاف فاز زمانی دارند، با جمع برداری دو شار  $\emptyset_A + \emptyset_B$

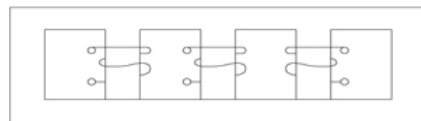
- 1- Leg
- 2- Yoke
- 3- Shell Type

## ۲-۱- هسته غیرمستقل

در هسته غیرمستقل، شار هر فاز از مسیر شار فازهای دیگر عبور می کند. در شکل (۱-۲)، مدار مغناطیسی ترانس سه فاز سه ساقه و در شکل (۲-۲) سه فاز پنج ساقه رسم شده است. دو ساق اضافی که بر روی آنها سیم پیچ قرار نمی گیرند باعث کاهش ارتفاع هسته و نتیجتاً سهولت حمل و نقل می شود.



شکل (۱-۲): مدار مغناطیسی سه ساقه



شکل (۲-۲): مدار مغناطیسی غیرمستقل ترانسفورمر

مدار مغناطیسی شکل (۲) را نوع هستهای<sup>۱</sup> می نامند. مسیر عبور شار فازها متغیری از زمان است و بعنوان نمونه، با توجه به اختلاف زمانی<sup>۰</sup> ۱۲۰° بین آنها، هنگامی که شار یک فاز ماکزیمم و مثبت است شار دو فاز دیگر برابر نصف ماکزیمم و منفی می باشند و لذا شار ماکزیمم از طرق دو ساق دیگر مسیر خود را می بندد (شکل (۱-۲)). یا در لحظه‌ای که شار یک فاز صفر است، شار فقط از دو ساق دیگر عبور می کند.

## ۲- تأثیر مدار مغناطیسی بر کارکرد ترانسفورمر

نوع مدار مغناطیسی (مستقل یا غیرمستقل) در نحوه عملکرد ترانسفورمر سه فاز مؤثر است. این تأثیرات، خصوصاً هنگام بارگیری تکفازه، پدیده‌های مختلفی نظیر اعوجاج ولتاژ، عدم تعادل ولتاژ و نوسان پتانسیل نقطه خنثی را ایجاد می نمایند که اثرات منفی بر کارکرد بار متصل به ترانسفورمر دارند. این پدیده‌ها در ذیل مورد بررسی قرار می گیرند.

## ۱-۲- بار تکفاز

اگر بارگیری از ثانویه بصورت تکفاز و بین فاز و نول باشد، عملکرد ترانسفورمر نوع مستقل متفاوت از نوع غیرمستقل خواهد بود، در حالی که اگر بار تکفاز بدو فاز ثانویه متصل گردد، اشکالاتی که در ذیل خواهد آمد ایجاد نمی شود.

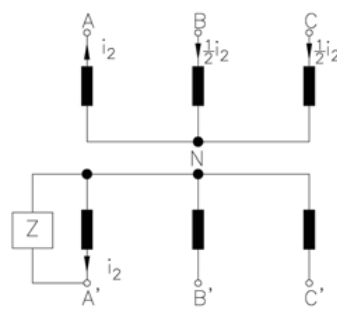
### ۱-۱- ترانسفورمر غیرمستقل

در شکل (۱-۳) یک ترانسفورمر سه فاز غیرمستقل (نوع هستهای) با اتصال  $Y_{yn}$  بار تکفاز  $z$  را با جریان  $I_2$  تعذیب می کند. می توان نشان داد که جریان فازهای اولیه نامتعادل است که در آن  $I'_2 = nI_2$  و  $n = w_2/w_1$  نسبت حلقه های سیم پیچ است. مشاهده می گردد که اصل تعادل آمپر دور بین سیم پیچ های اولیه و ثانویه واقع روی هر ساق برقرار نیست و هر یک از ساق ها دارای آمپر دوری برابر با  $w_1 I'_2 / 3$  می گردد که همفاز نیز می باشند. این آمپر دورها (نیروی محرک مغناطیسی) شارهای همفازی در ساق ها ایجاد می کند که مسیر گردش آن ها طبق شکل (۲-۳) خارج از هسته، یعنی عبور از مسیر روغن و جداره خارجی ترانسفورمر می باشد. این کار سبب ایجاد جریان فوکو در جداره و نتیجتاً تلف حرارتی می گردد که یکی از معایب این نوع بارگیری است.

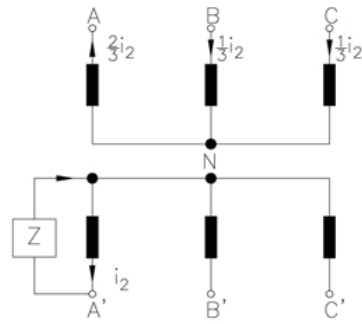
اشکال دومی که این شارهای همفاز ایجاد می کنند، عدم تعادل ولتاژ فازها می باشد زیرا شارهای همفاز سبب القاء ولتاژ های همفاز می شوند که با اضافه شدن به ولتاژ اصلی هر فاز، سبب تغییر مکان پتانسیل نقطه خنثی N و عدم تعادل ولتاژ فازها طبق شکل (۳-۳) می شوند. تفاوت بین مدار مغناطیسی مستقل و غیرمستقل در این نکته ظاهر می گردد که در غیرمستقل، دامنه شارهای همفاز به سبب عبور از مسیر خود را با مقاومت مغناطیسی زیاد، کمتر از نوع مستقل است و لذا عدم تعادل ولتاژ فازها کمتر است.

جهت رفع مشکلات ذکر شده لازمت است اتصال اولیه دارای نقطه خنثی باشد (اتصال  $YNyn$ ) که در این صورت در اولیه فقط از فاز A و سیم خنثی آن جریان  $I'_2$  عبور می کند و دو فاز دیگر اولیه بدون جریان خواهند بود و تعادل آمپر دور برقرار است.

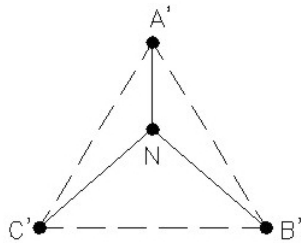
بطور کلی، با انتخاب اتصال مثلث یا زیگزاگ برای یکی از دو سیم پیچ اولیه و ثانویه، مشکلات ذکر شده رفع می شود.



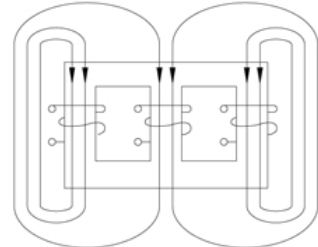
شکل (۱-۴): مدار شماتیک



شکل (۱-۳): مدار شماتیک



شکل (۲-۴): تغییر مکان نقطه خنثی

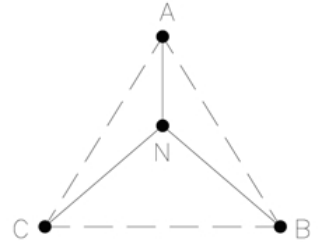


شکل (۲-۳): مسیر شارهای هم فاز

شکل (۴): بار تکفاز در ترانسفورمر نوع زرهی

#### ۱-۳-۱-۲- اتصال ستاره - مثلث (Dyn)

با عبور جریان  $i_2$  از یک فاز و نول ثانویه، جریان  $i'_2$  از سیم پیچ همنام اولیه عبور می‌کند و تعادل آمپر دور ساق مربوطه برقرار می‌گردد. از دو فاز دیگر اولیه جریانی عبور نمی‌کند و لذا مشکلات ذکر شده در این نوع اتصال برای ترانس‌های نوع مستقل یا غیرمستقل پدید نمی‌آید.



شکل (۳-۲): تغییر مکان نقطه خنثی

شکل (۳) بار تکفاز در ترانسفورم غیرمستقل

#### ۱-۲-۲- ترانسفورم مستقل

در شکل (۱-۴) یک ترانسفورم سه فاز نوع مستقل (زرهی) با اتصال  $Yyn$ ، بار تکفاز  $Z$  را با جریان  $i_2$  تغذیه می‌کند. می‌توان نشان داد که با عبور جریان  $i'_2 = ni_2$  از فاز ثانویه، از فاز همنام آن در اولیه جریان  $i'_2 = ni_2$  عبور می‌کند و تعادل آمپر دور برای این فاز برقرار می‌گردد. از دو فاز دیگر اولیه نصف جریان  $i'_2$  عبور می‌کند و بعلت عدم وجود جریان در فازهای مشابه ثانویه، تعادل آمپر دور برای ساقهای  $C$ ,  $B$ ,  $A$  برقرار نبوده و هسته ساقهای  $C$ ,  $B$  بشدت اشباع می‌شوند و ولتاژهای بزرگی در سیم پیچهای  $C$ ,  $B$ ,  $A$  القاء می‌گردد که نتیجه آن کاهش ولتاژ فاز باردار و افزایش ولتاژ دو فاز دیگر طبق شکل (۲-۴) می‌باشد. در اینجا، برخلاف شکل (۲-۳)، شار فازهای  $B$  و  $C$  از درون هسته عبور می‌کنند و مشکل تلف حرارتی در جداره خارجی را ایجاد نمی‌کنند.

#### ۲-۲- بار بین دو فاز

می‌توان نشان داد که در کلیه انواع اتصالات با قرار گرفتن بار بین دو فاز ثانویه، تعادل آمپر دور همواره برقرار است و مشکلات ذکر شده پدید نمی‌آید.

#### ۳-۲- تغییر فرم ولتاژ (اعوجاج)

می‌دانیم که فرم جریان مغناطیس‌کنندگی ترانسفورم به سبب غیرخطی بودن منحنی مغناطیسی هسته، غیرسینوسی بوده و عمدتاً دارای هارمونیک سوم (حدود ۰.۴۵٪) می‌باشد. امکان عبور هارمونیک سوم جریان بستگی به نوع اتصال سیم پیچ‌ها (ستاره - مثلث - زیگزاگ) داشته و اگر به سبب نوع اتصال نتواند در سیم پیچ اولیه جریان یابد (مثلاً اولیه با اتصال ستاره بدون سیم نول)، فرم شار غیرسینوسی شده و دارای هارمونیک سوم خواهد شد. شارهای هارمونیک سوم سبب القاء و ولتاژهای

استفاده از سه ترانسفورمر تکفار یا یک ترانسفورمر سه فاز مستقل توصیه می‌گردد. برای عناصر انتگرال گیر نظیر کنترلهای انرژی، همانطور که اشاره شد از ترانسفورمر سه فاز نوع غیر مستقل استفاده شود.

#### ۴- نتیجه‌گیری

- نوع مدار مغناطیسی ترانسفورمر سه فاز (مستقل یا غیرمستقل) بعملکرد ترانسفورمر مؤثر است و این تأثیر در بارگیری تکفار، اعوجاج ولتاژ، نامتعادل شدن ولتاژ فازها و نوسان پتانسیل نقطه خنثی ظاهر می‌گردد.
- نوع غیرمستقل اعوجاج ولتاژ کمتری پدید می‌آورد و برای تغذیه تجهیزاتی که به هارمونیک ولتاژ حساسند مناسب است.
- بارگیری تکفار (بین فاز و نول) در نوع مستقل نامتعادلی بیشتری در ولتاژها و جابجایی بیشتری در نقطه خنثی سیم‌پیچ ایجاد می‌کند.
- بارگیری تکفار (بین دو فاز) در هر دو نوع مدار مغناطیسی با مشکل خاصی روبرو نمی‌باشد.
- با انتخاب مناسب اتصال سیم‌پیچ‌ها، اشکالات بارگیری تکفار مرتفع می‌گردد.

#### مراجع

- ۱- نقش مدار مغناطیسی در ترانس‌های ولتاژ جداگانه، مهندس محمدرضا رضائی و همکاران، مجله صنعت برق، بهمن ۸۲
- ۲- ماشین‌های الکتریکی و کاربرد آنها، کاووس قصبه.
- ۳- J&P Transformer Book.

آقای کاووس قصبه دارای فوق لیسانس مهندسی برق از آلمان (سال ۱۳۴۵) و دکترای مهندسی برق از انگلستان (سال ۱۳۵۳) می‌باشد. ایشان تا سال ۱۳۶۲ به تدریس در دانشگاه صنعتی شریف پرداخته و ۲۹ سال در شرکت قدس نیرو سابقه کارشناسی و سرپرستی دارد. زمینه فعالیت آقای قصبه، بطور کلی سیستم‌ها و تجهیزات برق نیروگاه بوده و زمینه تخصصی و علاقمندی ایشان ماشین‌های الکتریکی و ترانسفورمرها می‌باشد.

هارمونیک سوم در فازها گردیده و اعوجاج ولتاژ را به همراه دارند که میزان آن به مستقل یا غیرمستقل بودن هسته بستگی دارد.

در ترانسفورمر نوع غیرمستقل شارهای هارمونیک سوم که همفازنده از هوا عبور می‌کند (شکل ۲-۳) و لذا مقدار آن ناچیز و عملًا اعوجاج ولتاژ پدید نمی‌آید.

در ترانسفورمر نوع مستقل، مسیر شارهای هارمونیک سوم از هسته است و لذا مقدار آن قابل توجه و اعوجاج ولتاژ پدید می‌آید. در انتخاب ترانسفورمر سه فاز برای عناصر انتگرال گیر نظیر کنترلهای انرژی که به هارمونیک ولتاژ حساس هستند بهتر است که از نوع هسته‌ای استفاده شود. برای مدارات حفاظتی توصیه می‌شود که از سه عدد ترانسفورمر تکفار یا هسته سه فاز مستقل استفاده گردد.

#### ۴-۲- نوسان پتانسیل نقطه خنثی

وجود هارمونیک سوم در ولتاژ فازها پدیدهای به نام نوسان نقطه خنثی<sup>۱</sup> ایجاد می‌کند. در صورتیکه فقط هارمونیک سوم منظور شود و با ولتاژ فازها جمع‌برداری گردد، مکان هندسی پتانسیل نقطه خنثی، دایره‌ای به مرکز N و شعاع E<sub>3</sub> (دامنه ولتاژ هارمونیک سوم) خواهدبود. این پدیده سبب افزایش ولتاژ فازها می‌گردد که میزان آن در نوع غیرمستقل حدود ۵٪ و در نوع مستقل تا ۵۰٪ می‌رسد.

بطور کلی جهت ایجاد مسیری برای عبور هارمونیک سوم جریان مغناطیسی کننده و نتیجتاً حذف هارمونیک‌های فرد ولتاژی، می‌توان یا یکی از دو سیم‌پیچ را با اتصال مثلث انتخاب نمود، یا اینکه سیم‌پیچ ثالثیه<sup>۲</sup> با اتصال مثلث اضافه نمود.

#### ۳- کاربرد در مدارات صنعتی

در مدارات صنعتی از ترانسفورمرهای سه فاز با توان کم جهت تغذیه رله‌های حفاظتی و تجهیزات اندازه‌گیری استفاده می‌شود. در صورت استفاده از ترانسفورمر غیرمستقل جهت تغذیه مثلاً رله حفاظتی ولتاژ کم (کد ۲۷) توجه گردد که قطع یک فاز در اولیه، مثلاً به سبب سوختن فیوز، تغییری در ولتاژهای سه فاز ثانویه ایجاد نکرده و نتیجتاً سبب تشخیص خط‌تا‌توسط رله حفاظتی نمی‌شود. علت اینست که جمع‌برداری شار دو فاز سالم از سیم‌پیچ ثانویه فاز قطع شده عبور نموده و سبب القاء ولتاژ در این فاز می‌گردد. در حالیکه اگر ترانسفورمر از نوع مستقل باشد، در ثانویه فاز قطع شده ولتاژ القاء نمی‌گردد و رله حفاظتی عمل خواهدکرد. در این مورد

# تخليه الکتریکی جزیی بر روی شینه‌های ژنراتور

محمد رضا صادقی

سرپرست کارگاه نیروگاه گازی کرمانشاه - SBU نیروگاه

آشکار سازی تخليه الکتریکی جزیی بطور On-line از حدود ۴۰ سال قبل اهمیت یافته است. منتها در سال‌های اخیر گردآوری و پردازش نویزهای فرکانس بالا به شکل عملی و فراگیر درآمده است.

## ۲- تعریف تخليه الکتریکی جزیی

تخليه جزیی به تخليه‌هایی که به صورت موضعی در عایق ایجاد شده و فقط محدود به یک قسمت از ماده دی الکتریک بوده و در نتیجه به طور کامل میان الکتروودها پل ایجاد نمی‌کند، اطلاق می‌گردد. تخليه جزیی در انواع عایق‌های جامد، مایع و گاز اتفاق می‌افتد که معمولاً به تخليه جزیی که در گاز بخصوص در هوا اتفاق می‌افتد (کرونا) گفته می‌شود. اصطلاح تخليه جزیی گروه وسیعی از انواع تخليه الکتریکی را شامل می‌شود که تخليه در خلل و فرج سطح و يا داخل حباب‌های موجود در عایق مایع و نیز تخليه‌های کرونا که بر اثر وجود میدان‌های قوی الکتریکی ناهمنگ در عایق‌های گازی به وجود می‌آید از این قبیل است.

## ۳- روش‌های آشکار سازی تخليه الکتریکی جزیی

### ۳-۱- روش Tip-Up

تست Tip-Up براساس اندازه‌گیری ضربت تلفات در دو سطح ولتاژ جداگانه (معمولًا ۵۰٪ و ۱۰۰٪ ولتاژ نامی) و مقایسه بین آنها انجام می‌شود. از معايیب عمده اين روش: دقت پایین، عدم شناسایی محل و منبع تخليه جزیی و لزوم وجود منبع خارجی جهت اعمال ولتاژ می‌باشد.

### ۳-۲- روش تحلیل تلفات دی الکتریک

در این روش اتفاف توان در یک سیستم عایقی به عنوان تابعی از ولتاژ در یک سیکل برسی می‌گردد. این روش با وجود دقت بیشتر نسبت به روش قبل دقت قابل قبولی نیست و نیاز به منبع خارجی در این حالت نیز وجود دارد.

## ۱- مقدمه

بطور معمول تجهیزات الکتریکی برای عمری حدود ۳۰ تا ۴۰ سال بدون تعمیر سیستم عایقی طراحی می‌گردد: این موضوع برای تجهیزات ایستا مانند ترانسفورماتورهای قدرت و اندازه‌گیری کابل‌های قدرت و همچنین تجهیزات دینامیکی مانند کلیدها نیز صادق می‌باشد.

بسیاری از تجهیزات دینامیکی احتیاج به تعمیرات سیستم‌های محرك خود دارند اما بندرت سیستم دی الکتریک آنها احتیاج به تعمیر پیدا می‌کند، بنابراین اندازه‌گیری و آشکار سازی تخليه الکتریکی جزیی در این تجهیزات چندان مورد توجه نیست و اصولاً طراحی‌ها طوری انجام می‌گیرد که تخليه الکتریکی جزیی در آنها رخ نمی‌دهد یا بسیار پایین است، در برخی از تجهیزات (مانند GIS<sup>۱</sup>) جهت آشکار سازی تخليه الکتریکی جزیی<sup>۲</sup> به سنسورهای مخصوص و به تعداد زیاد نیاز خواهیم داشت که این اصلی‌ترین نکته منفی در آشکار سازی این پدیده است.

در این میان ماشین‌های گردان یک استثنای هستند زیرا در این تجهیزات طراحی به شکلی است که سطح مناسبی از تخليه الکتریکی جزیی همواره وجود دارد و می‌بایستی اندازه‌گیری‌های لازم و پیشگیرهای مربوطه جهت جلوگیری از تجاوز از حد خاص مورد نظر به عمل آید. از آنجا که به علت مسئله بازده ماشین‌های الکتریکی سعی می‌گردد که ضخامت عایقی در سیم پیچ‌ها تا حد امکان نازک‌تر گردد و از طرف دیگر نازکی بیش از حد عایق موجب بروز پدیده تخليه الکتریکی جزیی و بالا رفتن میزان آن می‌گردد و در نهایت برای ماشین الکتریکی که جهت عملکرد ۳۰ تا ۴۰ ساله طراحی می‌گردد تخليه‌های الکتریکی جزیی نا مطلوب اثرات مخربی خواهد داشت، بنابراین سعی می‌شود که تخليه‌ها در مراحل ابتدائی تشخیص داده شده و برطرف گرددند.

معمولًا استرس‌های شدید ناشی از اتصال کوتاه‌ها، عملکرد تحت شرایط اضافه بار و ... موجب زوال تدریجی عایق گردیده و در نتیجه باعث خروج از مدار ژنراتورها می‌گردد: در مراحل اولیه، افزایش تخليه الکتریکی جزیی مشاهده می‌گردد بنابراین با توجه به هزینه‌های سنگین اختلالات، خروج از مدار ژنراتورها، تحمل هزینه‌های پیشگیرانه حتی اگر بالا نیز باشد قابل تأمل و توجیه است: مسئله



سال‌ها آموزش و سرمایه‌گذاری و در نهایت نتایج غیردقیق موجب شده است که این روش در حال حاضر کاربرد چندانی نداشته باشد. روش مناسب‌تر و مدرن‌تر ارسال سیگنال‌های دریافتی از خازن به یک دستگاه پردازشگر سیگنال است که با توجه به نتایج قبلی و داده‌های پیشین که در حافظه دستگاه جاسازی شده است امکان ارزیابی دقیق و با سرعت کافی را دارد، ارزیابی دقیق تخلیه الکتریکی جزیی با توجه به مشخصه‌های قید شده در 270 IEC که عبارت‌داز: ماکریم بار، جریان تخلیه متوسط، چگالی بار و فرکانس تخلیه امکان‌پذیر است این مشخصه‌ها به صورت تابعی از دامنه و فاز ولتاژ اندازه‌گیری می‌شوند و با مقایسه این داده‌ها با مقادیر مربوط به یک ماشین سالم و یا معیوب امکان تشخیص ایراد و میزان آن وجود خواهد داشت.

#### On-Line ۷-۳ روش

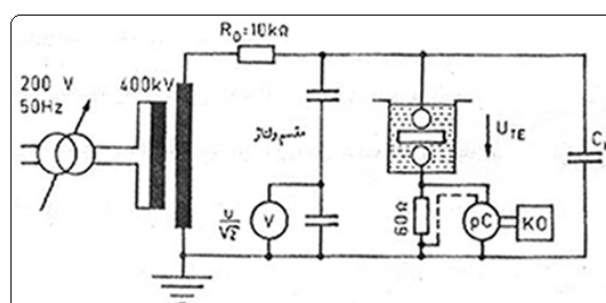
با توجه به مشکلاتی که برای روش Off-Line عنوان شد این روش بیشتر مورد توجه است در این روش سیگنال‌های تخلیه جزیی در نقطه ستاره و یا فشار قوی اندازه‌گیری می‌شوند و باز نتایج به یک واحد پردازش سیگنال همانند مورد ذکر شده در روش قبل منتقل می‌گردد. مشکل اساسی در این روش وجود نویزهای حاصل از سیستم تحریک و اغتشاشات سیستم قدرت می‌باشد که با طراحی فیلترهایی نسبت به حذف آنها اقدام می‌شود.

#### ۴- تخلیه الکتریکی جزیی در ترکیب عایق‌های مایع و جامد

از آنجا که تخلیه جزیی در مجاورت مواد عایق آلی باعث تخریب عایق و دیر یا زود منجر به شکست می‌گردد، طراحی عایق‌بندی تجهیزات فشار قوی با توجه به این نکته انجام می‌گیرد. یعنی در کار عادی و در ولتاژ نامی یا بهتر بگوئیم در ولتاژ کار، نباید هیچ‌گونه تخلیه جزیی در عایق انجام گیرد.

تخلیه جزیی دارای حالت هیسترزیس است یعنی در ولتاژ بالاتری شروع و در ولتاژ پایین‌تری خاموش می‌گردد. لذا این خطر وجود دارد که بر اثر اضافه ولتاژهای گذرا تخلیه جزیی شروع شود و در ولتاژ نامی خاموش نگردد.

شکل (۱) مدار اندازه‌گیری ولتاژ شروع تخلیه جزیی را نشان می‌دهد. میزان تخلیه جزیی نیز با کمک این مدار اندازه‌گیری می‌شود.



شکل (۱) : مدار اندازه‌گیری ولتاژ شروع تخلیه جزیی

#### ۳-۳- روش پرورهای القایی

در این روش از پرورهای سنسورهای مخصوص القایی جهت تشخیص محل و منبع تخلیه الکتریکی جزیی استفاده می‌شود. در این روش با وجود دقت خوب و امکان تشخیص مکان تخلیه، دو مشکل اساسی زمان خروج از مدار طولانی و نیاز به منع مولد انرژی با قدرت بالا دارد.

#### ۴-۳- روش تشخیص سیگنال‌های صوتی

در این روش با یک سنسور صوتی که اصوات را به یک مدار اندازه‌گیری مناسب منتقل می‌کند و یا بدون مدار اندازه‌گیری خاص، فقط با روش شنیداری توسط سنسور به محل تخلیه الکتریکی جزیی پی برده می‌شود. این روش حساسیت کم و دقت پایینی دارد، منتهی به علت هزینه کم و سادگی بعضًا مورد توجه می‌باشد. آزمایش هیسینگ از جمله این روش‌ها می‌باشد.

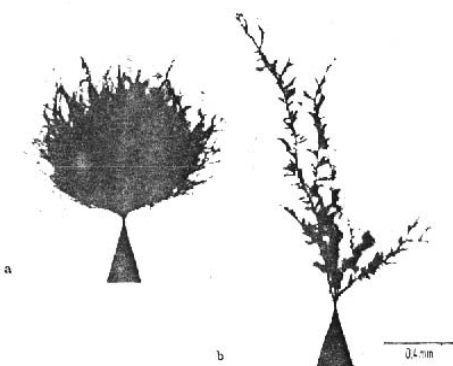
#### ۵- روش آشکار سازی و تحلیل پالس

در این روش از آشکار سازی پالس‌های تخلیه الکتریکی جزیی توسط خازن‌ها یا سلف‌های کوپلینگ که مستقیماً به سیم پیچ‌های ماشین کوپل شده‌اند استفاده می‌گردد. این پالس‌ها در یک اسیلوگراف خاصی یا تحلیلگر پالس مورد بررسی واقع می‌شوند این روش دقیق‌ترین و کارترین روش جهت مشاهده پدیده تخلیه الکتریکی جزیی می‌باشد.

#### ۶-۳- روش Off-Line

اندازه‌گیری‌های Off-Line در طی یک وقفه کاری، این مزیت که تحت شرایط مشخصی از لحاظ سرعت، قطع تحریک، نبود اغتشاشات الکتریکی حاصل از ماشین را دارد، صورت می‌پذیرد. معایب این روش، لزوم خروج زناتور و عدم تطبیق استرس‌های ولتاژ و استرس‌های مکانیکی مدل سازی شده با واقعیت موجود می‌باشد. در عمل ماشین از سیستم قدرت جدا شده و یک ولتاژ خارجی به یک فاز آن اعمال می‌گردد، ولتاژ از صفر تا یک پریو نیت و در هر مرحله به اندازه یک دهم پریو نیت افزایش داده می‌شود و سپس تا ولتاژ صفر پائین آورده می‌شود.

سیگنال‌های تخلیه الکتریکی جزیی با استفاده از یک خازن کوپلینگ فشار قوی به دستگاه مشاهده‌گر اعمال می‌شود. در ساده‌ترین حالت این دستگاه می‌تواند یک اسیلوگراف باشد.



شکل (۲) : نقش‌های ناشی از تخلیه جزیی در عایق پلی‌اتیلن یا تریینگ به صور بوته‌ای و درخت

شکست الکتریکی در عایق‌های جامد اغلب به دلیل تخریب رخ می‌دهد و تخلیه جزیی دلیل این تخریب می‌باشد. بدیهی است عوامل دیگر مانند درجه حرارت و تنش‌های مکانیکی نیز در این تخریب نقش دارد. در تخریب عایق ولتاژ متناوب بیشتر مؤثر است. تخریب را متناسب با تعداد دفعاتی که ولتاژ متناوب قطع و وصل شده یا تغییر علامت داده است می‌دانند. در ولتاژ متناوب پس از آنکه یک جرقه زده شد، مقداری بار الکتریکی در سطح عایق و یا در فاصله معینی از الکترودها باقی می‌ماند.

#### Water Treeing -۲-۵

پس از عوض شدن علامت ولتاژ، شدت میدان بین الکترود و نقطه‌ای از سطح عایق که بارهای الکتریکی در آنجا قرار گرفته بودند افزایش یافته و مجددًا جرقه‌ای زده می‌شود که این عمل به کرات ادامه خواهد یافت.

در داخل حفره‌های عایق جامد نیز به شرط کافی بودن شدت میدان الکتریکی، جرقه زده می‌شود (تخلیه جزیی صورت می‌گیرد).

#### ۶- دسته‌بندی انواع تخلیه الکتریکی جزیی

انواع تخلیه جزیی را به روش‌های مختلف دسته‌بندی نموده‌اند که در کلی ترین و مناسب‌ترین این دسته‌بندی‌ها آنها را به چهار گروه متمایز تقسیم کرده‌اند.

- تخلیه‌های داخلی که مربوط به حفره‌ها و شکاف‌های ریز در داخل عایق جامد و یا حباب در عایق مایع می‌شود.
- تخلیه‌های سطحی که بر اثر وجود ناهمواری‌های سطح عایق و در نتیجه میدان غیر یکنواخت و شکستهای موضعی به وجود می‌آید.
- تخلیه‌های کرونا که مربوط به یونیزه شدن موضعی گازها در اثر میدان غیر یکنواخت بوده و به صورت جرقه‌های ریزی پدیدار می‌شود.
- تخلیه‌های جزیی یا ساختار درختی (تریینگ) که قبلاً شرح داده شد.

1- Treeing  
2- Water Treeing

در این شکل pc دستگاه اندازه‌گیری تخلیه جزیی و ko اسیلسکوپ می‌باشد. تخلیه جزیی را بر حسب pc (پیکوکولومب) می‌سنجند و آن باز الکتریکی است که بر اثر تخلیه جزیی در زمان معینی مثلاً در هر پریود از امپدانس ۶۰ اهم در این مدار عبور می‌نماید.

در این مدار ولتاژ را بالا می‌برند و تخلیه جزیی را برای هر مقدار ولتاژ اندازه می‌گیرند. ولتاژی که در آن تخلیه جزیی شروع می‌گردد، ولتاژ شروع تخلیه جزیی خوانده می‌شود.

تخلیه جزیی در روغن باعث تجزیه روغن به اجزاء سازنده آن مانند C<sub>n</sub>H<sub>m</sub> و هیدروژن می‌شود. گازهایی که به این ترتیب بوجود می‌آیند قسمتی در روغن حل شده و قسمتی به صورت حباب در می‌آیند. این حباب‌ها در درازمدت می‌توانند باعث شکست الکتریکی روغن شوند.

#### ۵- تخلیه الکتریکی جزیی در عایق‌های جامد

شکست بر اثر تخریب عایق ممکن است چندین ساعت یا چندین ماه طول بکشد. در طول این مدت بر اثر تخلیه جزیی، عایق تخریب می‌گردد. بدیهی است تخلیه جزیی در نقاطی پیش می‌آید که شدت میدان الکتریکی در آن نقاط بیش از حد تحمل عایق است.

معمولًا تخلیه جزیی در سطح عایق جامد (فصل مشترک عایق جامد و مایع یا جامد و گاز) یا در داخل حفره‌هایی که در داخل عایق جامد به همین دلیل ابتداً شکست کامل پیش نمی‌آید و از این روزت که تخلیه جزیی می‌تواند برای مدت طولانی برقرار بماند.

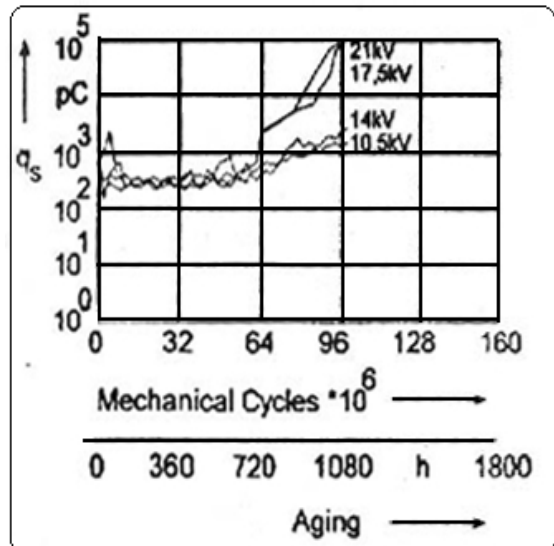
در طول زمان این نوع تخلیه باعث خوردگی شدن و تخریب عایق خواهد گردید. هر جرقه که بر روی سطح عایق جامد و یا در داخل حفره‌ای از آن پدید می‌آید از نظر مکانیکی و شیمیائی عایق را تخریب می‌نماید، در نتیجه حفره مذکور بزرگ‌تر شده و در درون عایق موادی با قابلیت هدایت الکتریکی بیشتر به وجود می‌آید.

این نوع تخلیه اغلب در داخل عایق و یا بر روی سطح آن شکل‌هایی نظیر درخت یا بوته را به وجود می‌آورد که به آن تریینگ<sup>۱</sup> می‌گویند.

#### ۶- تریینگ

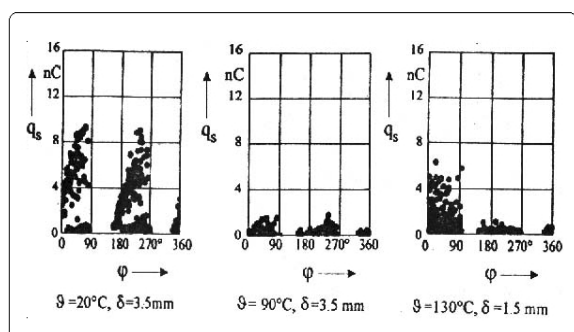
شکل (۲) کانال‌های تخلیه جزیی به شکل درخت و بوته را در عایق پلی‌اتیلن که در کابل خشک به کار می‌رود، نشان می‌دهد. پدیده تریینگ با حضور رطوبت بیشتر مشاهده می‌شود که به آن تریینگ رطوبتی یا تریینگ آبی<sup>۲</sup> گویند. این پدیده دشمن بزرگ کابل‌های فشارقوی با عایق پلی‌اتیلن است. آب در حد چند ملکول برای این امر کافی است. این مقدار رطوبت در طول زمان از پوسته کابل نفوذ می‌کند.





شکل (۳) : تغییرات حداکثر بار تخلیه الکتریکی جزیی یک شین در طول مدت پیری

نمودارهای تخلیه الکتریکی نسبت به فاز و لتاژ اعمالی نیز حاکی از محل پدیدار شدن عیب در شین می‌باشد. شکل (۴) این نمودارهای دو بعدی را برای سه شین بعد از ۶۰۰ ساعت پیری نشان می‌دهد.



شکل (۴) : تخلیه الکتریکی سه شین که در شرایط مختلف پیر شده‌اند بر حسب زاویه فاز و لتاژ آزمایش (پس از ۶۰۰ ساعت پیری)

تفاوت تخلیه‌ها در نیم سیکل‌های مثبت و منفی و همچنین دامنه تخلیه الکتریکی نشانگر این است که عایق پیر شده در درجه حرارت محیط، از سطوح میانی و خارجی شروع به تخریب نموده در صورتیکه شین پیر شده در درجه حرارت ۱۳۰ درجه سانتیگراد از سطوح داخلی بین هادی و عایق آغاز عیوب کرده است.

- 1- Critical
- 2- Ionisation Avalanche
- 3- Pulsatin

#### ۷- چگونگی ایجاد تخلیه الکتریکی جزیی

برای اینکه تخلیه جزیی در عایق صورت گیرد دو شرط باید تحقق یابد، اول آنکه میدان الکتریکی در داخل حفره از میدان بحرانی<sup>۱</sup> (Ecr) زیادتر شود و دوم آنکه برای شروع بهمن یونیزاسیون<sup>۲</sup> یک الکترون در داخل حفره به وجود آید. در حقیقت هر یک از دو شرط مذکور لازم است ولی کافی نیست و برای تحقق تخلیه در داخل حفره باید هر دو شرط هم زمان تحقق یابند. بوجود آمدن اولین الکترون جهت شروع پدیده تخلیه، نمایانگر اتفاقی بودن پدیده تخلیه جزیی است. با ایجاد تخلیه، بارهای الکتریکی در فضای حفره جابجا شده و حضور این بارها در سطح داخلی حفره از میدانی در جهت مخالف میدان اصلی ایجاد می‌کند که این مسئله باعث می‌شود میدان برآیند از حد لازم برای استقرار تخلیه کمتر شود به همین دلیل پدیده تخلیه جزیی ضربانی<sup>۳</sup> است و پالس‌های تیز جریان ایجاد می‌شود. عایق‌های عملی اغلب دارای حفره‌هایی در داخل ماده یا روی مرزهای بین جامد و الکترودها می‌باشند.

معمولاً این حفره‌ها از ماده دیگری (گاز یا مایع) با استقامت الکتریکی کمتری نسبت به عایق جامد پر شده‌اند. اکثر اوقات ضریب نفوذپذیری ماده پرکننده کمتر از ماده عایقی است و این باعث می‌شود که شدت میدان در حفره شدیدتر از عایق باشد. در نتیجه تحت فشار کاری مجاز عایق، و لتاژی که روی حفره می‌افتد، می‌تواند از مقدار شکست آن تجاوز کرده و باعث شروع شکست در حفره شود.

#### ۸- تغییرات تخلیه الکتریکی جزیی در روند پیری عایق

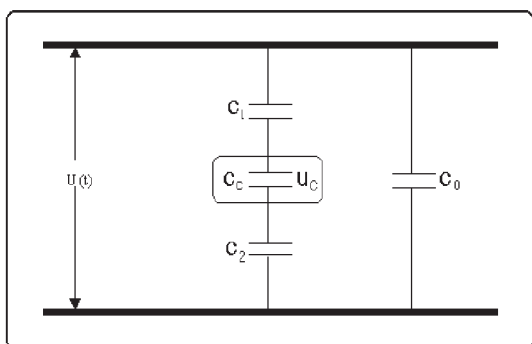
پارامتر اصلی در شناسایی روند پیری عایق‌های فشار قوی اندازه‌گیری مداوم تخلیه الکتریکی جزیی بصورت (On Line) می‌باشد. لذا به نتایج آزمایش‌های اشاره می‌کنیم که در آن روند تخریب عایق در مدت پیری توسط اندازه‌گیری تخلیه الکتریکی جزیی (On Line) مورد بررسی قرار گرفته است.

در این آزمایش‌ها توسط ماشین پیرسازی شین، شین‌های مورد آزمایش، تحت تنشی‌های منفرد یا ترکیبی الکتریکی (دو برابر و لتاژ نامی)، حرارتی (۲۰ الی ۱۵۵ درجه سانتیگراد) و مکانیکی (ارتفاع با فرکانس ۲۵ سیکل در ثانیه) در ۹ مرحله و مجموعاً در طی ۱۰۰۰۰ ساعت پیر شده‌اند شکل (۳) تغییرات حداکثر بار الکتریکی تخلیه‌های مربوط به یک شین پیر شده در ۹۰ درجه سانتیگراد را در و لتاژهای ۱۰/۵ تا ۲۱ کیلو ولت نشان می‌دهد.

تفاوت فاحش بین دامنه بار تخلیه‌ها در و لتاژهای بالاتر نشان‌دهنده رشد سریع کانال تخلیه در این شین در و لتاژهای بالاتر و نیاز به و لتاژ بیشتر جهت آغاز تخلیه الکتریکی می‌باشد.

## ۹- مدار معادل و روابط الکتریکی تخلیه جزی

شکل (۵) یک حفره را که در داخله عایق جامدی قرار گرفته است نشان می‌دهد. این عایق جامد در بین دو الکتروود صفحه‌ای قرار دارد. تعدادی از خطوط نیرو از داخل حفره عبور می‌کنند. این خطوط نیرو یک کانال میدان را ایجاد می‌نمایند و این کانال به نوبه خود سه ظرفیت را در طول مسیر تشکیل می‌دهد. این سه ظرفیت که با نامهای  $C_1$  و  $C_C$  در شکل (۵) مشخص شده‌اند به صورت سری به یکدیگر وصل شده‌اند. سایر خطوط نیرو نیز ظرفیت  $C_0$  را در بین دو الکتروود تشکیل می‌دهند. اینک اگر دو الکتروود را از طریق یک امپدانس به منبع ولتاژ متناوب وصل کنیم، افت ولتاژ بر روی خازن  $C_C$  به صورت زیر محاسبه خواهد شد:



شکل (۵) : مدار معادل حفره در عایق جامد

$$U_C(t) = \frac{U(t)C_{12} + q}{C_{12} + C_C} \quad (1)$$

در رابطه (۱)  $C_{12}$  ظرفیت معادل اتصال متواالی دو ظرفیت  $C_1$  بوده و  $U_C$  افت ولتاژ روی حفره و  $U(t)$  ولتاژ منبع و  $q$  بار الکتریکی خازن  $C_C$  است. در صورتی که خازن  $C_C$  و خازن‌های  $C_1$  و  $C_2$  بدون بار الکتریکی باشند، می‌توان نوشت:

$$U_C(t) = U(t) \frac{C_{12}}{C_C + C_{12}} \quad (2)$$

اگر خازن  $C_C$  بار الکتریکی معادل  $q$  داشته باشد با توجه به سینوسی بودن ولتاژ منبع، ولتاژ حفره یعنی  $U_C$  به صورت زیر خواهد بود :

$$U_C(t) = \frac{C_{12}U_0 \sin \omega t + q}{C_{12} + C_C} \quad (3)$$

از این رابطه مشخص می‌گردد که ولتاژ  $U_C$  نیز یک ولتاژ سینوسی است، ضمن آنکه علاوه بر ولتاژ سینوسی، دارای یک مؤلفه

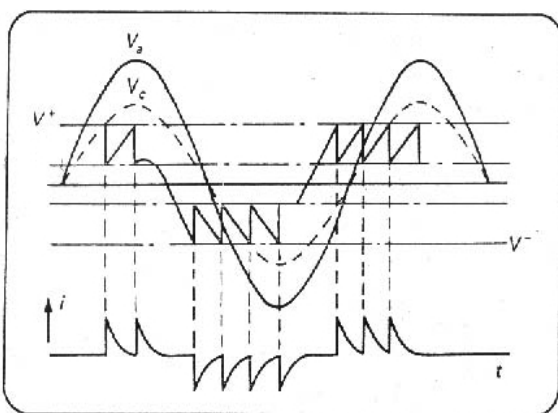
$$\text{داهنم برابر } \frac{q}{C_{12} + C_C} \text{ نیز می‌باشد. هر گاه ولتاژ حفره به مقدار}$$

معینی مثل  $Z$  برسد، در داخل حفره یک جرقه زده می‌شود و مقداری بار الکتریکی از یک طرف حفره به طرف دیگر آن منتقل می‌گردد. این بار الکتریکی باعث می‌شود که افت ولتاژ بر روی حفره به صفر (یا حدود صفر) برسد. پس از اینکه ولتاژ حفره به صفر رسید جرقه خاموش خواهد شد. مقدار بار  $q$  در این لحظه باعث می‌شود که ولتاژ حفره  $U_C(t)$  صفر باشد. با خاموش شدن جرقه بار  $q$  ثابت باقی می‌ماند و بنابر این ولتاژ حفره مطابق رابطه (۳-۱) تغییر می‌نماید. رابطه (۳) را می‌توان به این صورت نوشت:

$$U_C(t) = A \sin(\omega t) + B \quad (4)$$

مقدار  $A$  کوچکتر از  $B$  است و  $B$  برابر مقداری است که  $U_C(t)$  را در لحظه قطع جرقه معادل صفر نماید.

تحت ولتاژ اعمالی  $V_a$  وقتی که  $V_C$  به مقدار شکست  $V^+$  مربوط به فاصله  $t$  برسد، حفره ممکن است بشکند، زنجیره شکست‌ها تحت تأثیر ولتاژ متناوب سینوسی در شکل (۶) ارائه شده است.



شکل (۶) : زنجیره شکست حفره در اثر اعمال ولتاژ‌های متناوب

منحنی خط چین ( $V_c$ ) ولتاژ ظاهر شده روی حفره را (اگر حفره نشکند) نشان می‌دهد.

زمانی که  $V_C$  به مقدار  $V^+$  می‌رسد تخلیه‌ای رخ می‌دهد، ولتاژ  $V_C$  فرو افتاده و جرقه خاموش می‌گردد، آنگاه ولتاژ حفره دوباره شروع به افزایش می‌کند تا به  $V^+$  برسد و تخلیه دو باره روی می‌دهد، بنابراین در خلال بالا رفتن ولتاژ اعمالی تعداد زیادی تخلیه می‌تواند رخ دهد.

همچنین هنگام افزایش ولتاژ در نیم سیکل بعدی وقتی که ولتاژ روی حفره به  $V$  برسد تخلیه رخ می‌دهد بدین ترتیب گروه تخلیه‌های خلق شده از یک حفره باعث افزایش پالس‌های مثبت و منفی به ترتیب روی بخش افزایشی و کاهشی ولتاژ می‌گردند (نیم سیکل مثبت و منفی).



تأثیر می‌گذارند. منابع تغذیه علاوه بر موج اصلی با فرکانس قدرت، دارای هارمونیک‌ها و ولتاژ‌های گذرای کلیدزنی هستند و علاوه بر موج اصلی با فرکانس قدرت، دارای هارمونیک‌ها و ولتاژ‌های گذرای کلیدزنی هستند و علاوه بر آن شل بودن اتصالات مدار آزمایش نیز سبب ایجاد جریان‌های فرکانس بالای نوسانی با دامنه کوچک در حوالی صفر جریان می‌شود و نیز میدان‌های پراکنده الکتریکی و مغناطیسی تولید شده در مدارهای فشار قوی مجاور و خطوط انتقال نیرو و امواج الکترومغناطیسی ایستگاه‌های رادیوئی باعث تداخل در مدار آزمایش شده و سبب ایجاد خطای اندازه‌گیری می‌شوند. در نهایت جدای از تخلیه جزیی درون دستگاه تحت آزمایش، ممکن است تخلیه جزیی درون منبع تغذیه، خازن‌های کمکی و یا کابل‌های رابط فشار قوی روی دهد. بنابراین واضح است در صورتیکه جریان‌ها و ولتاژ‌های تداخل را از مدار آزمایش حذف نکنیم، اندازه‌گیری تخلیه جزیی در دستگاه مورد نظر غیر ممکن است. تداخل امواج به دو دسته تقسیم می‌شوند. یکی هارمونیک‌های فرکانس بالای منبع و موج‌های الکترومغناطیسی و دوم پالس‌های مشابه با جریان‌های تخلیه جزیی. جریان‌های متنابوب با هر فرکانسی ایجاد اختلال در مدارهای اندازه‌گیری می‌کنند و بنابراین حذف آنها بواسیله فیلتراز مناسب از اهمیت ویژه‌ای برخوردار است. این فیلتراز می‌توانند جدای از مدار اندازه‌گیری باشند. دو نوع مدار اندازه‌گیری تخلیه جزیی وجود دارد که در شکل (۷) نشان داده شده‌اند.

#### ۱-۱۱- مقایسه دو مدار اندازه‌گیری

در این مدارها امپدانس  $Z_m$  معمولاً یک عنصر دو قطبی است که در مدار تخلیه به طور سری با خازن‌های  $C_1$  یا  $C_2$  قرار می‌گیرد. اگر خازن‌های پراکنده‌ی و همچنین تداخلی از طرف منبع تغذیه نداشته باشیم، کمیت اندازه‌گیری شده در دو مدار یکسان خواهد بود لیکن در عمل قرار گرفتن این امپدانس در شاخه دستگاه تحت آزمایش حساسیت بیشتری ایجاد کرده و تنظیم دستگاه‌های اندازه‌گیری بهتر صورت می‌گیرد. اما عبایت این روش آسیب دیدن احتمالی این تجهیزات در صورت فروپاشی دستگاه تحت آزمایش است.

در مدار شکل (۷-۲) که  $Z_m$  در شاخه  $C_k$  قرار دارد، این احتمال وجود ندارد و یا وجود آنکه افزایش ظرفیت‌های پراکنده‌ی باعث کاهش حساسیت آن می‌شود معمولاً این روش مورد استفاده قرار می‌گیرد. ضمن اینکه در صورت زمین شدن دستگاه تحت آزمایش استفاده از این روش اجتناب‌نپذیر است.

خازن  $C_0$  و منبع پله  $V_0$  برای تنظیم کردن (کالیبراسیون) دستگاه اندازه‌گیری قرار داده شده است در این زمینه در مبحث کالیبراسیون دستگاه شرح بیشتری خواهد آمد. صرفنظر از مدارهای ویژه‌ای که برای انگرال‌گیری جریان‌های PD بکار رود دو نوع مدار باند پهن و باند باریک برای سنجش بار الکتریکی تخلیه جزیی وجود دارد.

وقتی گاز درون حفره می‌شکند، سطوح عایقی موجود در دو طرف حفره، کاتد و آند لحظه‌ای را به وجود می‌آورند. برخی از الکترون‌های برخورد کننده با آند دارای آن اندازه انرژی هستند که پیوند شیمیائی سطح عایق را بشکنند.

بطور مشابه بمباران کاتد توسط یون‌های مثبت می‌تواند از طریق ازدیاد دمای سطح و ایجاد ناپایداری حرارتی محلی، باعث خرابی عایق گردد. همچنین کانال‌ها و فرورفتگی‌هایی ایجاد می‌شود که با مکانیسم گام به گام در عایق امتداد می‌یابند، بعلاوه امکان ایجاد پوسیدگی شیمیائی حاصل از محصولات فعل تخلیه نیز موجود می‌باشد.

#### ۱۰- جریان‌های تخلیه الکتریکی جزیی

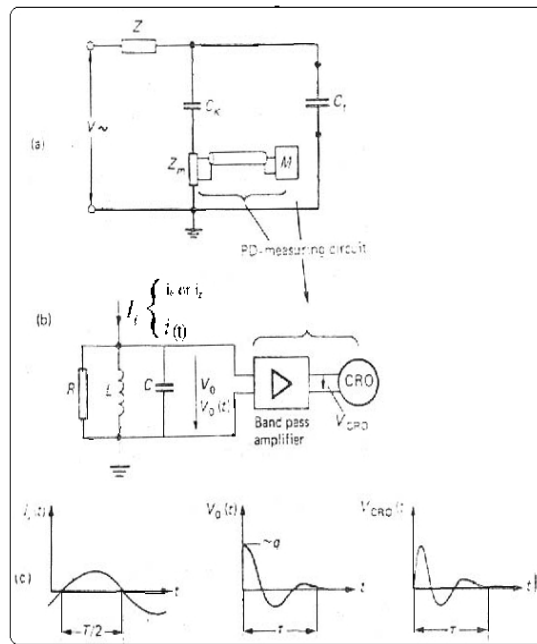
جریان‌های تخلیه الکتریکی جزیی دارای دامنه‌ای در حدود ۰/۱ میلی‌آمپر و یا بیشتر و فرکانس‌هایی در حد فرکانس امواج رادیوئی می‌باشند. تخلیه جزیی ناشی از وجود حباب‌های محوف در عایق، تولید پالس‌های جریانی با عرض کمتر از ۵nsec می‌نماید و همانند فرایند تخلیه در گازها در یک فضای محدود و در زمان بسیار کوتاه توسعه یافته و به حرکت بسیار جزیی حامل‌های بار ختم می‌شود. تخلیه‌های درون یک ماده عایق همگن نظری گاز، تولید جریان‌های ضربه با پیشانی موج کمتر از ۵ nsec و پیشست موج بزرگ‌تر می‌کند. نظر به اینکه جریان‌های با گسترش سریع توسط فرایندهای بهمنی تولید می‌شوند و جریان‌های کاملاً الکترونی را بوجود می‌آورند، کاهش جریان را می‌توان به سرعت رانده شده الکترون‌های جذب شده و یون‌های مثبت داخل ماده نسبت داد.

در فضای آزاد پالس‌های تخلیه کرونا دارای زمان‌هایی در حدود ۱۰۰ nsec و کمتر می‌باشند، پالس‌های عریض‌تر در عایق‌های جامد و مایع تنها به شرطی که تعداد حباب‌های کم و نیز در یک زمان کوتاه تعداد پالس‌ها محدود باشد، امکان اندازه‌گیری آنها وجود دارد. در بیشتر موارد کل مدت زمان جریان تخلیه در عایق‌های جامد در حدود  $4\text{ sec}$  می‌باشد.

#### ۱۱- مدارهای اندازه‌گیری با ظاهری تخلیه جزیی

بسه به نوع وسیله عایق که تحت آزمایش PD قرار می‌گیرد، حساسیت دستگاه اندازه‌گیری PD که برای آشکار سازی دامنه‌های خط‌نگار مورد نیاز می‌باشد را می‌توان تعییر داد. پایین‌ترین حدود عملی بین ۰/۱ تا یک PC می‌باشد. این مقادیر بار به وضوح مقادیر بسیار کمی هستند. برای جلوگیری از ظاهر شدن هارمونیک‌های فرکانس بالای منبع تغذیه و نیز اثرات امواج الکترومغناطیسی ناشی از منابع خارج در محیط اطراف، باید مدار آزمایش مجهز به فیلتر و قفسه‌ای مناسب باشد.

در محیط‌های آزمایشگاهی به دلیل عدم وجود نویزهای الکترومغناطیس خطاهای فاحشی بروز نمی‌کند ولی در محل نصب تجهیزات در شبکه انواع تداخل وجود دارد که روی نتایج آزمایش



شکل (۸) : مدار اندازه‌گیری بار الکتریکی باند پهن

رابطه (۵) نشان می‌دهد که اندازه این امپدانس به ازای فرکانس‌های صفر و بی‌نهایت صفر است. به عبارتی فرکانس‌های بالاتر و پایین‌تر از فرکانس تشدید را تضعیف می‌کند و یک فیلتر میان‌گذر است. با افزایش ضریب کیفیت  $(^{(1)}$  مقدار تضعیف بیشتر و پهنای باند مدار کوچک‌تر می‌گردد.

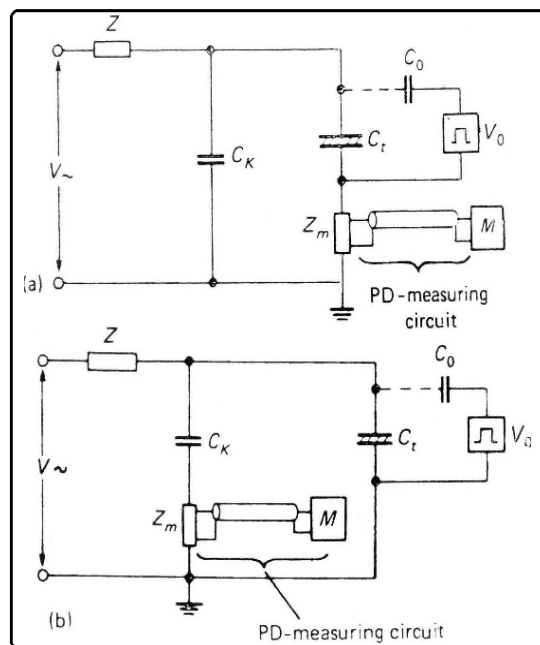
فرکانس تشدید  $f_0$  همچنین از عناصر مدار آزمایش اصلی یعنی  $C_k$  و  $C_t$  تاثیر می‌گیرد زیرا اتصال سری آنها با  $C$  مرتبط است. بنابراین واحدهای RLC باید طبق ظرفیت نمونه مورد آزمایش تغییر داده شوند تا یک پهنای باند یا فرکانس تشدید  $f_0$  با حدود مشخص بست آید. این فرکانس بایستی در محدوده پهنای باند فیلتر و تقویت‌کننده وصل شده به مدار تشدید موازی RLC باشد.

#### ۱۲- مشخصات شینه‌های مورد آزمایش

آزمایشات بر روی شینه‌ها با ولتاژ نامی  $11\text{~V}$  و  $16/5\text{~V}$  کیلو ولت، ضخامت عایقی  $4\text{~miliometer}$  از جنس میکا و اپوکسی رزین با کلاس عایقی F صورت گرفت.

شکل (۹) شمای خارجی یک شینه مورد آزمایش و نمای مقطعی شینه را نشان می‌دهد.

شکل (۹) شمای خارجی شینه مورد آزمایش، A ناحیه پوشانده شده با رنگ هادی (۵۰ cm)، E، ناحیه پوشانده شده با رنگ نیمه هادی (۲۰ cm) و C هادی شینه (۵ cm)



شکل (۷) : مدارهای آشکار ساز PD، آرایش‌های کامل مدار آزمایش شامل اتصالات کالیبراسیون

#### ۱۱-۲- مدارهای اندازه‌گیری باند پهن

شکل (۸) اصول کارایین مدارها را نشان می‌دهد. امپدانس تزویج‌گر  $Z_m$  در شکل (۸-a) به طور کلی یک مدار تشدید RLC موازی است که ضریب کیفیت آن نسبتاً کم است. با وجود این چنین امپدانس تزویج‌کننده‌ای دوکیفیت مهم ایجاد می‌شود؛ اولاً محاسبه ساده نسبت ولتاژ خروجی  $V_0$  به جریان ورودی  $I_1$  در حوزه فرکانس، به سهولت تضعیف و توفیف جریان‌های دارای فرکانس بالاتر و پائین‌تر از فرکانس تشدید را نمایان می‌کند. ثانیاً این مدار موازی به هر حال از جریان‌های PD انتگرال می‌گیرد، زیرا هر مشخصه فیلتری می‌تواند به عنوان یک انتگرال گیر مورد استفاده قرار گیرد.

نسبت ولتاژ خروجی  $V_0$  به جریان ورودی  $I_1$  در حوزه فرکانس مقدار امپدانس  $Z_m$  را بیان می‌دارد :

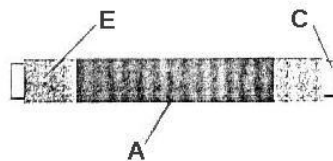
$$I_1 = I_R + I_L + I_C \quad (5)$$

$$I_i = \frac{V_0}{R} + \frac{1}{L} \int V dt + C \frac{dv}{dt}$$

$$I_i = V_0 \left( \frac{1}{R} + \frac{1}{LS} + CS \right) = V_0 \left( \frac{LS + R + RLCS^2}{RLS} \right)$$

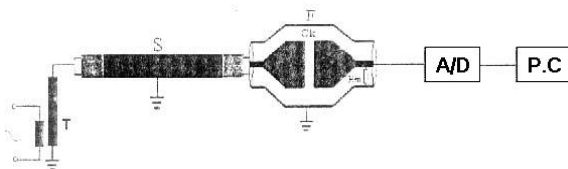
$$Z_m = \frac{V_0}{I_i} = \frac{RLS}{RLCS^2 + LS + R}$$





#### ۱۵- آزمایش اندازه گیری تخلیه الکتریکی جزیی بر روی شینه ها

برای اندازه گیری تخلیه الکتریکی که در حفره های داخلی عایق شینه و تخلیه سطحی از مدار شکل (۱۱) استفاده می کنیم.



شکل (۱۱) شمای مدار اندازه گیری تخلیه الکتریکی جزیی

پارامترهای مدار شامل:

T : ترانسفورماتور فشار قوی

F : فیلتر

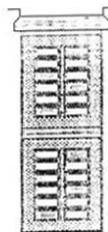
CK : خازن کوپلاز

Rm : امپدانس اندازه گیری

A/D : کارت آنالوگ به دیجیتال

PC : کامپیوتر

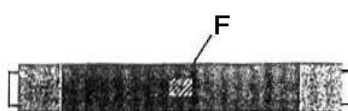
شکل (۹) : نمای مقطعی شینه



#### ۱۳- مشخصات فیلتر

فیلتر مورد استفاده در آزمایشات یک فیلتر RC با باند بسیار پهن می باشد این فیلتر دارای این مزیت است که می توان با استفاده از آن تک پالس تخلیه را اندازه گیری کرد. این سیستم که شمای آن در شکل (۱۰) دیده می شود شامل یک محفظه (تله تخلیه) است که شینه در آن قرار می گیرد و مستقیماً به خازن کوپلاز متصل می گردد. پهنهای باند این دستگاه برای اندازه گیری روی شینه حدود ۱۷ مگاهرتز می باشد. این فیلتر فرکانس های پایین را حذف کرده و فرکانس های بالا را به خروجی می برد و چون فرکانس تخلیه الکتریکی جزیی بالا است آنها را از خود عبور می دهد.

خازن CK از دو خازن C1K و C2K که خازن های سیلیندری خشک می باشند تشکیل شده است که به صورت سری به یکدیگر متصل شده اند. این خازن ها هر کدام یک خازن KV ۱۵ با ظرفیت PF ۱۶۰۰ می باشند.



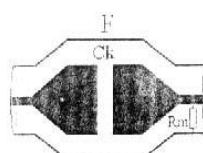
شکل (۱۲) : شمای خارجی شینه مورد آزمایش حاوی سطح تخریب شده (F) در ناحیه لایه هادی خارجی

#### ۱۷- آزمایش اندازه گیری تخلیه الکتریکی جزیی سطحی

ناشی از تخریب رنگ هادی

در این آزمایش تخلیه اکتریکی جزیی سطحی که در انتهای شینه در اثر تخریب مصنوعی رنگ نیمه هادی اتفاق می افتد، اندازه گیری می شود. تخریب رنگ نیمه هادی انتهای شینه به عرض ۱۰ میلیمتر در کل پیرامون سطح مقطع شینه صورت می گیرد. با تراشیدن لایه نیمه هادی بصورت فوق علاوه بر ایجاد تخلیه سطحی، تولید تخلیه های

شکل (۱۰) شمای فیلتر اندازه گیری تخلیه جزیی



#### ۱۴- کارت آنالوگ به دیجیتال

این دستگاه از سیکنال های خروجی فیلتر ناشی از تخلیه الکتریکی جزیی که به صورت آنالوگ می باشد نمونه برداری کرده و به صورت دیجیتال تبدیل می کند. فرکانس نمونه برداری این دستگاه MHZ ۱۰۰ می باشد. ورودی کارت به فیلتر و خروجی آن به کامپیوتر متصل می شود.



در حوزه زمان مقایسه بدینصورت انجام گرفت که تعداد، دامنه و پهنهای پالس هر یک از سیگنال های ناشی از تخلیه اندازه گیری و مقایسه گردید. بدین صورت که تفاوت تعداد تخلیه در نیم سیکل اول و نیم سیکل دوم و دامنه و تعداد پالس ها در نیم سیکل دوم نسبت به نیم سیکل اول نشانگر وجود تخلیه می باشد و بیشتر بودن تخلیه ها در نیم سیکل دوم نسبت به نیم سیکل اول نشانگر وجود تخلیه بین هادی و عایق می باشد که در اثر جدا شدن عایق داخلی از هادی ایجاد شده اند. بوسیله این آزمایش ها با استفاده از یک سیستم اندازه گیری تخلیه الکتریکی جزیی با باند بسیار پهن می توان خلل موجود در شینه را در مراحل تولید یا تعمیر تشخیص داد و از یکدیگر تفکیک نمود. این روش در انجام تست های نمونه در مرحله طراحی و تولید شینه در کارخانه و یا بر روی شینه های مستعمل جهت شناسایی نوع تخریب های موجود در شینه قابل استفاده می باشد.

#### مراجع

- ۱- نقاشن، محمد رضا- شناسایی روند پیری عایق ماشین های الکتریکی بر اساس اندازه گیری تخلیه الکتریکی جزیی، دوازدهمین کنفرانس بین المللی برق ایران، تهران، آبان ۱۳۷۶
- ۲- نقاشن، محمد رضا- پدیده تخلیه الکتریکی جزیی در عایق های الکتریکی جامد و بر اثر آن در پیری ماشین های گردان، سمینار یک روزه، دانشگاه صنعت آب و برق، تهران، ۱۳۷۹
- ۳- نقاشن، محمد رضا و کاترین انگل- اندازه گیری محداوم تخلیه الکتریکی ناقص جهت ارزیابی پیری شین های آزمایشی با عایق میکا، دهمین کنفرانس بین المللی برق ایران، تهران، آبان ۱۳۷۴
- ۴- کافل، زانگل- مبانی مهندسی فشار قوی، عبدالرضا رنجبران، چاپ اول، انتشارات علمی دانشگاه آزاد اسلامی، تهران، ایران، پاییز ۱۳۷۳
- ۵- محسنی، ح- مبانی مهندسی فشار قوی الکتریکی، انتشارات دانشگاه تهران، مهرماه ۱۳۷۷
- ۶- محمدی، م- اصول مهندسی فشار قوی الکتریکی، چاپ دوم، دهدخا، تهران ۱۳۵۳

آقای محمدرضا صادقی دارای مدرک لیسانس مهندسی برق- قدرت از دانشگاه جامع اصفهان می باشد. ایشان دارای ۱۰ سال سابقه کار در زمینه نصب و راه اندازی تجهیزات نیروگاهی بوده و از سال ۱۳۸۵ فعالیت خود را در شرکت مهندسی قدس نیرو آغاز نموده اند. زمینه کاری مورد علاقه آقای صادقی ژئو انور، الکتروموتورهای ولتاژ بالا و تراسفورماتورهای قدرت در بخش نیروگاهی و همچنین اثرات تنفس های مختلف و تست تخلیه الکتریکی جزیی (PD) بر روی شینه های ژئو انور می باشد.

Email:  
msadeghi @ ghods-niroo.com

جرقه که ناحیه تراشیده را پل می زند نیز امکان پذیر می گردد. مدار آزمایش مطابق شکل (۱۱) می باشد با این تفاوت که شینه شکل (۱۳) جایگزین می شود. شکل (۱۸) سیگنال دریافت شده را نشان می دهد.



شکل (۱۳) : شمای خارجی شینه مورد آزمایش حاوی سطح تخریب شده در ناحیه لایه نیمه هادی انتها

#### ۱۸- شرح نمودارها

$$N=F(d)$$

در این نمودار محور افقی که بر حسب درجه است به صدق قسمت که طول هر قسمت  $\frac{3}{6}$  درجه است تقسیم می شود. نمودار نشان می دهد که در هر کدام از این قطعات  $\frac{3}{6}$  درجه ای چند تخلیه اتفاق افتاده است. نمونه این نمودار در شکل (۱۴) نمایش داده شده است.

$$q=F(t)$$

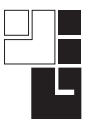
این نمودار نشان می دهد که در طول زمان چه تخلیه هایی واقع شده است و تخلیه هایی که در این مدت اتفاق افتاده را بر حسب میزان بار نشان می دهد. محور افقی بر حسب میلی ثانیه و محور عمودی بر حسب پیکوکولمب است. نمونه این نمودار در شکل (۱۵) نشان داده شده است.

$$N=F(q,d)$$

دیاگرام سه بعدی است که محورهای  $x$  و  $y$  آن بر حسب بار و درجه و محور  $z$  آن تعداد تخلیه را نشان می دهد محور  $x$  به قطعات مساوی تقسیم شده است که طول هر قطعه حسب انتخابی که برنامه بر مبنای عوامل مختلف انجام می دهد  $\frac{3}{6}$  درجه است تقسیم شده است. محور  $z$  قطعاتی که طول هر کدام  $\frac{3}{6}$  درجه است تقسیم شده است. محور  $z$  نشان می دهد که در هر کدام از خانه های روی صفحه  $y-x$  که طول آنها ۲۵ یا ۱۰۰ پیکوکولمب و عرض آنها  $\frac{3}{6}$  درجه است چه تعداد تخلیه رخ داده است. نمونه این نمودار در شکل (۱۶) نشان داده شده است.

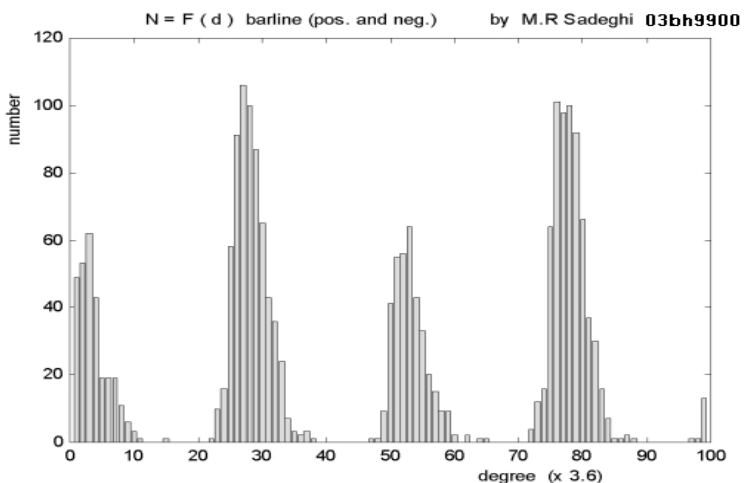
#### ۱۹- نتیجه گیری

آزمایشات صورت گرفته بر روی شینه ژئو انور نشان می دهد که با استفاده از یک فیلتر باند پهن میتوان به شناسایی تخلیه های داخلی و سطحی در داخل و خارج شیار که ناشی از تخریب عایق، لایه های هادی و نیمه هادی شینه هستند پرداخت، همچنین می توان پارازیت های مختلف دستگاه های دیگر را از تخلیه جزیی تفکیک نمود. مقایسه بین انواع سیگنال های ناشی از شینه های سالم و سیگنال های ناشی از شینه های معیوب صورت گرفت و با تخلیه و پارازیت امکان پذیر می گردد.



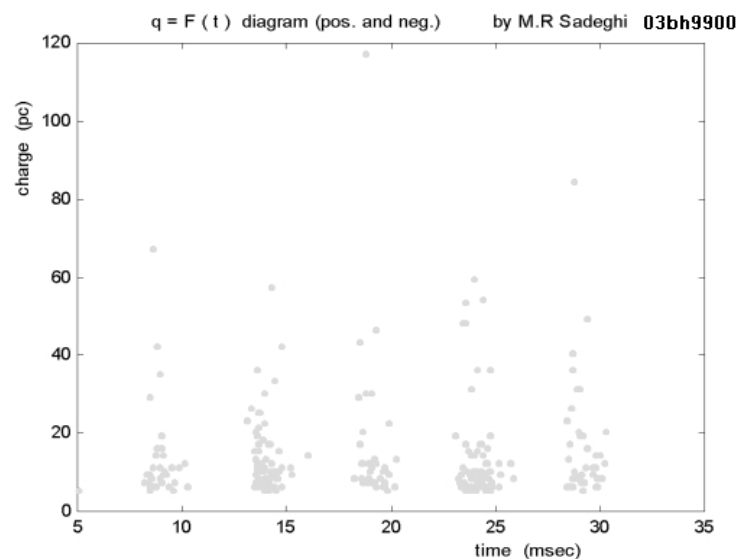
شکل (۱۴)

نمودارهای  $N = F(d)$  سیکل‌های ۱ تا ۳۰ تخلیه‌های مثبت و منفی سیگنال‌های دریافت شده از شینه بدون عیب



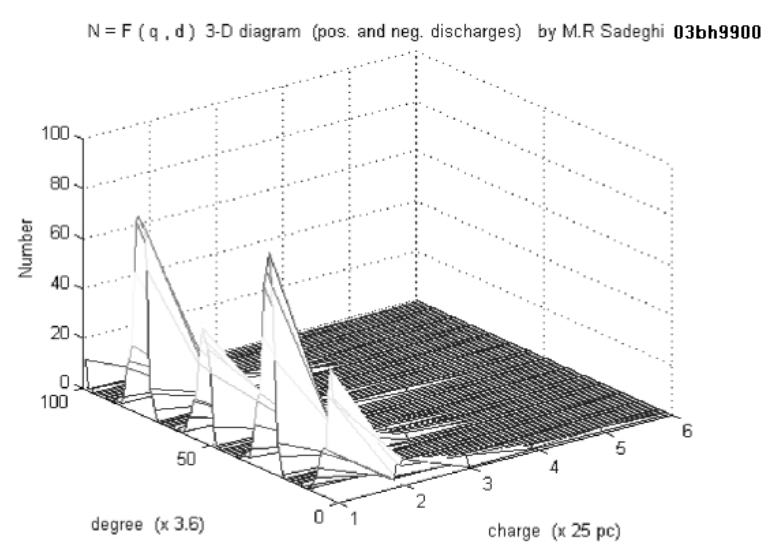
شکل (۱۵)

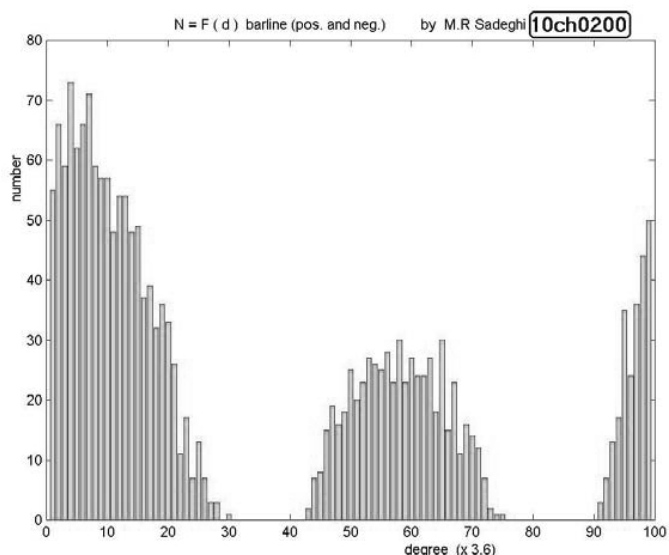
نمودارهای  $q = F(t)$  در فاصله زمانی ۵ تا ۳۵ میلی ثانیه تخلیه‌های مثبت و منفی سیگنال‌های دریافت شده از شینه بدون عیب



شکل (۱۶)

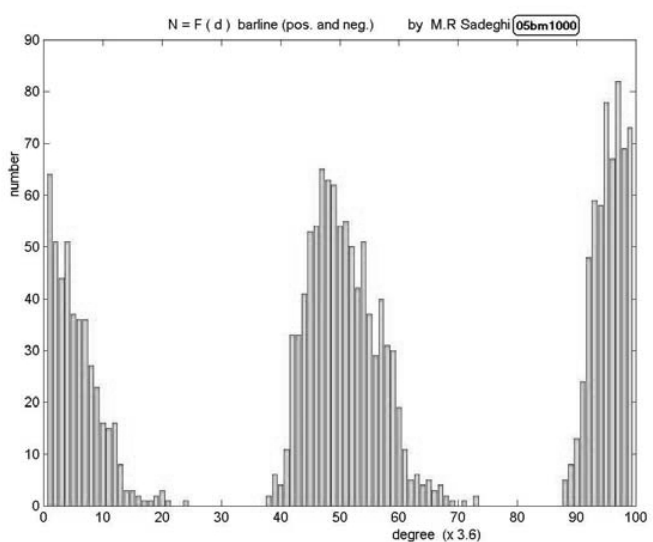
نمودارهای  $N = F(q, d)$  سیکل‌های ۱ تا ۳۰ تخلیه‌های مثبت و منفی سیگنال‌های دریافت شده از شینه بدون عیب





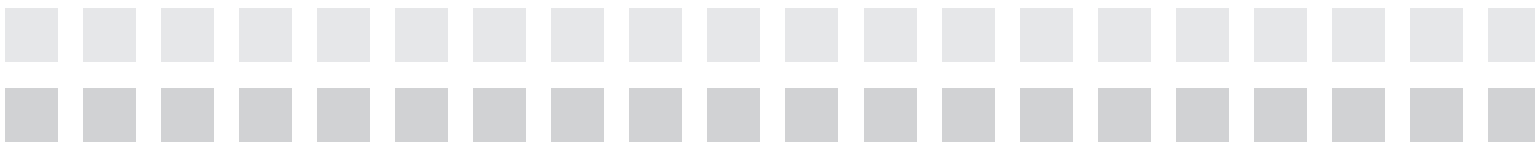
شکل (۱۷)

نمودارهای N=F(d) سیکل‌های ۱تا ۳۰ تخلیه‌های مثبت و منفی سیگنال‌های دریافت شده از تخلیه سطحی در اثر تخریب رنگ هادی سطح خارجی شینه



شکل (۱۸)

نمودارهای N=F(d) سیکل‌های ۱تا ۳۰ تخلیه‌های مثبت و منفی سیگنال‌های دریافت شده از تخلیه سطحی در اثر تخریب رنگ نیمه هادی انتهای شینه



# بررسی پارامترهای مؤثر بر کیفیت نهایی جوش در روش Flash Butt Welding

جعفر رضازاده

کارشناس ارشد مواد – SBU نیروگاه

## چکنیده

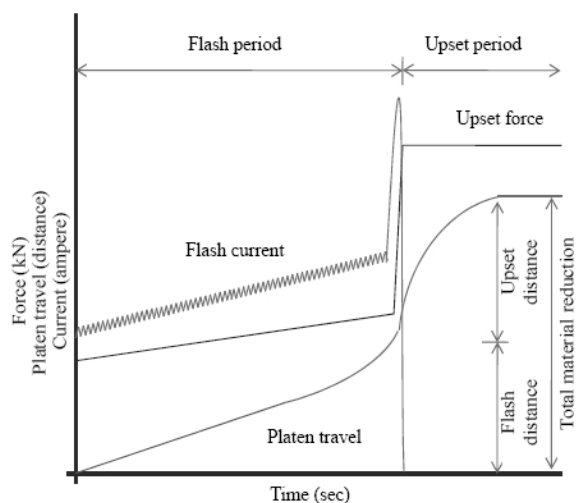
پروسه Flash Butt Welding /ز نوع جوشکاری در حالت جامد محسوب می‌شود. در این نوع جوش به دلیل آنکه ساختار دانه‌بندی و ترکیب شیمیایی فلز در ناحیه جوش و منطقه متاثر از حرارت (HAZ) تغییر چندانی نمی‌کند لذا خواص مکانیکی جوش در حد فلز پایه می‌باشد. پارامترهایی از جمله نیروی Upset کردن، میزان جابجایی فک متحرک دستگاه جوش در خلال جوشکاری، شدت جریان جوشکاری و رابطه بین نحوه حرکت فک متحرک و توزیع نیروی مکانیکی لازم برای جوشکاری در خلال پروسه بر کیفیت نهایی جوش تأثیرگذار هستند.

## ۲- مراحل Flash Butt Welding

مطابق نمودار شماره (۱) پروسه Flash Butt Welding دارای سه پارامتر اساسی بوده که عبارتند از:

- ۱- جریان مورد نیاز برای مرحله Flashing
- ۲- میزان بهینه حرکت و جابجایی فک متحرک دستگاه و به طبع آن قطعه کارها به طرف همدیگر (Platen Travel)

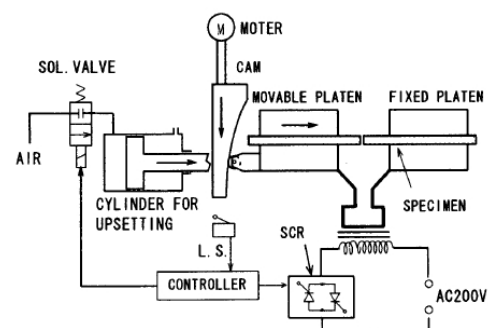
۳- نیروی مکانیکی مناسب و کافی جهت مرحله Upsetting



نمودار (۱) : نمودار تغییرات پارامترهای جوشکاری Flash Butt Welding

## ۱- مقدمه

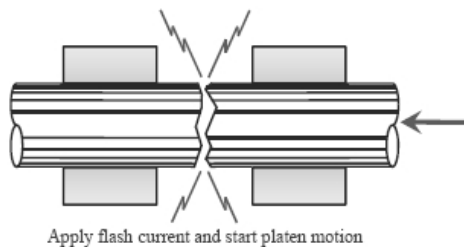
پروسه Flash Butt Welding یک نوع از جوشکاری مقاومتی است که برای ایجاد اتصال دائم در طیف وسیعی از ضخامت‌ها در آلیاژهای آهنی و غیر آهنی مورد استفاده قرار می‌گیرد. امروزه به طور معمول این روش در جوشکاری خطوط راه‌آهن، صنایع هواپی، کشتی‌سازی و نیز جوشکاری میکردها و لوله‌ها کاربرد فراوانی پیدا نموده است. ایده اصلی در این روش جوشکاری بر این اصل استوار است که عبور جریان از یک هادی سبب گرمشدن آن شده و در صورتی که مقاومت هادی در برابر عبور جریان به اندازه کافی باشد می‌تواند سبب ذوب شدن یا خمیری شدن هادی گردد. سپس با اعمال نیروی مکانیکی می‌توان هادی‌های داغ شده را به همدیگر جوش داد (شکل ۱). بدلیل آنکه در این روش از هیچ نوع الکترود مصرفی استفاده نمی‌شود و جوش از نوع کاملاً ذوبی نیست لذا دارای خواص ویژه‌ای خواهد بود.



شکل (۱) : بلوك دیاگرام دستگاه جوشکاری Flash Butt Welding

## ۱-۲- مرحله Flashing

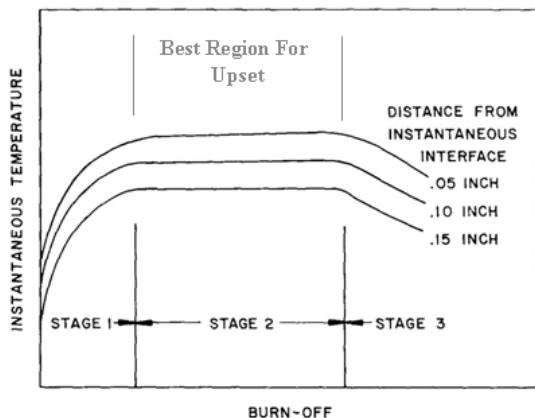
در این مرحله قطعه کارها بین فکهای ثابت و متحرک دستگاه جوش محکم بسته شده و تا حد امکان به همدیگر نزدیک می‌شوند (تماس فیزیکی وجود ندارد) و یا با نیروی کمی به همدیگر فشرده می‌شوند. سپس اتصال بین قسمت ثانویه ترانسفورماتور دستگاه جوش و قطعه کارها برقرار می‌شود. بسته به نوع قطعه کار (اندازه و جنس) جریان الکتریسیته با آمپراژ بالا از دو قطعه کار عبور می‌کند. به دلیل مقاومت بالای ایجاد شده در برابر عبور جریان در سطح تماس بین دو قطعه کار گرمای زیادی ایجاد می‌شود. گرمای حاصله سبب ذوب شدن نقاطی از سطح دو قطعه کار در محل تماس شده و پل‌های مذاب ایجاد می‌شود. در اثر اعمال نیروی مکانیکی کم در خلال مرحله Flashing این پل‌ها شکسته و مذاب به بیرون از سطح تماس بین دو قطعه کار پاشیده می‌شود. شدت جریان عبوری علاوه بر ایجاد نقاط ذوب جدید، سبب گرم و خمیری شدن قطعه کارها در محل تماس با همدیگر خواهد شد که بسته به نوع و ضخامت قطعه کار این مرحله می‌تواند از چند ثانیه تا چند دقیقه طول بکشد. در این هنگام شرایط برای تغییر شکل پلاستیک در اثر نیروی مکانیکی کاملاً فراهم می‌شود. (شکل ۲).



شکل (۲) : مرحله Flashing

نمودار (۲) گرم شدن نقاط نزدیک به سطح تماس را در مرحله Flashing نشان می‌دهد. پس از برقراری تماس الکتریکی بین دو قطعه کار در اثر بوجود آمدن نقاط ذوب موضوعی ناحیه پشت سطح تماس با اندکی تأخیر نسبت به سطح تماس شروع به گرم شدن می‌کند (Stage1). قسمت دوم (Stage 2) شامل ذوب شدن کامل سطح تماس و رسیدن ناحیه پشت سطح تماس به دمای بالاتر از دمای فورجینگ فلز است. این قسمت بهترین موقعیت از نظر درجه حرارت (Steady State) برای Upset کردن می‌باشد. فلزاتی که دارای هدایت حرارتی کم و مقاومت الکتریکی بالا هستند به دلیل ناحیه HAZ باریک و Stage 2 عریض بهترین نوع فلزات برای

جوشکاری Flash Butt Welding هستند. قسمت سوم (Stage3) پس از قطعه جریان و شروع مرحله Upsetting در ناحیه نزدیک سطح تماس اتفاق می‌افتد. قبل از افت درجه حرارت و رسیدن به قسمت سوم جوشکاری باید کامل شود.

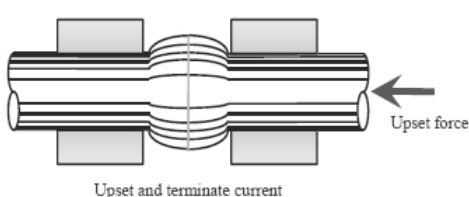


نمودار (۲) : نمودار تغییرات دمای قطعه کار بر اساس فاصله از مرکز اتصال در حین پروسه Flashing

## ۲- مرحله Upsetting

در این مرحله جریان الکتریسیته قطع شده و نیروی مکانیکی که سبب فشرده شدن قطعه کارها به همدیگر می‌شود به طور ناگهانی افزایش می‌یابد. این عمل سبب ادغام فلز داغ خمیری شکل در همدیگر شده که پس از سرد شدن جوش، شکل نهایی خود را پیدا می‌کند (نمودار ۱). فشرده شدن قطعات به همدیگر با نیروی زیاد در این مرحله کمک به بیرون جهیدن مذاب باقیمانده بین دو سطح تماس شده که این امر خود کمک بزرگی به سلامت جوش بدليل خروج سطوح اکسید شده می‌نماید (شکل ۳).

حرکت فک متحرک دستگاه به صورت پیوسته از لحظه آغاز مرحله Flashing شروع شده و تا پایان مرحله Upsetting ادامه دارد. مطابق نمودار شماره (۱) میزان حرکت فک متحرک متناسب با افزایش جریان Flashing بوده و به صورت یکنواخت و خطی افزایش پیدا می‌کند. در بسیاری از موارد این حرکت می‌تواند خطی نبوده بلکه صورت سهمنی شکل باشد.



شکل (۳) : مرحله Upsetting



مراحل مختلف پروسه جوش و جریان مورد نیاز برای جوشکاری به صورت دستی و توسط اپراتور دستگاه تنظیم می‌شود. امروزه کلیه پارامترهای فوق قابل برنامه‌ریزی و به صورت اتوماتیک توسط دستگاه جوش مونیتور و کنترل می‌گردد.

#### ۴- پارامترهای مؤثر بر کیفیت نهایی جوش

- دقیق در تنظیم اولیه دستگاه برای مراحل Flashing و Upsetting.

- فراهم ساختن شرایطی جهت مونیتور کردن مرحله Flashing.
- کنترل اتوماتیک کلیه پارامترهای جوشکاری شامل شدت جریان، نیروی Upset کردن و میزان جابجایی فک متتحرک.
- رعایت پیشگرم در فلزاتی که از مقاومت به ضربه کم برخوردار هستند.
- جلوگیری از اکسیداسیون سطوح تماس بین دو قطعه کار یا کمتر شدن میزان آن.

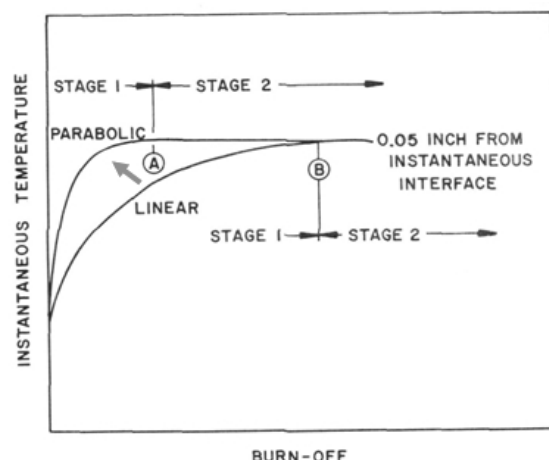
نتایج بررسی‌های انجام شده روی نمونه‌های Flash Weld نشان می‌دهد که خواص مکانیکی این نوع جوش متأثر از نیروی Upsetting و جریان مورد نیاز برای Flashing است. برای درک بهتر این موضوع و چگونگی اثرباری این پارامترها Flash Butt Welding تعداد ۱۰ نمونه تهیه شده به روش مورد مطالعه و بررسی قرار گرفته است.

نمونه‌های شماره ۱ تا ۵ در مُد Upset Position (در این مُد جابجایی فک متتحرک به اندازه‌ای است که میزان نهایی Upset length در قطعه کار ایجاد شود) و نمونه‌های شماره ۶ تا ۱۰ در مُد Upset Force (در این مُد جابجایی فک متتحرک به اندازه‌ای است که مقدار نهایی Upset Force به قطعه کار وارد شود) تهیه شده‌اند.

روی نمونه‌های تست آزمون‌های کشش، ضربه و بررسی میکرو استراکچر انجام شده است.

نمودار (۴) نشان‌دهنده استحکام کششی نمونه‌های تست می‌باشد. حداقل استحکام کششی فلز پایه برابر  $87.7 \text{ kg/mm}^2$  است نتایج حاصله از تست نشان می‌دهد که استحکام کششی کلیه نمونه‌ها این میزان را پوشش می‌دهد. ولی نمونه‌هایی که در مُد Upset Force تهیه شده‌اند از استحکام کششی بهتری نسبت به نمونه‌های Upset Position برخوردار هستند.

مطابق نمودار (۳) در هنگامیکه وضعیت حرکت قطعه کارها به طرف هم‌دیگر به صورت سهمی شکل باشد عرض ناحیه ۲ افزایش چشمگیری نسبت به این ناحیه در حرکت خطی پیدا می‌کند. در واقع این موضوع نشان می‌دهد که درجه حرارت فورجینگ در فاصله نزدیکتری از سطح تماس قطعه کارها در حرکت سهمی نسبت به خطی حاصل می‌شود. لذا این نوع حرکت مطلوب‌تر می‌باشد.



نمودار (۳) : نمودار تغییرات دمای قطعه کار بر اساس فاصله از مرکز اتصال در حین پروسه Flashing متناسب با نوع حرکت فک متتحرک دستگاه جوش.

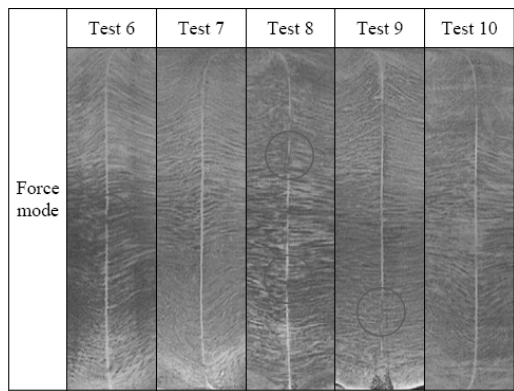
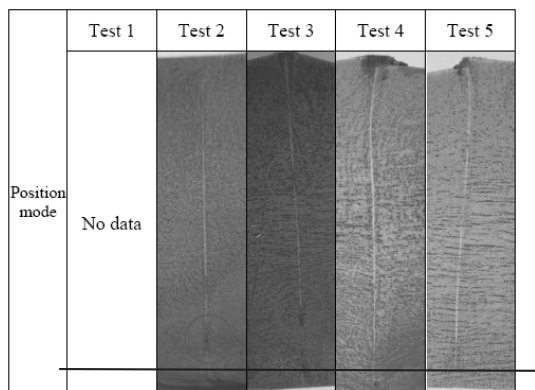
#### ۳- کنترل پروسه Flash Butt Welding

پارامترهای مختلفی از جمله شدت جریان مورد نیاز جوشکاری، میزان نیروی لازم جهت فشردن قطعات به هم‌دیگر، میزان و سرعت حرکت فک متتحرک روی پروسه Flash Butt Welding تاثیر می‌گذارد.

با افزایش شدت جریان سرعت جوشکاری افزایش پیدا می‌کند اما در عوض ناحیه HAZ عریض‌تر می‌شود و اتلاف فلز در مرحله Flashing بیشتر می‌شود. بسته به نوع فلزات با تغییر میزان نیروی فشردن، نحوه اختلاط و میزان Upset قطعه کار در محل جوش تغییر می‌نماید.

نکته اساسی در کنترل پروسه Flash Butt Welding مربوط به نحوه حرکت دو قطعه کار به طرف هم‌دیگر در مراحل Upsetting و Flashing است. در دستگاه‌های قدیمی‌تر فاصله دو قطعه کار از هم‌دیگر، سرعت و میزان حرکت فک دستگاه، زمان و نیروی لازم برای



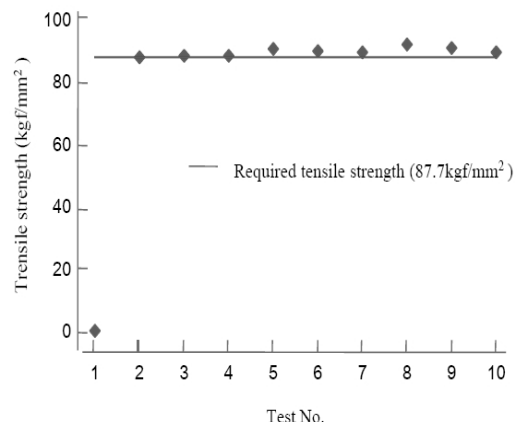


جدول (۱) : میکرواستراکچر نمونه‌های تست.  
(ا)ج شده در نیتال (%)

بررسی‌های دقیق‌تر نشان می‌دهد به دلیل آنکه در حین جوشکاری درجه حرارت سطح تماس بالاست لذا در حین پروسه Flashing کربن موجود در مذاب به دلیل عدم حفاظت در برابر اکسید‌آسیون از بین رفت و کربن سطح به ناحیه مذاب نفوذ می‌کند. این کربن تحت اثر نیروی مکانیکی وارد همراه با مذاب به بیرون سطح تماس دو قطعه کار منتقل می‌شود. لذا انتظار می‌رود که ناحیه سفید رنگ به دلیل پایین‌تر بودن میزان کربن آن از سختی کمتری برخوردار باشد.

نمودار (۶) سختی ویکرز ناحیه جوش، HAZ و فلز پایه را نشان می‌دهد.

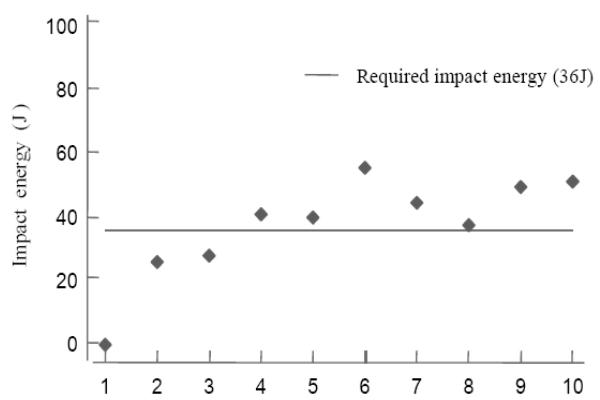
همچنانکه از روی نمودار مشخص است میزان سختی در مرکز محل اتصال (جوش) کمترین میزان و در ناحیه HAZ بیشترین می‌باشد.



نمودار (۴) : نتایج تست استحکام کششی نمونه‌ها

نمودار شماره (۵) نتایج تست مقاومت به ضربه نمونه‌ها را در ۲۰°C نشان می‌دهد. نتایج تست نمونه‌های ۴ تا ۱۰ حداقل مقاومت به ضربه مربوط به فلز پایه (36J) را همپوشانی می‌نمایند.

بررسی داده‌ها نشان می‌دهد که مقاومت به ضربه نمونه‌های که در مُدد Upset Force تهیه شده‌اند بهتر از مقاومت به ضربه نمونه‌های است که در مُدد Upset Position تهیه گردیده‌اند (47.7 J - 38.8 J).



نمودار (۵) : نتایج تست مقاومت به ضربه نمونه‌ها

در جدول (۱) میکرو استراکچر جوش‌های شماره ۲ تا ۱۰ نشان داده شده است.

بررسی دقیق این ساختارها نشان می‌دهد که در محل اتصال دو قطعه کار به هم‌دیگر یک خط سفید رنگ و در بعضی از قسمت‌ها به رنگ سیاه وجود دارد.

در شکل (۴a) به دلیل دیفیوژن کرین در محل اتصال دو قطعه کار ناحیه‌ای سفید رنگ ایجاد شده است. در شکل (۴b) ناحیه سیاهرنگ مربوط به حبس شدن لایه‌های اکسیدی است که در جریان مراحل جوشکاری ایجاد و امکان خارج شدن را پیدا نکرده است. لایه اکسید شده مانع از دیفیوژن کرین به محل اتصال شده و سبب بهبود سختی این ناحیه می‌شود اکسیدهای فلزی و غیر فلزی موجود در فلز جوش جزء ناخالصی‌های جوش محسوب شده و باعث پایین آمدن کیفیت جوش می‌شوند. این عیوب توسط روش‌های NDT به سختی قبل شناسایی می‌باشند.

## ۵- نتیجه‌گیری

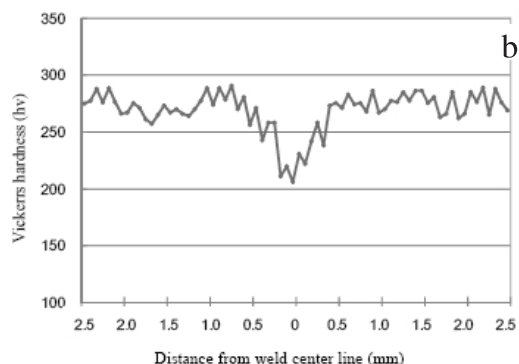
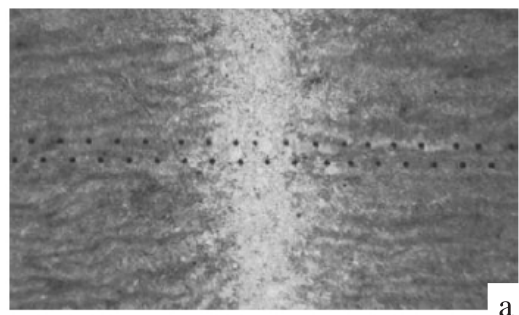
- نتایج حاصله از تست‌های کشش و ضربه در این جوشکاری مقاومتی نشان می‌دهد که تأثیر نیروی وارده در مرحله Upsetting بر روی حداقل مکانیکی جوش بیشتر از تأثیر میزان شدت جریان جوشکاری و اندازه حرکت فک متغیر دستگاه می‌باشد.
- ایجاد نوار باریک کم کرین (نسبت به فلز پایه) در محل اتصال و حبس شدن لایه‌های اکسیدی در سطح مشترک دو قطعه کلارز معایب این روش می‌باشد که توسط روش‌های NDT قبل شناسایی می‌باشد.
- روش Flast Butt Welding در مقایسه با سایر روش‌های جوشکاری معمول، ناحیه HAZ باریک‌تری در مجاورت محل جوش ایجاد می‌کند. همچنین به دلیل آنکه جوشکاری در حال جامد انجام می‌گیرد، تغییرات ساختار میکروسکوپی، دانه‌بندی و آنالیز شیمیایی فلز در محل جوش ناچیز می‌باشد، لذا با رعایت پارامترهای مؤثر بر کیفیت نهایی جوش می‌توان اتصالی با خواص مکانیکی و متالورژیکی برتر تولید نمود.

## مراجع

- 1- D.C. Kim, W.J. So b, M.J. Kang "Effect of flash butt welding parameters on weld quality of mooring chain ". Advanced Welding & Joining R&D Department, Korea Institute of Industrial Technology.
- 2- Kouki Nagura." Flash Welding Control by Use of PWM Inverter Power Supply" (Mie University).
- 3- ICHIYAMA Yasutomo, ICHIKAWA Masashi and SAITO Tohru ."Effect of upsetting condition on flash weld toughness".
- 4-ASM Metals Handbook, Vol 06.
- 5-Hassan Farhagi and Seyed Mostafa Mousavizadeh. "HORIZONTAL SPLIT-WEB FRACTURES OF FLASH BUTTWELDED RAILS."

آقای جعفر رضازاده دارای کارشناسی ارشد تکنولوژی مواد از انتستیوتی ملی فناوری هندوستان (NITW) بوده و جمعاً ۹ سال سابقه کار دارد که حدود ۵ سال آن در قدس نیرو و پروروزهای نیروگاهی می‌باشد. زمینه کاری و علاقمندی آقای مهندس رضازاده جوشکاری سوبر آلیاژها، نانو مواد و انتخاب مواد مهندسی است.

Email:  
[Jafar\\_049@yahoo.com](mailto:Jafar_049@yahoo.com)

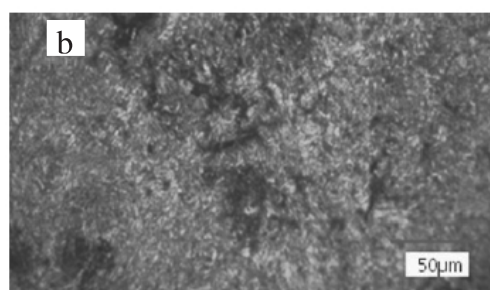
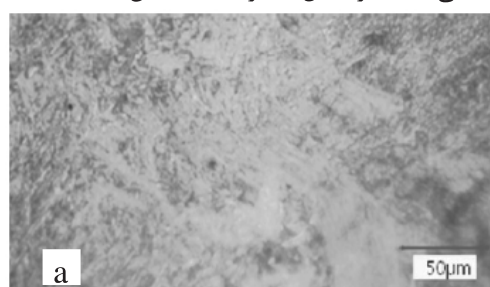


نمودار (۶) : تست سختی میکرو ویکرز نمونه.

a) میکرو استراکچر جوش و فلز پایه

b) نتایج تست سختی

هرچه عرض ناحیه کم کرین بیشتر باشد به دلیل نرم شدن فلز جوش در این ناحیه استحکام مکانیکی آن پایین‌تر می‌آید و در آزمون کشش امکان پارگی از این ناحیه بیشتر می‌شود. میکرو استراکچر ناحیه جوش در نقاط سیاه و سفید با بزرگنمایی ۵۰۰ در شکل شماره (۴) نمایش داده شده است.



شکل (۴) : میکرو استراکچر نواحی سفید و سیاه محل اتصال

# رفتار سازه‌ای قاب‌های مهاربندی شده کمانش محدود

## جعفر عسگری مارنانی

مدیر گروه سد و نیروگاه - آب SBU

### چکیده

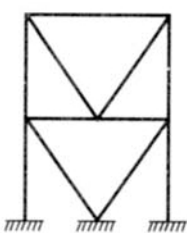
قاب‌های مهاربندی کمانش محدود<sup>۱</sup> نوع نسبتاً جدیدی از سیستم مهاربندی هم مرکز هستند که هم در کشش و هم در فشار، مقاومت‌های تنظیم شده حالت غیرالاستیک را از طریق تبدیل مقاومت محوری و مقاومت کمانش خمی به مقاومت فشاری، بصورت یکسان دارا می‌باشند. در این نوع سیستم مهاربندی، غلاف از کمانش هستهٔ فولادی جلوگیری کرده و کرنش‌های محوری تقریباً یکسانی را ایجاد می‌نماید. در نتیجه بواسطهٔ دارا بودن حلقهٔ هیسترزیستی کامل، سیستم قابلیت جذب انرژی بالاتری را نسبت به سایر سیستم‌های مهاربندی هم مرکز دارد.

در این مقاله به معرفی و بررسی رفتار سازه‌ای این نوع مهاربندها و مقایسه آنها با سیستم مهاربندی متناول پرداخته شده است.

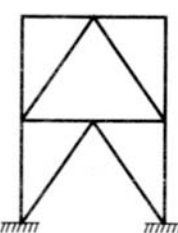
### ۱- مقدمه

تسليیم غیرالاستیک در فشار، همانند کشش مشخص می‌شوند. در این سیستم مهاربندی، جذب انرژی در طی چرخه‌های تسليیم پایدار کششی-فشاری صورت می‌پذیرد [۴]. شکل (۳) مشخصات رفتار هیسترزیک برای این نوع از مهاربند را در مقایسه با مهاربند کمانش کننده نشان می‌دهد. این رفتار در اثر محدود نمودن کمانش هستهٔ فولادی در داخل المان‌های مهاربندی حاصل می‌شود، به طوری که تنش محوری مستقل از عملکرد کمانشی خمی به هستهٔ فولادی محدود شده است. مکانیزم محدودسازی کمانش، باعث می‌شود که سیستم، در برابر کمانش کلی مهاربندها مقاومت کرده و کمانش هستهٔ فولادی در مودهای بالاتر را محدود سازد.

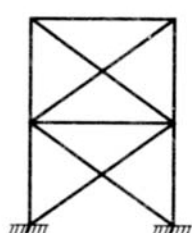
قب مهاربندی شده کمانش محدود یک رده خاص از قاب‌های مهاربندی شده هم مرکز<sup>۲</sup> می‌باشد که دقیقاً همانند آنها تقاطع محورهای اعضا در یک نقطهٔ اتصال، یک سیستم خرپایی عمودی که نیروهای جانبی را تحمل می‌کند، تشکیل می‌دهد. ولی دارای شکل‌پذیری و جذب انرژی بیشتری در مقایسه با CBF است در این سیستم از کمانش کلی مهاربند و کاهش مقاومت مربوط به آن در تحمل نیروها و تغییر شکل‌های مربوط به جابجایی نسبی طرح در طبقه‌ها جلوگیری می‌شود. شکل (۱) پیکربندی‌های ممکن در سیستم‌های BRBF و شکل (۲) یک ترکیب شماتیک از یک المان مهاربندی با این سیستم را نشان می‌دهد. BRBF با قابلیت المان‌های مهاربندی برای



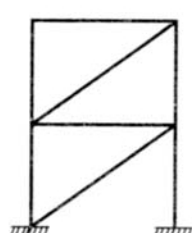
مهاربندی V شکل



مهاربندی V شکل معکوس



مهاربندی X شکل

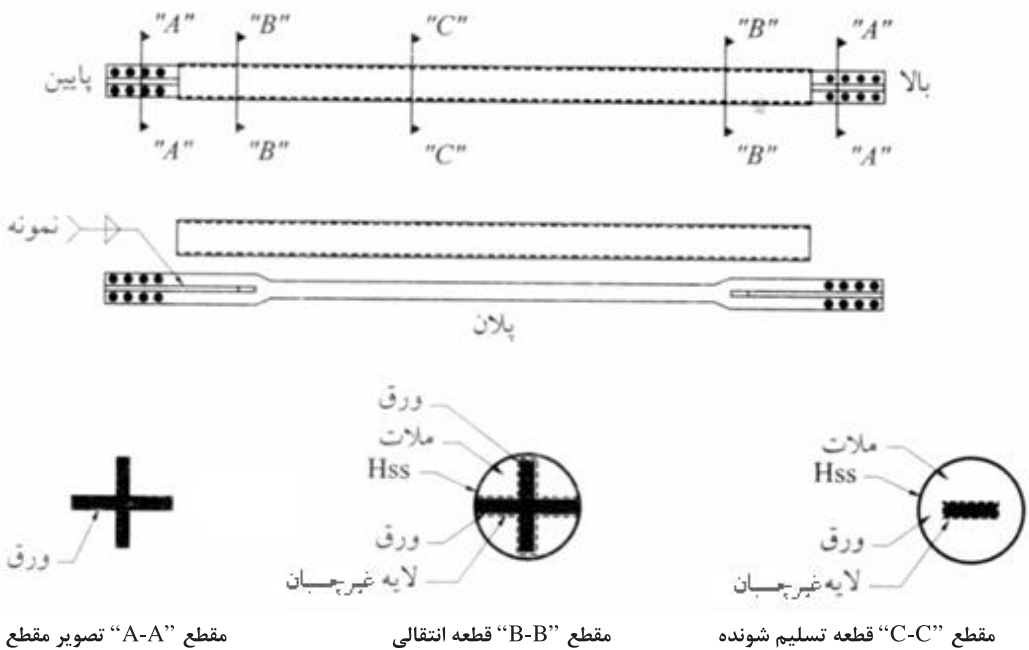


مهاربندی قطری

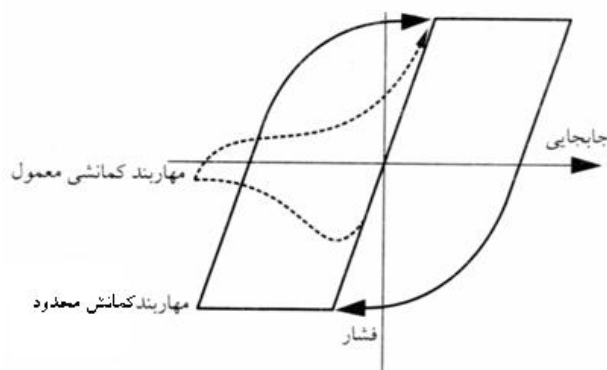
شکل (۱) : مثال‌هایی از پیکربندی‌های مهاربندی هم مرکز

1- Buckling- Restrained Braced Frames = BRBF

2- Concentric Braced Frames = CBF



شکل (۲) : جزئیات یک نوع از مهاربندهای کمانش محدود (روش R. Tremblay)



شکل (۳) : رفتار هیستریک در مهاربند کمانش محدود و مقایسه آن با رفتار مهاربندی

دارای سطح مقطعي بزرگتر نسبت به ناحيه تسليم شونده میباشد اما به همان صورت مهار میشوند. ناحيه اتصال بخشی انتهائي از مهار است که در امتداد غلاف بوده و برای اتصال مهار به دیگر اعضاء سازه‌اي قاب استفاده میشود [5],[6]. پيكربندی ناحيه اتصال بنابر نوع اتصال استفاده شده قابل تغيير میباشد. در شکل (۴)، ناحيه اتصال با حرف C، ناحيه انتقال با حرف B و ناحيه تسليم شونده با A نشان داده شده است.

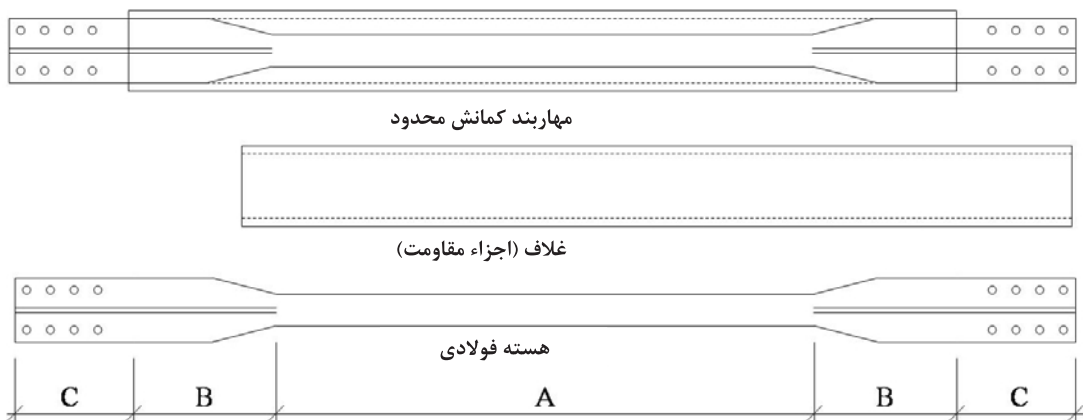
شکل (۴) پيكربندی نمونه متداول BRBF را نشان می‌دهد، اگر چه پيكربندی های بسیار دیگری هم اکنون در دسترس هستند که تعدادی از آنها در شکل (۵) ارائه شده است. در این شکل بخش های سیاه نشان دهنده مقطع هسته فولادی و نواحي هاشور خورده عضو مقاومتی ملات يا بتون را نشان می‌دهد.

**۲- اجزاء مهاربند کمانش محدود (BRB)**  
سيستم مهاربند کمانش محدود از دو ناحيه اصلی به شرح زير تشکيل میشود:

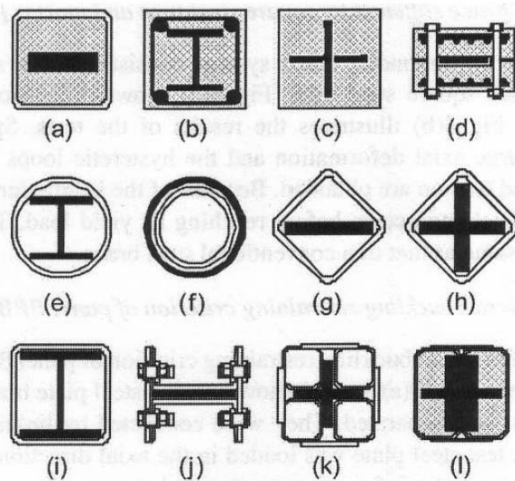
#### ۱- هسته فولادی

هسته فولادی که اين خود مطابق شکل (۴) از سه قسمت اصلی تشکيل میشود: ناحيه تسليم شونده، ناحيه انتقال و ناحيه اتصال. ناحيه تسليم شونده قطعه‌اي از مهار است که در آن تمامی نیرو بواسطه کشش و تسليم‌شدگي فشاری خنثی خواهد شد. اين ناحيه داراي يك مقطع کاوش يافته جهت ضمانت تشکيل تسليم در آن و بطور يکنواخت، میباشد. اين ناحيه کاملاً توسط غلاف (اجزاء مقاومتی) مهار میشود تا بيشتر تحت عملکرد تسليم‌شدگي فشاری باشد تا کمانش کلی يا محلی.

ناحيه انتقالی قطعاتی از مهار هستند که مستقیماً در طرف دیگر ناحيه تسليم شونده قرار دارند. اين قطعات هر چند



شکل (۴) : نمایی از اجزاء مهاربند کمانش محدود متداول



شکل (۵) : پیکربندی‌های متفاوت BRB مقاطع متقاطع قابل استفاده [9]

## ۲-۲- سیستم محدودکننده کمانش هسته (سیستم مقاومت یا غلاف)

سیستم مقاومت BRBF شامل اجزائی است که مانع از کمانش کلی یا موضعی هسته فولادی در طول بارگذاری فشاری می‌شوند و مهار رفتار هیسترزیس قابل پیش‌بینی، پایدار و متوازن را با دست یافتن به تسلیم فشاری و کششی، ارائه می‌دهد. در این سیستم محدودکننده کمانش، بایستی هسته فولادی بدون اینکه غلاف در تحمل قسمتی از بار نقشی داشته باشد، همه نیرو را تحمل کند. برای این منظور معمولاً از یک لایه شکننده و غیرچسبنده و در برخی از نمونه‌ها از مکانیزم ایجاد فاصله بین هسته فولادی و سیستم مقاوم استفاده می‌شود.

هسته فولادی BRBF جهت مقاومت در برابر تحمل بار فشاری در مهاربند طراحی می‌شود و غلاف نقشی در حمل بار محوری در مهاربند ندارد. همچنین فاصله درنظر گرفته شده در انتهای نواحی انتقال و تسلیم شونده، جهت ممانعت از تأثیرگذاری هسته بر اجزاء مقاومت در طول تسلیم‌شدن می‌باشد [1],[2]. این نوع سیستم مهاربندی با هسته فولادی در برابر بار محوری متناوب مثل بار ناشی از زمین‌لرزه بواسطه تسلیم‌شدنگی فشاری و کششی، مقاومت بسیار مطلوبی را از خود نشان می‌دهد. در بارگذاری متناوب نیروی لرزه‌ای، توانایی این سیستم در تسلیم شدنگی یکنواخت در کشش و فشار روی طول ناحیه تسلیم شونده و مقاومت در برابر خستگی در اتفاق نیرو بسیار کارآمد است [7].

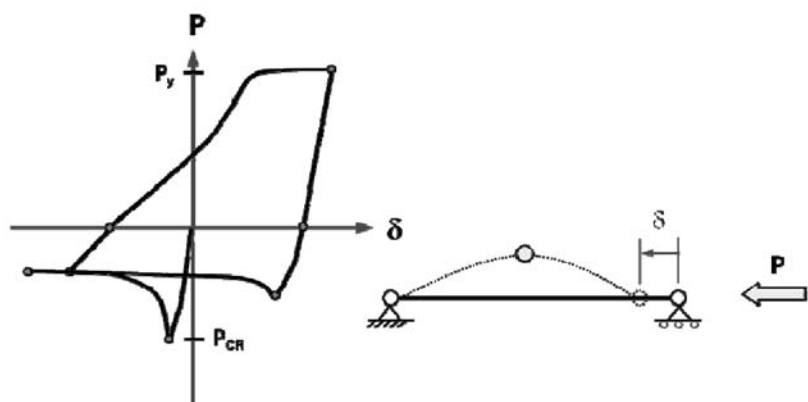
### ۳- مقایسه جذب انرژی سیستم CBF با BRBF

سیستم BRBF انرژی لرزه‌ای تحمیلی به سازه را بواسطه تسليیم‌شدگی در مهاربندها، جذب می‌نماید. در حالی که در سیستم CBF انرژی لرزه‌ای توسط کمانش مهاربند و شکل پذیری مفصل پلاستیک جذب می‌شود [1]. این در حالی است که سیستم BRBF در مقایسه با CBF دارای قابلیت بالاتر شکل پذیری و جذب انرژی است.

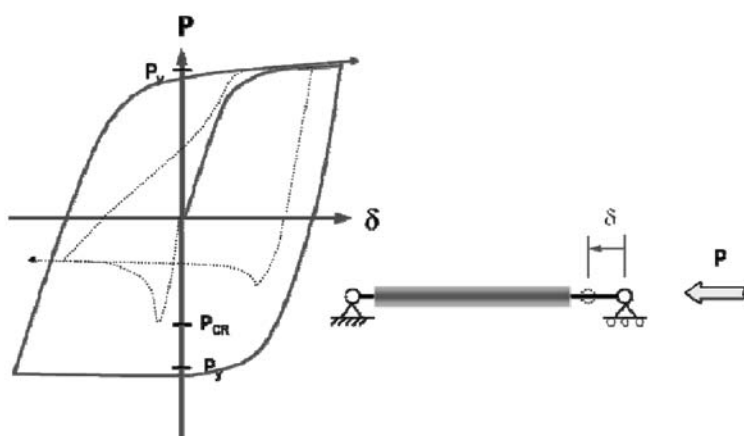
در شکل (۶) تغییر شکل محوری براساس نیروی واردۀ محوری  $P$  برای یک سیستم مهاربندی معمولی رسم شده است این شکل نشان دهنده به وجود پیوستن کمانش در فشار قبل از رسیدن به حد تسليیم می‌باشد.

مهاربندهای معمولی در کشش تسليیم می‌شوند و شکل پذیر هستند و در فشار قبل از رسیدن به حد تسليیم کمانش کرده، شکل پذیر نبوده و دارای اختلاف مقاومت کششی و فشاری معناداری هستند.

مقاومت جانبی در برابر کمانش فشاری هسته فولادی توسط ملات بتنه ریخته شده در محافظه فولادی اطراف هسته، فراهم می‌شود. این روکش دور هسته فولادی، تعیین کننده نام و عمکرد BRB می‌باشد. ملات بتنه طول کامل ناچیه‌های انتقال و تسليیم مهار را، بدون آنکه هیچ مقاومتی در تحمل نیروی محوری داشته باشد، می‌گیرد به طوری که هیچ انتقال برشی از هسته فولادی به آن وجود ندارد زیرا ملات بتنه از اتصال به هسته فولادی باستفاده از لایه‌های شکننده و یا لایه‌های با مصالح غیرچسبنده جدا می‌شود. این مصالح غیرچسبنده می‌تواند رزین epoxy، رزین سیلیکونی، رزین vinyl، ورق‌های غشا پلی‌اتیلن، ورق‌های لاستیکی butyl، پواسون کاربرد دارند [9].



شکل (۶) : رفتار مهاربندهای معمولی تحت بارگذاری محوری دوره‌ای



شکل (۷) : رفتار مهاربندهای کمانش محدود تحت بارگذاری محوری دوره‌ای

- Proceedings 68th Annual Convention, pp. 355-371, Structural Engineers Association of California, Sacramento, CA.
- 4- Clark, P., Kasai, K., Aiken, I., Kimura, I., 1999, "Evaluation of Simplified Design Approaches for Structures with Yielding Steel Braces for Energy Dissipation," Proceedings of the 1999 Annual Meeting of the Los Angeles Tall Buildings Structural Design Council, Los Angeles, CA.
  - 5- Higgins, C. and Newell, J. (2004). Confined Steel Brace for Earthquake Resistant Design, Engineering Journal, 41(4): 187-202.
  - 6- Sabelli, R. and Lopez, W. (2004). Design of Buckling-Restrained Braced Frames, Modern Steel Construction, 44(3): 67-73.
  - 7- Sabelli, R., Mahin, S., and Chang, C. (2003). Seismic demands on steel braced frame buildings with buckling-restrained braces, Engineering Structures, 23: 655-666.
  - 8- Sabelli, R., Pottebaum, W., Brazier, C., and Lopez, W. (2005). Design of a Buckling-Restrained Braced Frame Utilizing 2005 Seismic Standards, Proceedings of the Structures Congress: 1807-1818.
  - 9- Xie, Q. (2005). State of the art of buckling-restrained braces in Asia, Journal of Constructional Steel Research, 61(6): 727-748.

آقای جعفر عسگری مارنانی فارغ‌التحصیل مقطع کارشناسی در رشته عمران- مهندسی سازه از دانشگاه صنعتی اصفهان در سال ۱۳۶۷، فارغ‌التحصیل مقطع کارشناسی ارشد در رشته عمران- سازه‌های آبی از دانشگاه تهران در سال ۱۳۶۹ و فارغ‌التحصیل در مقطع دکترای تخصصی در رشته مهندسی عمران- سازه مشترکاً از دانشگاه تربیت مدرس ایران و TW- WIEN- کشور اتریش می‌باشد. ایشان جمماً ۲۰ سال سابقه کار دارند که ۱۰ سال آن در قدس نیرو است. علاقمندی آقای عسگری کار روی طراحی سازه‌های فولادی و تهیه مدل‌های عددی در تحلیل سیستم‌های سازه‌ای است.

Email:  
Jasqari @ ghods-niroo.com

شکل (۷) تغییر شکل محوری یک سیستم BRBF تحت بار فشاری P را نشان می‌دهد. همانگونه که ملاحظه می‌شود در این سیستم کمانش در فشار قبل از رسیدن به حد تسليیم به قوع نمی‌پیوندد و سیستم مقاومتی بیش از حد تسليیم از خود نشان می‌دهد.

بطور کلی مهاربندهای کمانش محدود در کشش و فشار به حد تسليیم می‌رسند و شکل پذیر هستند و دارای اختلاف مقاومت کششی و فشاری ناچیزی می‌باشد. در این سیستم تنها هسته فولادی باید برای تحمل کل نیروی محوری در مهاربند طراحی شود.

#### ۴- جمع‌بندی

سیستم مهاربندی کمانش محدود (BRBF) دارای مزیت‌ها

ذیل نسبت به سیستم مهاربند هم‌مرکز CBF است:

۱. BRBF بدلیل مکانیزم اجرایی خاص خود دارای شکل پذیری بیشتری نسبت به CBF است. این مهاربندها در فشار و کشش به تسليیم شدگی می‌رسند در حالیکه سیستم CBF در کشش تسليیم شده اما در فشار کمانش می‌کند که از شکل پذیری قاب می‌کاهد.

۲. سطح مقطع مهاربند مورد نیاز برای سیستم BRBF مستقیماً از مقاومت مورد نیاز تعیین می‌شود. درصورتیکه در سیستم CBF محاسبه سطح مقطع مهاربند از شرایط کمانش موضعی و کلی حاصل می‌شود.

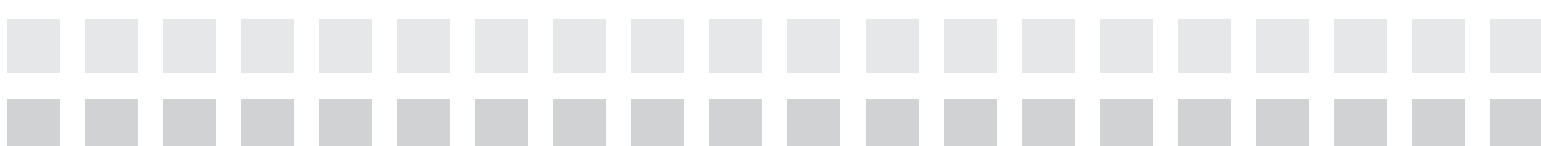
۳. مقاومت‌های اتصالی مورد نیاز برای سیستم BRBF بطور قابل ملاحظه‌ای کمتر از مقاومت‌های اتصالی مورد نیاز در سیستم CBF است. لذا پیچ‌های کمتر، اندازه جوش‌های کوچکتر و صفحات اتصال کوچکتری را نیاز دارند.

۴. BRBF سیستمی برتر برای نواحی بالارزشی بازگردانی ساختمان‌های با کاربری با اهمیت بالا است.

۵. در انتهای لازم به ذکر است که هزینه و مدت زمان اجرای سیستم BRBF خیلی بیشتر از سیستم‌های معمولی مهاربندی بوده لذا برای ساختمان‌های کوچک و با اهمیت کم، مقرر نمی‌باشد.

#### مراجع

- 1- AISC, (2006a). Seismic Provisions for Structural Steel Buildings, ANSI/AISC 341, American Institute of Steel Construction, Inc., Chicago, 2006.
- 2- AISC, (2006b). Seismic Design Manual, American Institute of Steel Construction, Inc., Chicago, 2006.
- 3- Clark, P., Aiken, I., Kasai, K., Ko, E., and Kimura, I., 1999, "Design Procedures for Buildings Incorporating Hysteretic Damping Devices,"



# ارائه الگوریتم برنامه‌ریزی استراتژیک با رویکرد مهندسی مجدد فرایندها

## راحله نعمتی

### کارشناس برنامه‌ریزی و کنترل پروژه - آب SBU

#### كلمات کلیدی:

فرایندهای کسب و کار، فرایند محوری، بلوغ، مدیریت فرایندهای کسب و کار، مدل‌های بلوغ مدیریت فرایندهای کسب و کار، استراتژی، تفکر استراتژیک، برنامه‌ریزی استراتژیک

#### چکیده

الگوریتم‌های برنامه‌ریزی استراتژیک موجود بدلیل اینکه وظیفه‌گرا هستند و اشاره محدودی به فرایندگرایی دارند، از پویایی لازم جهت همگامی با تعییرات محیط و شرایط حاکم برخوردار نیستند. لذا، در این تحقیق نسبت به ارائه یک الگوریتم جدید برنامه‌ریزی استراتژیک با رویکرد فرایندگرایی و مدیریت فرایندها که سازمان‌ها را در زمینه مدیریت، بهبود و افزایش بلوغ فرایندها در جهت رسیدن به استراتژی‌ها یاری می‌دهد اقدام شده است. در این راستا، از رویکرد توصیفی جهت تعیین استراتژی سازمان استفاده شده، سپس مدل جدید بلوغ مدیریت فرایندهای کسب و کار جهت افزایش بلوغ فرایندها تحت عنوان "مدل بلوغ فرایند و سازمان توسعه یافته" پیشنهاد شده و در قالب یک الگوریتم منسجم و تلقیقی تحت عنوان "استراتژی اثربخش و برنامه‌ریزی برای پیاده‌سازی آن" ارائه گردیده است. در واقع الگوریتم تلقیقی مذکور، توسعه یافته مدل برنامه‌ریزی استراتژیک مینا است.

بالاتری از عملکرد تجاری و عملیاتی دست یابند.

#### ۱- مقدمه

بررسی تجارب شرکت‌ها در پیاده‌سازی برنامه‌ریزی استراتژیک نشان می‌دهد که این الگوریتم‌ها از اثربخشی کافی در اجرای به استراتژی‌ها برخوردار نیستند<sup>[4]</sup> و نقش مدیریت فرایندهای کسب و کار و کاربرد مدل‌های بلوغ مدیریت فرایندهای کسب و کار جهت رسیدن به استراتژی‌های سازمانی مورد توجه قرار نگرفته است. لذا، ارائه یک الگوریتم جدید با رویکرد فرایندگرایی و مدیریت فرایندها با بکارگیری مدل بلوغ مدیریت فرایندهای کسب و کار مناسب که بتواند با گام‌های خود سازمان‌ها را در پیاده‌سازی استراتژی‌ها یاری نماید ضروری می‌باشد. در این مقاله به این مهم پرداخته شده است.

#### ۲- مدل‌های بلوغ مدیریت فرایندهای کسب و کار

##### ۲-۱- تعریف

مدیریت فرایندهای کسب و کار از دیدگاه‌های متفاوت دارد از تعابیر مختلفی است. در این مقاله مدیریت فرایندهای کسب و کار عبارتست از: "رسیدن به اهداف سازمان از طریق بهبود، مدیریت و کنترل فرایندهای کلیدی کسب و کار"<sup>[1]</sup>.

مدل‌های بلوغ به عنوان مبنای ارزیابی و مقایسه بمنظور بهبود مورد استفاده قرار می‌گیرند و رویکرد مناسبی را برای افزایش قابلیت‌ها در سازمان‌ها ارائه می‌دهند. مدل‌های بلوغ مدیریت فرایندهای کسب و کار ابزاری هستند که به سازمان‌ها کمک می‌کنند تا در اجرای مدیریت فرایندهای کسب و کار موفق باشند و به تبع آن به منافع





لازم به ذکر است مدل‌هایی که فاکتورهای مؤثر را بر اساس بلوغ فرایند و بلوغ سازمان تفکیک کرده‌اند مطلوب‌تر هستند [۹] زیرا اگر فرایند به طور مجرد مورد بررسی قرار گیرد تأثیر آن بر سایر فرایندهای موجود در سازمان دیده نمی‌شود. در ضمن به راحتی می‌توان این مدل‌ها را در سازمان‌های ایرانی که در ابتدای راه فرایندگرایی هستند به کار برد و ابهام کمتری دارند.

پس از مقایسه مدل‌ها و بررسی مزایا و معایب هر یک از آنها "مدل" مایکل رزمن، تونیا دی بران و برد پاور و مدل "مایکل همر" دو گزینه برتر هستند. ولی از آنجا که اقدامات تعیین شده در مدل "مایکل رزمن، تونیا دی بران و برد پاور" به طور ماتریسی نبووده و همچنین دسته‌بندی فاکتورها به تفکیک فرایند و سازمان نیست، بکارگیری آن در سازمان‌های ایرانی که در زمینه فرایندگرایی و فرایندمحوری در ابتدای راه بوده مشکل است. لذا مدل "مایکل همر" که از هر دو مزیت فوق برخوردار است به عنوان مدل پایه در این مرحله انتخاب گردید. در ضمن می‌توان سایر مزایای مدل‌های دیگر (مانند ابعاد مدل) را نیز به‌آن اضافه نمود.

### ۲-۲-۳- مرحله دوم مقایسه

هدف از این مرحله، اطمینان از جامعیت مدل پایه انتخابی از نقطه نظر فاکتورهای مؤثر در مدیریت فرایندهای کسب و کار بوده که معيار مقایسه در این مرحله فاکتورهای مؤثر در مدیریت فرایندهای کسب و کار است. همانطور که مقایسه مدل‌ها (جدول ۲) نشان می‌دهد مدل پایه در فاکتورهای "هراستایی با استراتژی سازمان"، "استراتژی"، "تکنولوژی اطلاعات" و "متدها" دارای کمبود است.

جدول (۱) مزایا و معایب هر مدل

ردیف	نام مدل	نمایه مقایسه	مزایا	معایب
۱	Fisher	عدم دسته‌بندی فاکتورها به صورت کلی میباشد. عدم وضوح اقدامات تعیین شده در هر مرحله بلوغ بهت پایاده سازی در سازمان ها دو بعدی میباشد و دارای بعد دامنه (سازمانی و زمانی) نسبیاند.	اقدامات به تفکیک فاکتور و مرحله بلوغ به صورت ماتریسی تعیین شده است. تعداد مرحله بلوغ مناسب میباشد قابل استفاده در همه سازمانها میباشد	-
۲	Rummel-Brache	دسته‌بندی فاکتورها به صورت کلی میباشد اقدامات به تفکیک فاکتور تعیین شده است. عدم وضوح اقدامات تعیین شده در هر مرحله بلوغ تعداد مرحله بلوغ کم میباشد. دو بعدی میباشد و دارای بعد دامنه (سازمانی و زمانی) نسبیاند.	تعداد مرحله بلوغ مناسب میباشد قابل استفاده در همه سازمانها میباشد	-
۳	Harmon	دسته‌بندی فاکتورها به صورت کلی میباشد اقدامات به تفکیک فاکتور تعیین شده است. عدم وضوح اقدامات تعیین شده در هر مرحله بلوغ بهت پایاده سازی در سازمان ها یک بعدی میباشد و دارای بعد دامنگر و دامنه (سازمانی و زمانی) نسبیاند	تعداد مرحله بلوغ مناسب میباشد قابل استفاده در همه سازمانها میباشد	-
۴	Michel Rosemann Tonia de Bruin, Brad Power	واضح بودن اقدامات تعیین شده به تفکیک فاکتور دسته‌بندی فاکتورها به صورت کلی میباشد اقدامات به تفکیک فاکتور تعیین شده است. -	واضح بودن اقدامات تعیین شده به تفکیک فاکتور تعداد مرحله بلوغ مناسب میباشد سه بعدی میباشد و دارای بعد دامنه (سازمانی و زمانی) میباشد. قابل استفاده در همه سازمانها میباشد	-
۵	Bill Curtis	دسته‌بندی فاکتورها فقط به تفکیک فرایندها میباشد اقدامات به تفکیک مرحله بلوغ تعیین شده است. یک بعدی میباشد و دارای بعد دامنگر و دامنه (سازمانی و زمانی) نسبیاند تعداد مرحله بلوغ نسبت به سایر مدلها کمتر میباشد.	واضح بودن اقدامات تعیین شده به تفکیک فاکتور تعداد مرحله بلوغ مناسب میباشد قابل استفاده در همه سازمانها میباشد	-
۶	Michel Hammer	دسته‌بندی فاکتورها به تفکیک فرایندها میباشد دو بعدی میباشد و دارای بعد دامنه (سازمانی و زمانی) نسبیاند. -	الاقدامات به تفکیک فاکتور و مرحله بلوغ به صورت ماتریسی تعیین شده است. واضح بودن اقدامات تعیین شده به تفکیک فاکتور و مرحله بلوغ قابل استفاده در همه سازمانها میباشد	-

### ۳- مراحل ارائه مدل پیشنهادی

#### ۳-۱- بررسی مدل‌های موجود

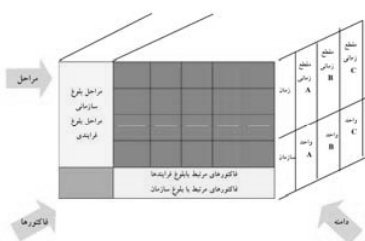
به منظور ارائه مدل پیشنهادی برای سازمان‌های ایرانی، در ابتدا مدل‌های بلوغ موجود در این زمینه که از سال ۲۰۰۳ تاکنون پیشنهاد شده‌اند مورد بررسی قرار گرفتند. این مدل‌ها عبارتند از:

- مدل [۱] Bill Curtis، مدل [۲] Fisher
- مدل [۱۰] Michel Hammer-Brache
- مدل [۱] Michael Rosemann ، Tonia de Bruin, Brad Power

#### ۳-۲- مقایسه مدل‌ها

##### ۳-۱- مرحله اول مقایسه

با توجه به هدف مقایسه که تعیین مدل پایه از بین مدل‌های مورد بررسی می‌باشد، برخی معیارهای مرتبه با خصوصیات کلی مدل‌ها انتخاب گردیدند که عبارتند از: نحوه دسته‌بندی فاکتورهای مدیریت فرایندهای کسب و کار (به تفکیک بلوغ فرایند، بلوغ سازمان و به صورت کلی)، نحوه تعیین اقدامات (به تفکیک فاکتورها، مراحل بلوغ، فاکتورها و مراحل بلوغ به طور ماتریسی)، واضح بودن اقدامات و مشخصات تعیین شده، تعداد مراحل بلوغ، تعداد ابعاد مدل، قابل استفاده‌بودن در همه سازمان‌ها. سپس با توجه به جنبه مثبت و منفی هر معيار مزایا و معایب هر یک از مدل‌ها تعیین گردید که در جدول شماره (۱) خلاصه شده‌اند.



شکل (۱) : ابعاد مدل پیشنهادی

- بعد فاکتورها: شامل فاکتورهای مرتبط با بلوغ فرایندها و فاکتورهای مرتبط با بلوغ سازمان.
- بعد مراحل بلوغ: شامل مراحل بلوغ هر یک از فاکتورهای مرتبط با بلوغ فرایندها و بلوغ سازمان.
- بعد دامنه: شامل دامنه سازمانی و زمانی (نشان دهنده مقطع زمانی بکارگیری مدل و زیر بخش يا واحدی از سازمان که مدل بکار گرفته می شود).
- طبق این مدل، به منظور آمادگی برای مدیریت فرایندهای کسب و کار و برنامه ریزی و ارزیابی پیشفرفت آنها، سازمان ها باید نسبت به وضعیت بلوغ "فاکتورهای مرتبط با بلوغ فرایندها" و "فاکتورهای مرتبط با بلوغ سازمان" در مقاطع زمانی مختلف و در کل سازمان و يا بخش و واحدی از آن شناخت پیدا کنند.

### ۱-۴-۳- بلوغ فرایندها در مدل دی.پی.ای.ام.ام<sup>۱</sup>

وجود پنج فاکتور برای عملکرد درست هر فرایند و بلوغ آن ضروری است که عبارتند از: طراحی، کنندگان کار، صاحب کار، زیرساختها، معیار اندازه گیری. فاکتورهای پنج گانه به صورت نزدیک و مشترک، به هم پیچیده و مرتبط هستند. نبود هر کدام از آنها، موجب ناکارایی دیگران هم می شود. هر کدام از فاکتورها دارای زیر فاکتورهایی است (جدول ۳).

فاکتورهای مؤثر در بلوغ فرایندها از چهار مرحله بلوغ متفاوت برخوردارند که هر یک از این مراحل، بر مرحله پیشین استوار هستند (جدول ۳). هر چه این فاکتورها از مرحله بلوغ بالاتری برخوردار باشند، نتایج ارزنده تری به بار خواهد آورد.

چنانچه همه فاکتورها در مرحله پی.یک یا پی.دو قرار گرفته باشند کل فرایند نیز در همان مرحله جای دارد. اگر چهار تا از فاکتورها به مرحله ای مشخص رسیده باشند، نمی توان گفت که کل فرایند به آن مرحله رسیده است. بلکه به مرحله پایین تر تعلق خواهد داشت. در حالت استثنایی، اگر حتی یکی از فاکتورها آن چنان ضعیف باشد که به مرحله پی.یک هم نرسد کل فرایند در مرحله صفر (پی.صفر) جای دارد. هنگامی که سازمان زمینه فرایند محوری را آماده نکرده باشد، در مرحله پی.صفر قرار دارد.

جدول (۲) : نتایج مقایسه مدل ها در مرحله دوم

Bill *Curtis	Michael Rosemann, Tonia de Bruin, Brad Power	Model Harmon	Model -Rummel Brache	Model Fisher	Model نایکتورها	Zیر نایکتورها	نایکتورها
-	۵ نایکتور ۱ -	-	-	-	هدف	طراحی	-
-	-	-	-	-	زیسته	-	-
-	-	-	-	-	مستندات	-	-
-	۵ نایکتور ۵ نایکتور ۶ -	-	۳ نایکتور ۷ نایکتور ۸ -	۳ نایکتور ۹ نایکتور ۱۰ -	دانش	کنندگان کار	-
-	-	-	-	-	مهارت	-	-
-	-	-	-	-	رفاقت	هویت	-
-	-	-	-	-	عالیات	صاحب کار	-
-	-	-	-	-	آشنازیات	-	-
-	-	-	-	-	نظام اطلاعات	ذیروساخت	-
-	-	-	-	-	نظام های بنایی	-	-
-	-	-	-	-	مریض	معیارها	-
-	-	-	-	-	سیک	رهبری	Michel Hammer
-	-	-	-	-	کار بیانی	فرهنگ	-
-	-	-	-	-	مشتری مداری	شخص	-
-	-	-	-	-	تسویلت	-	-
-	-	-	-	-	نگرش به تحول	-	-
-	-	-	-	-	افراد	-	-
-	-	-	-	-	روش	-	-
-	-	-	-	-	مدل فرایند	حکم	-
-	-	-	-	-	پاسخگویی	-	-
-	-	-	-	-	پیکارهایی	-	-
-	-	-	-	-	نایکتورهایی که در مدل Michel Hammer به آنها اشاره شده است.	-	-
-	-	-	-	-	هرمساستی با استراتژی	-	-
-	-	-	-	-	استراتژی سازمان	-	-
-	-	-	-	-	تکنولوژی اطلاعات	-	-
-	-	-	-	-	منتها	-	-

\* اقدامات تعیین شده به نیکیک نایکتور بیان نشده است.

### ۲-۳- نیاز به ارائه مدل جدید

با توجه به مقایسه های انجام شده، نیاز است تا مدلی که جامع بوده و تمام فاکتورهایی موثر بر مدیریت فرایندهای کسب و کار را در بر دارد جهت استفاده در سازمان های ایرانی ارائه گردد. در این راستا نسبت به رفع موارد کاستی هایی که در مدل پایه وجود دارد پرداخته شده است:

- فاکتورهای "همراستایی با استراتژی سازمان"، "استراتژی"، "تکنولوژی اطلاعات" و "متدها" در مدل پایه به طور واضح و مشخص مطرح نشده اند [12] در حالیکه در سایر مدل ها [1, 5, 2, 4] به عنوان فاکتورهای مجزا آورده شده است. لذا موارد ذکر شده باید به مدل پایه اضافه گردد.
- مدل پایه دارای دو بعد "فاکتورها" و "مراحل بلوغ" است. در صورتی که برخی مدل ها دارای سه بعد هستند. بنابراین بعد "دامنه" را می توان به مدل اضافه نمود [1].



### ۳-۴- ارائه مدل پیشنهادی

ممکن است در شرایطی که سازمان بالغ نباشد، بتوان بلوغ فرایندها را به کمک برخی از افراد در سازمان بهبود داد. ولی این وضعیت پایدار نمی ماند بعارت دیگر بلوغ پایدار فرایندها نیازمند و وابسته به بلوغ سازمانی است [11]. در این راستا مدل پیشنهادی بمنظور تعیین بلوغ مدیریت فرایندهای کسب و کار سازمان، بلوغ فرایند و بلوغ سازمان را به طور جداگانه مورد بررسی قرار می دهد. مدل پیشنهادی "بلوغ فرایند و سازمان توسعه یافته" دارای سه بعد (شکل ۱) به شرح ذیل است:

جدول (۳) : جدول ارزیابی بلوغ فرایندها - بهبود یافته

با استفاده از جدول (۴) می‌توان بلوغ یک فرایند کسب و کار را ارزیابی و چگونگی بهبود عملکرد آن را مشخص کرد. باید تعیین شود که عبارات نوشته شده در هر مرحله بلوغ برای هر زیرفناور داشته باشد (یا عبارتی حداقل ۸۰ درصد) خانه مربوطه به رنگ خاکستری روشن، اگر تا حدی (یا عبارتی بین ۲۰ تا ۸۰ درصد) مصادق داشته باشد، خانه مربوطه به رنگ سفید و اگر تا حد زیادی مغایرت داشته باشد (کمتر از ۲۰ درصد مصادق داشته باشد) خانه مربوطه به رنگ خاکستری تیره در آورده می‌شود. برای سازمان‌هایی که در تلاش هستند به سطح بالاتر بلوغ فرایندی ارتقا یابند، خانه‌هایی که با خاکستری روشن رنگ شده‌اند خوب کار می‌کنند و نیاز به توجه ویژه ندارند. رنگ سفید زمینه‌هایی را نشان می‌دهد که شرکت کارهای زیادی را برای انجام دارد. خانه‌هایی که خاکستری تیره شده‌اند تنگناها را نشان می‌دهند، جاهایی که مانع رسیدن فرایندها به عملکرد عالی می‌شود.

#### ۳-۲-۴-۳- بلوغ سازمان در مدل دی.پی.ای.ام.

برخورداری از فرایندهای بالغ که دارای عملکرد متعالی هستند، علاوه بر فناورهای پنجمانه فوق نیازمند ایجاد محیطی است که پیشرفت کار را به خوبی پشتیبانی کند. سازمان باید در هفت فناور دارای توانمندی لازم بوده و یا آنها را بیافریند که عبارتند از: رهبری، فرهنگ سازمانی، مهارت کارکنان، حاکمیت، تکنولوژی اطلاعات، متدها و استراتژی سازمان. تا زمانی که همه فناورهای ذکر شده در سراسر سازمان به وجود نیاید فناورهای مرتبط با بلوغ فرایندها نمی‌توانند به درستی انجام وظیفه کرده و عملکرد عالی فرایندها را تضمین کنند. هر کدام از فناورها دارای زیرفناورهایی بوده که در جدول (۴) آورده شده است.

"فناورهای مرتبط با بلوغ سازمان" هم در چهار مرحله مختلف خود را نشان می‌دهند. اگر فناورهای مرتبط با بلوغ سازمان در مرحله ای. یک باشد شرکت در مرحله یک از بلوغ است. این وضعیت شامل همه فناورهای مرتبط با بلوغ سازمان است. هر چه "فناورهای مرتبط با بلوغ سازمان" در مرحله بالاتر از بلوغ باشد "فناورهای مرتبط با بلوغ فرایندها" نیرومندتر خواهد بود که نتیجه‌اش برخورداری شرکت از فرایندهایی با عملکرد بهتر است. بنابراین هنگامی که فناورهای مرتبط با بلوغ سازمان در هر هفت زمینه در سطح ای. یک باشد آمادگی برای ارتقا آنها به سطح ای. دو باید فراهم شود. پس از آن است که فناورهای مرتبط با بلوغ فرایندها نیز به سطح ای. دو بالا می‌روند و جریان به همین سبک ادامه می‌یابد (جدول ۴).

برای تعیین این موضوع که سازمان آماده پشتیبانی از تحول فرایند محور است، عبارات جدول (۴) همانند جدول ارزیابی بلوغ فرایندها باید مورد ارزیابی قرار گیرد. عبارات مذکور، سطوح بلوغ را برای فناورهایی که سازمان برای توسعه فرایندهای کسب و کار بدان نیاز دارد نشان می‌دهد.

#### ۳-۴-۳- مشخصات کلی مدل دی.پی.ای.ام.

در مدل پیشنهادی، "فناورهای مرتبط با بلوغ فرایندها" و "فناورهای مرتبط با بلوغ سازمان" ابزار ارزشمندی برای ارزیابی بلوغ فرایندهای کسب و کار و آمادگی پذیرش تحولات فرایند محور را به دست می‌دهند (بعد اول مدل).

این مدل، پرداختن به باز طراحی فرایندها را آسان می‌کند. از سوی دیگر، با آگاهی از مراحل بلوغ فناورهای مرتبط با بلوغ فرایندها و سازمان که در جریان تحول از وظیفه‌گرایی به فرایند محوری ضروری است، شرکت چشم بسته وارد تحولی همه جانبی و خطناک نمی‌شود (بعد دوم مدل).

لازم به ذکر است دامنه (زمانی و سازمانی) بکارگیری این مدل در سازمان‌ها متفاوت است. ممکن است یک سازمان به صورت کامل و سراسری آماده باز طراحی فرایندها نبوده ولی بخش، زیربخش و یا واحدهایی از سازمان این آمادگی را داشته باشند. در چنین شرایطی مدیریت باید تنها فناورهای مرتبط با بلوغ این گونه واحدها را ارزیابی نماید و پایه تصمیم‌گیری قرار دهد و فرایندهای این بخش را مورد باز طراحی قرار دهد. انجام فعالیتهای باز طراحی فرایندها در یک واحد، موجب تشویق دیگر واحدها و کوشش در بالا بردن مراحل بلوغ فناورهای مرتبط با بلوغ سازمان و فرایندها به طور سراسری در سازمان می‌شود. در ضمن، سازمان‌ها در مقاطع مختلف زمانی نسبت به باز طراحی فرایندها می‌پردازند. آنها در یک مقطع زمانی بلوغ فرایندها را تعیین می‌نماید و در مقطع زمانی بعدی با انجام اقدامات بهبود میزان افزایش بلوغ همان فرایندها را مورد بررسی قرار می‌دهند (بعد سوم مدل).

مدل پیشنهادی در مورد همه صنایع و فرایندهای گوناگون کاربرد دارد. شرکت‌ها می‌توانند این مدل را به صورت استاندارد و آسان به کار گیرند. مدیریت این مدل ایجاد آسان است. حتی کسانی که تازه به فرایند آشنا شده‌اند با یک جلسه معرفی ابتدایی می‌توانند جدول‌ها را تکمیل، تحلیل و نتیجه‌گیری نمایند. [10]

#### ۴- الگوریتم برنامه‌ریزی استراتژیک پیشنهادی با بکارگیری مدل پیشنهادی

در این بخش الگوریتم برنامه‌ریزی استراتژیک پیشنهادی برنامه‌ریزی ایجاد شده است. در این راستا ابتدا اسناد کلی استراتژیک سازمان شامل ماموریت، چشم‌انداز و اصول ارزشی تعیین و سپس استراتژی سازمان با توجه به مفاهیم و نگرش‌های جدید رویکرد استراتژی اثربخش [14,15] در سازمان تعیین می‌شود.

عبارت "فرایند از استراتژی پیروی می‌کند"<sup>۱</sup> بدين معناست که استراتژی‌ها به کمک فرایندها اجرا می‌شوند یا به عبارتی فرایندها اجرای استراتژی‌ها را پشتیبانی می‌کنند [17]. لذا گام بعدی، پس از تعیین اهداف استراتژیک و استراتژی سازمان، شناسایی فرایندهای

نشریه فنی تخصصی قدس نیرو  
شماره ۱۳ - پاییز ۸۸م۱

## جدول (۴) : جدول ارزیابی بلوغ سازمان - بهبود یافته

سازمان است. باید توجه داشت که هر چه قدر فرایندها بهتر مدیریت شوند و سازمان از بلوغ بالاتری در مدیریت فرایندهایش برخوردار باشد، موفقیت فرایندها بیشتر می‌شود و هر چه قدر موفقیت فرایندها بیشتر باشد سازمان موفق‌تر می‌شود بدین معنا که سازمان به استراتژی‌هاییش دست پیدا می‌کند [1]. در نتیجه دنیای کسب و کار اینک "مدیریت فرایندها" را به عنوان روش ارزشمند ادامه فعالیت و زندگی پذیرفته است. در این راستا باید فرایندها را مناسب با استراتژی سازمان تعییر و بهبود داد تا توان به استراتژی تعیین شده دست پیدا کرد. برای رسیدن به این مقصود، سازمان‌ها با تحولات فرایندهای در این پروسه روبرو می‌شوند و باید بتوانند فرایندها را به طور مناسب مدیریت نمایند.

بنابراین سازمان‌ها جهت ایجاد تحول فرایند محور و بهره‌برداری از مزایای آن، نیازمند وجود دو گروه از فاکتورهای هستند. یکی به فرایند مریبوط می‌شود و دیگری به سازمان مرتبط است. که این دو فاکتور در مدل بلوغ مدیریت فرایندهای کسب و کار پیشنهادی آورده شده است. بنابراین در این مرحله از مدل بلوغ مدیریت فرایندهای کسب و کار پیشنهادی استفاده کرد. برای هر کدام از فرایندهای کسب و کار پیشنهادی اولویت با فرایندهای استفاده می‌کند و برای هر کدام از فرایندهای کسب و کار پیشنهادی کلیدی است، جدول ارزیابی بلوغ فرایندها را تکمیل می‌نمایند. پس از تعیین وضعیت بلوغ فعلی فرایندهایها با در نظر گرفتن استراتژی سازمان و سطح بلوغ سازمان که درگام بعد تعیین می‌گردد که فرایند باید در چه مرحله از بلوغ نیز مشخص می‌شود و تعیین می‌گردد که فرایند باید در چه مرحله از بلوغ قرار گیرد. در این مرحله خانه‌های سفید و خاکستری تیره که نشانه موائع و تنگناها جهت رسیدن به بلوغ فرایندها و در نهایت رسیدن به استراتژی سازمان هستند، مشخص می‌شوند.

لازم به ذکر است در مورد سازمان‌هایی که وظیفه‌گرا هستند و همچنین فرایندهای جدیدی که باید طراحی شوند، وضعیت بلوغ فرایندهای صفر در نظر گرفته می‌شود که با در نظر گرفتن استراتژی سازمان و سطح بلوغ سازمانی باید موائع و تنگناها جهت رسیدن به افزایش بلوغ سازمان، به سطوح بالاتر بلوغ فراینده ارتقا داد. سپس سازمان به تکمیل جدول ارزیابی بلوغ سازمان می‌پردازد تا بلوغ فعلی سازمان را جهت قبول تعییرات فرایندهای مورد بررسی قراردهد. سپس مناسب با تعیین مرحله بلوغ آتی فرایند، مرحله بلوغ آتی سازمان نیز تعیین شود. در این قسمت نیز، خانه‌های سفید و خاکستری تیره که نشانه موائع و تنگناها جهت رسیدن به بلوغ سازمان و در نهایت رسیدن به استراتژی سازمان است، نیز مشخص می‌شوند.

بر اساس خانه‌های سفید و خاکستری تیره، برنامه‌ها و پروژه‌های استراتژیک لازم جهت رفع موائع و تنگناها و افزایش بلوغ فرایندها و سازمان و در نهایت رسیدن به استراتژی سازمان تعیین می‌شوند. همچنین با تعییرات فرایندهای در سازمان، ساختار سازمانی نیز تعییر می‌کند [13] که برنامه‌ها و پروژه‌های استراتژیک ناشی از آن نیز مدد نظر قرار می‌گیرد و در نهایت شاخص‌هایی جهت پایش و کنترل آنها تعريف می‌شود (شکل ۲).

## ۵- اعتبارسنجی

اعتبارسنجی مدل به روش پرسشنامه‌ای انجام گردیده که توسط برخی از متخصصین مقوله برنامه استراتژیک و مدیریت فرایندها تکمیل شده است. تحلیل آماری به کمک آزمون فرض صورت گرفته و از آنجا که تعداد جامعه مورد نظر محدود بوده و جامعه دارای توزیع مشخصی نیست، آزمون بکارگرفته شده در این مرحله آزمون ویلکاکسون<sup>۱</sup> برای یک جامعه بوده که برای مقایسه میانگین‌ها استفاده می‌شود. آزمون فرض به تفکیک هر یک از سوالات پرسشنامه با فرض‌های ذیل صورت گرفته است [۱۶]:

فقدان اعتبار مدل و الگوریتم پیشنهادی به ازای پرسش مورد نظر  $H_1$ .

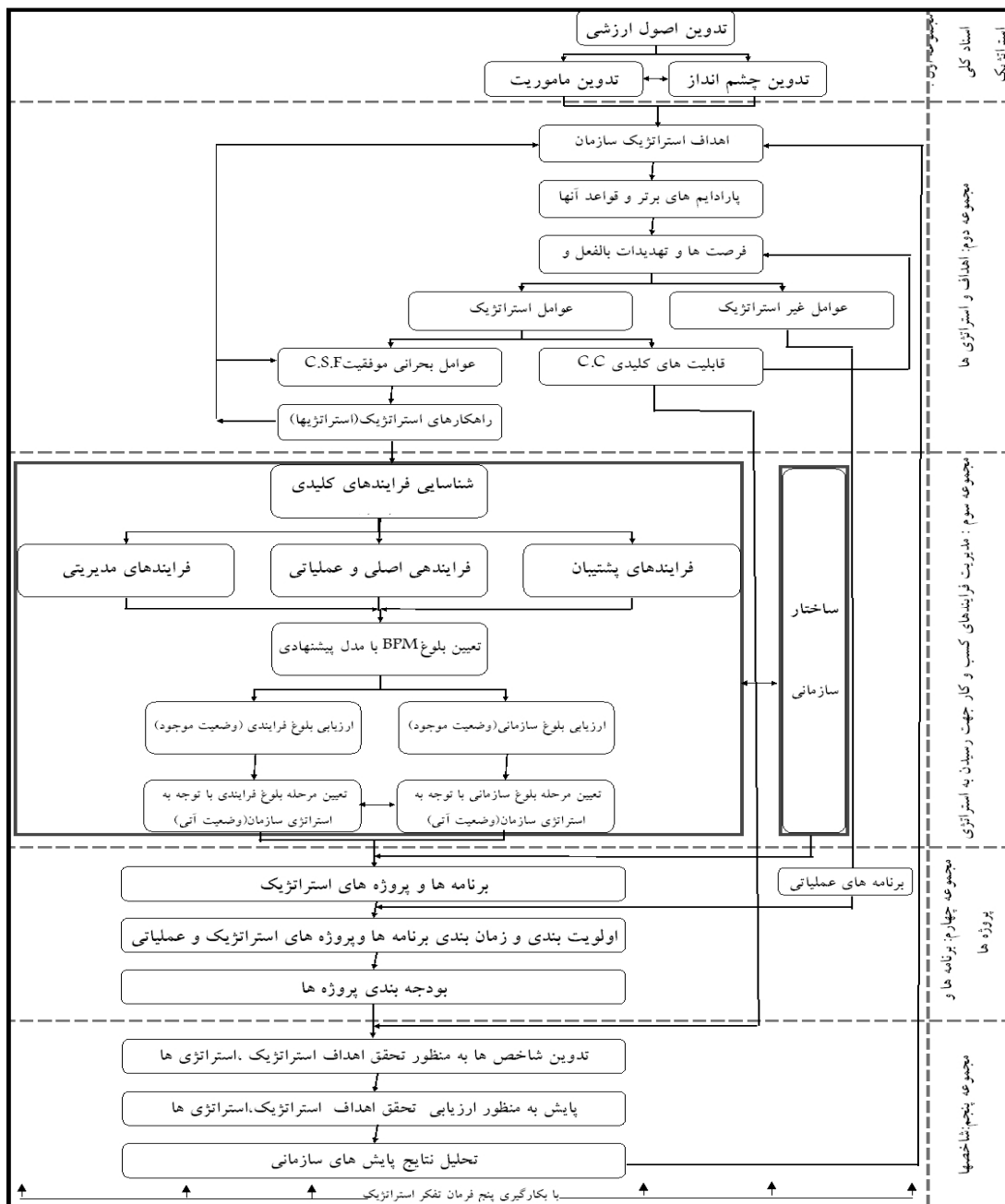
اعتبار مدل و الگوریتم پیشنهادی به ازای پرسش مورد نظر  $H_1$  سوال‌های پرسشنامه همگی از نوع مرتبه‌ای هستند. گزینه‌های پرسشنامه به ترتیب درجه اهمیت از ۴ به ۱ امتیازبندی شده‌اند. برای هر پرسش میانگین گزینه‌ها به عنوان میانگین جامعه در آن پرسش در نظر گرفته شده (در اینجا  $2/5$ ) است. سپس با کمک نرمافزار آزمون ویلکاکسون( $\%5=5\%$ ) انجام شده که نتایج آزمون فرض نشان می‌دهد که فرض  $H_1$  به ازای هر سوال مورد پذیرش بوده لذا مدل و الگوریتم پیشنهادی معتبر می‌باشد.

## ۶- نتیجه‌گیری

با توجه به اهمیت استراتژی‌ها و توانمند ساختن سازمان‌ها جهت رسیدن به این استراتژی‌ها، ارائه الگوریتم‌هایی که سازمان‌ها را در این زمینه یاری نمایند، امری ضروری است. که در این تحقیق از رویکرد مدل‌های بلوغ فرایندهای کسب و کار استفاده شده که امید است در آینده از سایر رویکردهای کاربردی استفاده گردد. در این راستا پیشنهاد می‌شود تحقیقات آتی در زمینه‌های ذیل انجام شود:

- با توجه به این که مرحله اول مقایسه با فرضیات نگارنده انجام شده و بر اساس فرضیات مذکور مدل "مایکل همر" انتخاب شده است، می‌توان در تحقیقات آتی صحت فرضیات و جامع و کامل بودن آن را مورد بررسی قرار داد.
- یکی از موارد مدل پیشنهادی تعداد کم مراحل بلوغ نسبت به سایر مدل‌های مورد بررسی است. با توجه به این که این مدل برای سازمان‌های غیرایرانی تهیه شده و آنها از نظر فرایندهایی و فرایندمحوری پیشرو هستند. لذا جهت بکارگیری در سازمان‌های ایرانی که در زمینه فرایندهایی و فرایند محوری در ابتدای راه هستند، نیاز به تعییراتی دارند به نظر می‌رسد تعییر مراحل بلوغ از ۴ مرحله به ۵ مرحله برای سازمان‌های ایرانی مفید می‌باشد.

۱ - Wilcoxon



شکل (۲) : استراتژی اثربخش و برنامه‌ریزی برای پیاده‌سازی آن



## مراجع

- 1- Jeston, John; Nelis, Johan; Business Process Management, 1<sup>st</sup> edition, published by Elsevier, India :printed and bound at Rajkamal Electric Press,2006
- 2- Fisher, David M.; The Business Process Maturity Model: A Practical Approach for Identifying Opportunities for Optimization, Business Process Trends, [Online] Available: <http://www.bptrends.com/> September 2004
- 3- Smith , Howard ; Fingar , Peter ; The Third Wave:Process Management Maturity Models, Business Process Trends, [Online] Available: <http://www.bptrends.com/> July 2004
- 4- غفاریان وفا-عمادزاده مرتضی، معانی نو ظهور در مفهوم استراتژی، تهران، سازمان مدیریت صنعتی، ۱۳۸۳
- 5- Rummler Brache Group, Process Performance Index, [Online] Available :[www.rummlerbrache.com](http://www.rummlerbrache.com)
- 6- Pritchard, J. P ; Armistead, C. ; Business process management - lessons from European business. Business Process Management Journal, volume 5, number 1, pp.10-32,1999
- 7- Maull, R. S.; Tranfield, D. R., ; Maull, W.; Factors characterising the maturity of BPR programmes. International Journal of Operations & Production Management, volume 23,number 6, 2003, pp.596-624
- 8- Rosemann, Michael ; Bruin, Tonia de.; Application of a Holistic Model for Determining BPM Maturity, Business Process Trends ,[Online] Available: <http://www.bptrends.com/> February 2005
- 9- Sinur , Jim ; Business Process Management Maturity: It's Not That Simple, Business Process Trends, [Online] Available: <http://www.bptrends.com/> May 2007
- 10- همر مایکل، ممیزی فرایند، نشریه گزیده مدیریت، ترجمه: رضایی نژاد عبدالرضا، سال هشتم، شماره هفتاد و یکم، ۱۳۸۶-۹۷
- 11- Curtis, Bill ; Alden, John; Business Process Improvement Guided By the BPMM , Business Process Trends.[Online], Available: <http://www.bptrends.com/> Nov. 2006
- 12- Power , Brad ; Michael Hammer's Process and Enterprise Maturity Model , Business Process Trends. [Online] Available: <http://www.bptrends.com/> July 2007
- 13- Kiraka R.N. ; Manning K.; Managing Organizations Through a Process-based Perspective: Its Challenges and Benefit , Knowledge and process management .V.12.N.4.John Wiley & sons Ltd,2005
- 14- غفاریان وفا-کیانی غلامرضا، استراتژی اثربخش،تهران ، سازمان فرهنگی فرهنگی فرا، ۱۳۸۰
- 15- غفاریان وفا-کیانی غلامرضا، پنج فرمان برای تفکر استراتژیک، تهران، سازمان فرهنگی فران، ۱۳۸۴
- 16- فروند جان-والپول رانلد، آلمار ریاضی، ترجمه: عبیدی علی-وحیدی اصل محمد قاسم، تهران، انتشارات مرکز نشر دانشگاهی، چاپ پنجم، ۱۳۷۷،
- 17- Schmidt , SL. ; Trreichler ,C.; A Process based View and its Influence On Strategic Management , Knowledge and process management .V.5.N.1.John Wiley & sons Ltd and Cornwallis Emmanuel Ltd,1998

خانم راحله نعمتی دارای مدرک کارشناسی ارشد مهندسی صنایع (گرایش مدیریت سیستم و بهرهوری) از دانشگاه صنعتی امیرکبیر می باشد. ایشان ۱ سال سابقه کاری دارد که همه آن در شرکت قدس نیرو است. زمینه علاقمندی خانم نعمتی سیستم های مدیریتی می باشد.

Email:  
Rnemati @ ghods-niroo.com

# جلوگیری از فروپاشی مخازن ذخیره اتمسفری آب دمین

حسین حق پرست

کارشناس شیمی و محیط زیست - شرکت مدیریت تولید برق یزد

واژه‌های کلیدی: فروپاشی تحت خلاء، مخازن ذخیره اتمسفری، خلاء، حادثه مخازن

## مقدمه

یکی از حوادث مشترک در مخازن ذخیره اتمسفری، تانکرهای حمل مایعات و سایر تجهیزاتی که در فشارهای کم بهره‌برداری می‌شوند فروپاشی در اثر خلاء تحت فشار اتمسفری است که مخرب است و می‌تواند مخاطره‌آمیز نیز باشد. دلایل بروز چنین حوادثی معمولاً از دو جانشی می‌شود: در تشخیص خطر کوتاهی صورت گرفته است و یا اینکه طراحی ناقص بوده و ظرفیت کافی برای رهاسازی خلاء تدارک دیده نشده است تا فشار داخلی بالاتر از ماکزیمم خلاء مجاز تجهیز نگه داشته شود. در حدود سه دهه قبل دکتر Trevor Kletz مقامه‌ای نوشت که در آن آینده نزدیک را پیش‌بینی نمود. او به سادگی اظهار داشت که فروپاشی مخازن ذخیره اتمسفری تحت اثر خلاء رویدادی است که هر شرکت مکرراً با آن روبرو بوده است و در سال‌های آینده بیشتر با این پدیده مواجه خواهیم بود. حوادث بسیاری در ارتباط با فروپاشی مخازن و آسیب تجهیزات در اثر خلاء در منابع گزارش شده است و هر چند که تا کنون تلفات انسانی در این ارتباط گزارش نشده است ولی چنین حوادثی می‌تواند برای افراد نیز مخاطره‌آمیز باشد. در این مقامه تعدادی از حوادث فروپاشی مخازن صنایع داخلی در اثر خلاء گزارش می‌گردد. در اینجا تأکید بر روی مخازن ذخیره اتمسفری آب دمین است که در نیروگاه‌ها مورد استفاده می‌باشد. ساختار و نت مخازن ذخیره آب دمین با ساختار ونت سایر مخازن ذخیره اتمسفری اندکی متفاوت می‌باشد. بعد از مطرح نمودن حوادث دلایل رخداد آنها به تفصیل مورد بررسی قرار می‌گیرد. با امید به اینکه از حوادث به وجود آمده تجربه‌ای بدست آید تا دیگر شاهد بروز چنین حوادثی در صنعت برق داخل کشور نباشیم.

## ۱- مخازن ذخیره اتمسفری

موجود در گازهای حاصل از احتراق در آب حل شده و تشکیل کربونیک اسید می‌دهد و باعث کاهش pH آب دمین می‌گردد. همچنین در صورتی که هوا اتمسفر مجاور آلوده به  $\text{SO}_2$  باشد، باعث تشکیل اسید سولفوره می‌شود. در صورت آلودگی آب به اکسیژن اتمسفر در درون دیاریتور اکسیژن حذف می‌گردد. برای جلوگیری از تماس اتمسفر محیط با آب ذخیره شده سه روش در صنعت برق استفاده می‌گردد:

- ۱- سقف‌های شناور
- ۲- دیافراگمهای سنتزی
- ۳- استفاده از بلانکت نیتروژن

タンک‌های کوچک که معمولاً ظرفیتی در حد ۱۶۰۰ متر مکعب دارند با نسبت ارتفاع به قطر نزدیک به ۱ یا بزرگتر ساخته می‌شوند. در تانک‌های بزرگتر این نسبت کاهش می‌یابد به دلیل اینکه ماکزیمم ارتفاع به ۱۲-۱۵ محدود می‌باشد (به دلیل محدودیت ضخامت کورس کف). ضخامت پوسته‌ها در طراحی‌های API نباید از ۳۸mm تجاوز کند در حالیکه طبق استاندارد AWWA تا ضخامت ۵۰mm را مجاز می‌داند.

طبق تعريف NFPA یک مخزن ذخیره اتمسفری مخزنی است که به گونه‌ای طراحی شده تا در فشاری بین فشار اتمسفری و ۶/۹ کیلو پاسکال بهره‌برداری شود (که در بالای تانک اندازه‌گیری می‌شود). این تانک‌ها در دو طراحی ساخته می‌شوند که شامل سقف ثابت و سقفهای متحرک (که سقف بر روی سطح مایع شناور می‌باشد و با بالا رفتن و پایین آمدن آن بالا و پایین می‌رود) می‌باشند. طرح‌های سقف ثابت شامل یک پوسته استوانه‌ای هستند که سقف به آن جوش داده شده است و سقف می‌تواند مخروطی، مسطح و یا گنبدی شکل باشد. در طرح‌های سقفهای متحرک سقف بر روی سطح مایع شناور است و با سطح مایع حرکت می‌کند. برای تانک‌هایی با سقف ثابت سه ظرفیت تعريف می‌گردد ظرفیت اسمی، ناخالص و خالص. در تانک‌ها با سقف ثابت حتماً باید ونت به اتمسفر وجود داشته باشد تا از ایجاد فشار اضافی در زمان پرشدن مخزن و همچنین دی اکسید کربن تشکیل خلاء در زمان تخلیه جلوگیری شود. دی اکسید کربن موجود در اتمسفر و همچنین



ویژه در فصل زمستان که امکان یخ‌زدگی وجود دارد اهمیت بیشتری دارد. مواردی که در آن مخازن به علت یخ‌زدگی در محل وکیوم بریکر فروپاشیده‌اند گزارش گردیده است. در موقع بازرسی از تانک‌ها اقدامات پیشگیرانه برای جلوگیری از آسیب به لاینر مخزن باید اندیشیده شود. دوره معمول بازدید از مخازن هر ۲ سال یکبار می‌باشد. سقف‌های شناور معمولاً مراقبت بیشتری نسبت به سقف‌های ثابت نیاز دارند.

## ۲- ذخیره‌سازی آب دمین

مخازن ذخیره آب دمین باید دارای ظرفیت کافی باشند تا نیاز واحد را تحت هر شرایطی برآورده کنند. همچنین باید برای مسیرهای سرریز و وکیوم بریکر طراحی‌های مناسب در نظر گرفته شود تا تانک در اثر سر ریز شدن یا تحت خلاء در شرایط افت ناگهانی سطح آسیب نبیند. در برخی از نیروگاه‌ها مخزن ذخیره آب دمین و مخزن کندانس یک مخزن می‌باشد. برای چنین مواردی حداقل ظرفیت تولید واحد باشد و ظرفیت ارجح به ازای هر مگاوات ظرفیت تولید واحد باشد و ظرفیت ارجح بین ۳/۷۹ تا ۳/۸۴ متر مکعب به ازای هر مگاوات ظرفیت تولید واحد می‌باشد. در صورت ذخیره مناسب آب دمین تغییر قابل ملاحظه‌ای در کیفیت آن روی نمی‌دهد. خلوص آبی که درون بویلرهای مصرف می‌گردد باید با کیفیت آب خروجی از بسترهای مختلط یکی باشد. در تانک‌های ذخیره قدیمی که دارای ونت بودند و مستقیماً با اتمسفر در تماس بودند امکان آلودگی آب دمین با دی‌اکسیدکربن و اکسیژن موجود در هوا و همچنین گازهای محصولات احتراق وجود داشت. برای جلوگیری از آلودگی مخازن دمین از جاذبهای  $\text{CO}_2$  استفاده می‌گردد.

ضخامت پوسته به وسیله معادله زیر مشخص می‌گردد. ضخامت معمول برای کف و سقف به ترتیب ۵ و ۶ متر می‌باشد.

$$T_s = 2.6 \cdot HDG/S \quad (1)$$

$T_s$  = ضخامت پوسته تانک

$H$  = مازکزیم ارتفاع مایع

$D$  = قطر تانک

$G$  = وزن مخصوص سیال

$S$  = استرس طراحی (psi یا kpa)

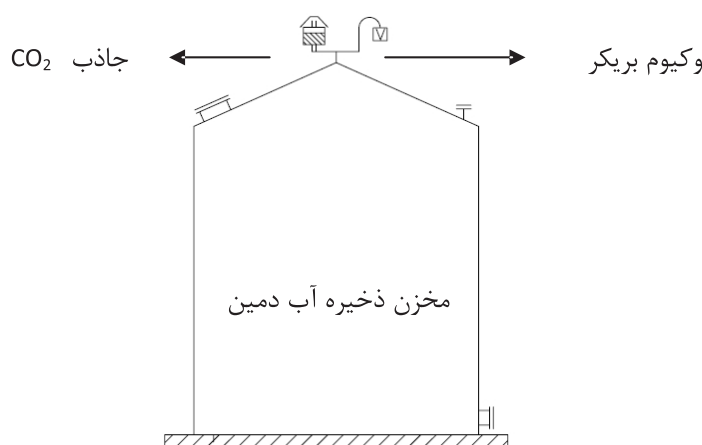
$E$  = کارایی اتصال

جدول (۱) : حداقل ضخامت پوسته توصیه شده برای مخازن رو زمینی

قطر تانک m	حداقل ضخامت
۱۵/۲	۴/۷۶
۱۵/۲-۳۶/۶	۶/۳۵
۳۶/۳-۶۱	۷/۹۴
۶۱-۲۰۰	۹/۵۳

آب مخصوصاً آب دمین نسبت به کربن استیل خورنده بوده و انحلال محصولات خوردگی در آب دمین هم مخرب است و هم باعث آلودگی آب دمین می‌گردد و باید به حداقل رسانده شود. بنابراین در اکثر موارد از پوشش لاینر ایوبکسی استفاده می‌گردد. حداقل ضخامت پوشش مورد استفاده باید ۲۰۰ تا ۳۰۰ میکرون باشد.

از ونت‌های مخازن و وکیوم بریکرها باید به طور دوره‌ای و منظم بازدید به عمل آید تا به طور صحیح کار کنند. این مسئله به



شکل (۱) : مخزن ذخیره اتمسفری آب دمین مجهز به جاذب  $\text{CO}_2$  و شیر خلاء شکن



همین مقدار است. البته وکیوم بریکر به دلیل اینمی باید دارای ظرفیتی بیشتر از مقدار مورد نیاز باشند.

ظرفیت کل نرمال ونت باید حد اقل برابر مجموع جابجایی سیال (ورود و یا خروج هر کدام بیشتر است) و اثرات دمایی باشد. در محاسبه ونت باید جریان سیال به مخازن مجاور در اثر گراویته نیز در نظر گرفته شود. محاسبه جریان سیال در اثر گراویته به مخازن مجاور از طریق رابطه (۳) قابل محاسبه است:

$$V_{\text{نت}} = \sqrt{2gh} \quad (3)$$

سرعت خروجی سیال در اثر گراویته:  $V$  m/s  
شتاب جاذبه:  $g = 9.8 \text{ m/s}^2$   
ارتفاع:  $h$  m

**۱-۴- حادثه مخزن دمین نیروگاه سیکل ترکیبی بزد**  
نیروگاه سیکل ترکیبی بزد دارای ۲ مخزن ذخیره دمین فلزی بود که گنجایش هر یک از آنها  $1000 \text{ m}^3$  می‌باشد که به طور موازی در سرویس قرار دارند و سه عدد پمپ انتقال آب دمین را به محل‌های مختلف جهت مصرف منتقل می‌نماید.

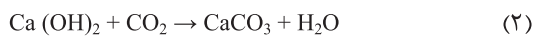
چنانچه به دلیلی مخزن شماره (۱) از سرویس خارج گردد، شیر خروجی مخزن به ساکشن پمپ‌های انتقال بسته می‌شود و آب آن تخلیه می‌شود و تنها با مخزن شماره (۲) بهره‌برداری صورت می‌گیرد.

بعد از رفع عیوب از مخزن شماره (۱) در حالیکه مخزن شماره (۲) پر از آب بوده است (۱۱ متر سطح آب مخزن (۲) شیر خروجی مخزن (۱) توسط اپراتور باز می‌گردد تا هم مخزن (۱) در سرویس قرار گیرد و هم هر دو مخزن هم سطح گردد.  
لوله خروجی مخازن ۸ اینچ بوده و به هم مرتبط می‌باشند.  
دقایقی بعد از باز شدن شیر به وسیله اپراتور صدایی بلندی از بالای مخزن شنیده می‌شود و اپراتور برای بازدید به بالای مخزن می‌رود و بعد از مشاهده فروپاشی سقف مخزن به سرعت شیر باز شده را می‌بیند. در مدت زمان ۹ دقیقه که شیر باز بوده ۸۰ سانتیمتر سطح مخزن ۲ کاهش یافته و وارد مخزن ۲ می‌گردد. در این حادثه به علت اقدام زود هنگام اپراتور فقط سقف مخزن آسیب جدی دید و به بدنه آسیبی وارد نگردید.

در صورت عدم اقدام اپراتور در بستن شیر با توجه به حجم زیاد آب مخزن (۲) احتمال فروپاشی کامل مخزن انتظار می‌رفت.

بعد از حادثه مذکور بررسی‌های کارشناسانه‌ای برای مشخص نمودن علت حادثه انجام گرفت تا مشخص گردد عملیات انجام شده توسط اپراتور اشتباه بوده یا مشکل دیگری وجود داشته است.

معمول ترین جاذب دی‌اکسید کربنی که استفاده می‌شود سودا لایم است که مرکب از کلسیم هیدروکسید و سود (و / یا پتانس) می‌باشد. واکنش آن با دی‌اکسید کربن به صورت (رابطه (۲) است. میزان مصرف آن به ازای هر ۱۰ متر مکعب هوا ۸ گرم می‌باشد.



### ۳- خطر فروپاشی در اثر خلاء

برای محافظت از فروپاشی مخازن در اثر خلاء اصل نسبتاً ساده‌ای وجود دارد که باید مقدار کافی گاز (ممولاً هوا یا یک گاز بی‌اثر) جایگزین سیالی که از مخزن تخلیه شده است و بخاری که متراکم گردیده است، شود تا حداقل فشار درون تجهیز در محدوده قابل قبول حفظ گردد. عوامل مشترکی که منجر به ایجاد خلاء درون یک مخزن ذخیره اتمسفری می‌شوند شامل موارد زیر می‌باشد:

۱- تخلیه سیال درون مخزن در حالیکه ونت به اندازه کافی باز نباشد.

۲- تراکم بخار سیال درون مخزن (زمانی که بخار آب مایع گردد حجم آن به نسبت کاهش می‌یابد).

۳- خنک شدن محیطی گاز در فضای بالای سیال مخزن

۴- اتصال به یک منبع خلاء یا ساکشن

۵- انعام اکسیژن هوا در اثر سوختن

۶- توقف ناگهانی یک ستونی مایع در حال حرکت

علاوه بر این، عواملی هم هستند که به دلایل فرایندی مورد استفاده می‌باشند و باعث ایجاد خلاء می‌شوند نظری بلورها و فن‌ها. حوادثی که در این مقایله بررسی می‌گردند مربوط به آیتم شماره یک یعنی تخلیه سیال درون مخزن در حالیکه ونت به اندازه کافی باز نیست، می‌باشد.

موارد (۱) و (۳) در استاندارد ۲۰۰۰ API (انستیتو نفت آمریکا) توضیح داده شده است و مورد ۲ معمولاً ساده انگاشته می‌شود.  
بخار موجود در درون یک تجهیز می‌تواند در اثر شرایط محیطی یا به وسیله اسپری آب، خنک و متراکم گردد.

### ۴- محاسبات مربوط به ونت

محاسبه هوای جبرانی برای زمانیکه آب درون به وسیله پمپ تخلیه می‌گردد بسیار ساده می‌باشد. ابتدا باید نرخ حجمی جریان ماکریم را بر حسب  $\text{m}^3/\text{sec}$  محاسبه گردد و بر اساس آن ونت مناسب تعییه گردد. برای مثال برای مخزنی که ماکریم نرخ برداشت آب از آن ۱۵۰ متر مکعب در ساعت است باید دارای  $\text{CO}_2$  باشد که حداقل ظرفیت آن معادل



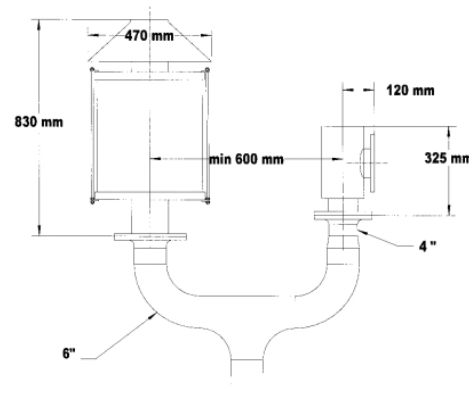


شکل (۲) : آسیب‌دیدگی سقف مخزن نیروگاه سیکل ترکیبی یزد

کارتریج در محضه جاذب  $\text{CO}_2$  می‌باشد. همانگونه که در شکل مشهود از سودالایم به طور مستقیم داخل محضه  $\text{CO}_2$  ریخته شده است. جاذب‌های  $\text{CO}_2$  معمولاً دارای یک کلاهک نیز می‌باشند تا در مقابل باران محافظت گرددند. همچنین ظرفیت جاذب  $\text{CO}_2$  نصب شده بسیار کمتر از ظرفیت ارائه شده در مدارک ساخت مخزن می‌باشد و مشخص گردید که نمونه استفاده شده اصلی و استاندارد نبوده و برای این مخزن با گنجایش  $1000\text{ m}^3$  مناسب نمی‌باشد. همچنین محاسبات ونت برای جریان آب به تانک مجاور تحت اثر گراویته<sup>۱</sup> صورت گرفت و مشخص گردید که ونت تعییه شده شامل جاذب  $\text{CO}_2$  و وکیوم بریکر ظرفیت لازم برای انجام عملیاتی که در این حادثه صورت گرفته است یعنی با قرار دادن شیر بین دو مخزن در حالیکه یک مخزن پر و دیگری خالی است را ندارد.

در اولین مرحله بعد از بازدید از ونت مخزن مشخص گردید که طراحی و نصب جاذب  $\text{CO}_2$  و وکیوم بریکر کاملاً اشتباه بوده است و هر دو تجهیز به صورت سری و وکیوم بریکر بعد از جاذب  $\text{CO}_2$  قرار دارد. این دو تجهیز باید به صورت موازی و مستقل از یکدیگر نصب شوند. وکیوم بریکر در یک فشار مشخصی عمل می‌نماید در حالیکه جاذب  $\text{CO}_2$  به طور پیوسته هوا را وارد مخزن و یا از آن خارج می‌نماید. در شکل (۱) نصب اشتباه جاذب  $\text{CO}_2$  و وکیوم بریکر بر روی مخزن دمین نشان داده شده است. همچنین طریقه صحیح نصب جاذب  $\text{CO}_2$  و وکیوم بریکر در شکل (۳) نشان داده شده است. بنابراین پیرو این بررسی مقرر گردید بلافضله سیستم‌های ونت کلیه مخازن در نیروگاه اصلاح گردد.

طبق اظهار اپراتور در هنگام حادثه مقداری از سودالایم منافذ جاذب  $\text{CO}_2$  را مسدود نموده بود که دلیل آن عدم استفاده از



شکل (۳) : نصب اشتباه جاذب  $\text{CO}_2$  و وکیوم بریکر (چپ) و نقشه صحیح نصب آن (راست)

۱- Gravity Glow to Other Tank



شکل (۴) : فروپاشی مخزن ذخیره آب دمین نیروگاه کرمان در اثر خلاء

است. این حادثه باعث آسیب جدی به مخزن گردید و تا ۷۵٪ آن مجدداً ساخته شد و پیمانکار متحمل چنین خسارت سنگینی گردید.

#### ۳-۴- سایر حوادث

در یک حادثه مخزنی با قطر ۳۰ متر و ارتفاع ۱۲ متر در اثر پرسدن بیش از حد باعث ایجاد شکافتگی در سقف و رینگ بالای مخزن گردید. این تانک برای ماکریمم فشار آب ۳ اینچ آب طراحی شده بود. مخزن آسیب دیده در شکل (۵) نشان داده شده است. در حادثه دیگری تانکری با ظرفیت ۲۴۰۰۰ لیتر در هنگام تخلیه سیال دچار حادثه فاجعه‌آوری شده است که به دلیل عدم مجهز بودن تریلر به وکیوم بریکر می‌باشد.

#### ۴-۲- حادثه نیروگاه کرمان

نیروگاه سیکل ترکیبی کرمان دارای ۲ مخزن ذخیره دمین به گنجایش  $1000\text{ m}^3$  می‌باشد که به طور موازی از آنها بهره‌برداری می‌شوند. دو عدد پمپ ترانسفر با دبی  $85\text{ m}^3$  آب را از مخزن تخلیه و به محل مصرف منتقل می‌سازند. در زمان راه اندازی که هنوز وکیوم بریکر و جاذب  $\text{CO}_2$  بر روی مخزن نصب نشده بود، در هنگام بهره‌برداری از مخزن ناگهان صدای مهیبی به گوش می‌رسد و مخزن به صورتی که در شکل (۴) نشان داده شده است در می‌آید.

بعد از بررسی‌های بعمل آمده از مخزن مشخص گردید که برای اینکه آب مخزن توسط  $\text{CO}_2$  آلوده نگردد، اپراتور پیمانکار نصب در محل نصب جاذب  $\text{CO}_2$  و وکیوم بریکر در پوش گذاشته بوده



شکل (۵) : تانکری که در هنگام تخلیه دچار حادثه شده است(راست) و مخزنی که در اثر بر شدن بیش از حد آسیب دیده است(چپ).

به یاد داشته باشیم انسان می‌تواند به سه طریق از حوادث پیشگیری کند:

تفکر و تعقل بهترین، تقلید سهل ترین و تجربه تلخ ترین روش است.



## مراجع

- 1- Roy E. Sanders, Chemical Process Safety Learning from Case Histories, 3<sup>rd</sup> edition, 2005, Elsevier
- 2- American Petroleum Institute (1998). RP 2000, Venting Atmospheric and Low-Pressure Storage Tanks, Non-refrigerated and Refrigerated (5th ed.)
- 3- Sanders, R. E., Deflated-victims of vacuum, Journal of Hazardous Materials 142(2007)760-764
- 4- Michael L. Griffin, Protecting atmospheric storage tanks against vacuum collapse, Journal of Loss Prevention in the Process Industries 13 (2000) 83-89
- 5- Noel de Nevers, Vacuum Collapse of Vented Tanks, Process Safety Progress, Vol.15, No2, 1996

نگارنده از همکاری آقای مهندس فرومند (مدیر واحد شیمی نیروگاه کرمان جهت ارائه عکس‌های نیروگاه کرمان) و آقای مهندس روحانی در تهیه این مقاله سپاسگزاری می‌نماید.

آقای حسین حق پرست دارای فوق لیسانس مهندسی شیمی از دانشگاه صنعتی شریف بوده و جمعاً ۷ سال سابقه کار دارد. ایشان در حال حاضر کارشناس ارشد شیمی دفتر فنی شرکت مدیریت تولید برق یزد می‌باشد. زمینه علاقمندی آقای حق پرست روش‌های مختلف تصفیه آب می‌باشد.

Email:  
hhaghparast @ yahoo.com

نشریه فنی تخصصی قدس بنزو  
شماره ۱۳ - پیاپیز ۸۸۳۱



You need **POWER** to **PROGRESS**.  
You need **GNEC** to give you the Power

# GHODS NIROO ENGINEERING COMPANY



## A Total Service

WATER, POWER, OIL, GAS AND PETROCHEMICAL INDUSTRIES.

GNEC has a total workforce of more than 1000 proficient staff, out of which 650 qualified and experienced managers and engineers are the required source of expertise and experience to be your Partner in Iran and abroad:

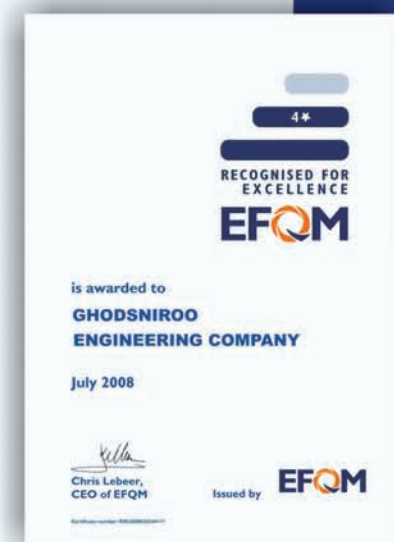
- We have been the main consultant on 22,000 MW of new power plants in Iran.
- We have designed, engineered, supervised and commissioned more than 300 high voltage substations and switchyards
- We have designed, engineered, supervised and commissioned more than 25,000 km of high voltage transmission lines.
- We have been in charge for the design and supervision of 20 dams & hydropower plants with associated water transmission lines and irrigation projects.
- We have carried out Oil and Gas transmission line projects.
- We are recognized for excellence by European Foundation of Quality management( EFQM).

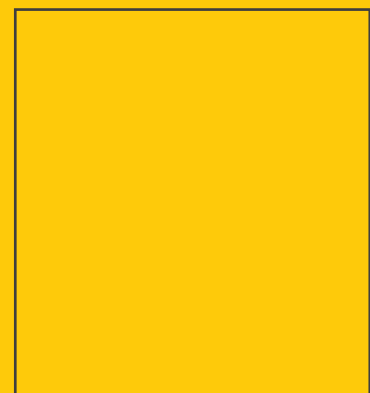
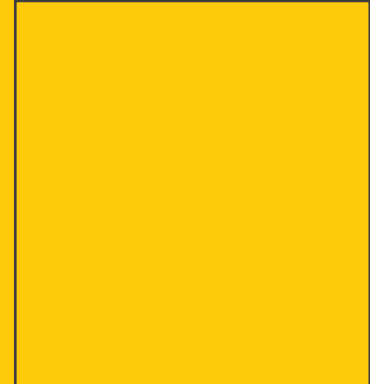
**When you think about ENERGY, think about GNEC and check our Capabilities:**

- ▲ Conceptual Design
- ▲ Site Investigations
- ▲ Details Design
- ▲ Architectural Engineering
- ▲ Civil Engineering
- ▲ Electrical, Control and instrumentation Engineering
- ▲ Mechanical & Chemical Engineering
- ▲ Building & Structural Engineering
- ▲ Water Resource & Environmental Engineering
- ▲ Dams & Hydropower Engineering
- ▲ Cost Evaluation & Quality Management
- ▲ Project & Construction Management
- ▲ Commissioning
- ▲ Management of Contracts & "EPC" contracts
- ▲ Software Engineering

**Committed to Clients  
Committed to Progress**

For further details contact the Marketing Division at:  
No, 82 Ostad Motahari Avenue  
Tehran 1566775711/Iran  
Tel (+9821)88403613-82404000  
Tel fax: (+9821) 88411704  
[info@ghods-niroo.com](mailto:info@ghods-niroo.com)  
[WWW.ghods-niroo.com](http://WWW.ghods-niroo.com)





تهران، خیابان استاد مطهری، چهارراه سهروردی، شماره ۸۲  
کد پستی: ۱۵۶۶۷۷۵۷۱۱  
تلفن: ۸۸۴۳۰۴۵۴ - ۸۸۴۰۳۶۱۳  
فکس: ۸۸۴۱۱۷۰۴

No.82 , Ostad Motahari Ave.  
Tehran 156675711 - IRAN  
Tel: 88403613 - 88430454  
Fax: 88411704  
[info@ghods-niroo.com](mailto:info@ghods-niroo.com)  
[www.ghods-niroo.com](http://www.ghods-niroo.com)

